

АЗӘРБАЙЧАН ССР ЕЛМЛӘР АКАДЕМИЈАСЫ
АКАДЕМИЯ НАУК АЗЕРБАЙДЖАНСКОЙ ССР

МӘРУЗӘЛӘР ДОКЛАДЫ

ТОМ XXV ЧИЛД

4

АЗӘРБАЙЧАН ССР ЕЛМЛӘР АКАДЕМИЈАСЫ НӘШРИЈАТЫ
ИЗДАТЕЛЬСТВО АКАДЕМИИ НАУК АЗЕРБАЙДЖАНСКОЙ ССР

Бакы—1969—Баку

АЗӘРБАЙЧАН ССР ЕЛМЛӘР АКАДЕМИЯСЫ
АКАДЕМИЯ НАУК АЗЕРБАЙДЖАНСКОЙ ССР

МӘ'РУЗӘЛӘР ДОКЛАДЫ

ТОМ XXV ЧИЛД

№ 4

АЗӘРБАЙЧАН ССР ЕЛМЛӘР АКАДЕМИЯСЫ НӘШРИЙАТЫ
ИЗДАТЕЛЬСТВО АКАДЕМИИ НАУК АЗЕРБАЙДЖАНСКОЙ ССР
БАКЫ—1969—БАКУ

А. М. АХМЕДОВ

О ПОЛНОТЕ СИСТЕМЫ СОБСТВЕННЫХ
И ПРИСОЕДИНЕННЫХ ЭЛЕМЕНТОВ ВПОЛНЕ НЕПРЕРЫВНЫХ
ОПЕРАТОРОВ, РАЦИОНАЛЬНО ЗАВИСЯЩИХ ОТ
СПЕКТРАЛЬНОГО ПАРАМЕТРА В ПРОСТРАНСТВЕ БАНАХА

(Представлено академиком АН Азербайджанской ССР З. И. Халиловым)

I. Рассмотрим оператор, действующий в банаховом пространстве B :

$$L(\lambda) = L_1(\lambda) + L_2(\lambda),$$

$$\text{где } L_1(\lambda) = \sum_{i=1}^{n-1} \lambda^i H^i A_i + \lambda^n H^n, \quad L_2(\lambda) = \sum_{i=1}^{m-1} \frac{1}{\lambda^i} T^i B_i + \frac{1}{\lambda^m} T^m, \quad H \text{ и } T -$$

полные ($\overline{HB} = \overline{TB} = B$) ограниченные, $A_i, B_j (i = 0, 1, \dots, n-1; j = 1, 2, \dots, m-1)$, вполне непрерывные операторы, λ — комплексный параметр.

В настоящей статье устанавливаются некоторые достаточные условия кратной полноты системы собственных и присоединенных (с. п.) элементов оператора $L(\lambda)$.

Метод, применяемый в доказательстве теоремы о полноте, предложен М. В. Келдышем [1] для операторов, полиномиально зависящих от спектрального параметра. Впоследствии, этот метод был развит Дж. Э. Аллахвердиевым [2] для операторов, рационально зависящих от спектрального параметра.

Для ограниченного оператора A , следя Дж. Э. Аллахвердиеву [3] положим

$$\epsilon_{n+1}(A) = \inf \|A - K\|,$$

где K — линейный конечномерный оператор такой, что $\dim K \leq n$.

Через $\sigma_p (p > 0)$ будем обозначать множество всех вполне непрерывных операторов A , для которых $\sum \epsilon_p^p(A) < \infty$. Вполне непрерыв-

ный оператор B называют ядерным, если он имеет представление (см. [3])

$$B = \sum_{i>1}^{\infty} f_i(\cdot) y_i, \quad (1)$$

РЕДАКЦИОННАЯ КОЛЛЕГИЯ: Р. Г. Исмайлова (главный редактор), Ш. А. Азизбеков, В. Р. Волобуев, Д. Е. Гусейнов, И. А. Гусейнов, М. А. Дадашзаде (зам. главного редактора), М. А. Далин, Ч. М. Джуварлы, М. А. Каракай (зам. главного редактора), С. М. Кулев, М. Ф. Нагиев, М. А. Топчибашев, З. И. Халилов, Г. Г. Зейналов (ответственный секретарь).

Адрес: г. Баку, Коммунистическая, 10. Редакция «Докладов Академии наук Азербайджанской ССР».

где $\sum_i \|f_i\| \|y_i\| < \infty$, $f_i \in B^*$, $y_i \in B$, $i = 1, 2, \dots$

Пусть $B^* \overset{\wedge}{\times} B$ — полное тензорное произведение (4). А. Гротендик в своей работе (4) показал, что каждому элементу $1 + u$ ($u \in B^* \overset{\wedge}{\times} B$) можно сопоставить некоторое число $\det(1 + u)$, которое играет существенную роль при установлении оценок резольвенты.

Следя Дж. Э. Аллахвердиеву [3], рассмотрим систему

$$y_{l,h}^{(i)} = \sum_{k=0}^h \frac{1}{k!} \left[\frac{d^k}{d\lambda^k} (\psi_{r,j}(\lambda)) \right]_{\lambda=c_l} y_{h-k}^{(i)}, \quad (2)$$

где $h = 0, 1, \dots, m_i$; $i = 1, 2, \dots$; $\psi_{r,0}(\lambda) = \lambda^r$; $\psi_{r,1}(\lambda) = \lambda^{-r}$;

$$r = \begin{cases} 0, 1, \dots, n-1, & \text{если } j=0 \\ 1, 2, \dots, m, & \text{если } j=1 \end{cases}$$

и $y_{h-k}^{(i)}$ — каноническая система с. п. элементов оператора $L(\lambda)$, соответствующих собственному значению C_i .

Систему (2) называют производной цепочкой с. п. элементов оператора $L(\lambda)$.

Определение. Будем говорить, что система с. п. элементов оператора $L(\lambda)$ ($n+m$) — кратно полна в B , если система

$$y_{l,k} = \{y_{l,k}^{(i)}\}_i = \begin{cases} 0, 1, \dots, n-1, & \text{если } j=0 \\ 1, 2, \dots, m, & \text{если } j=1 \end{cases}$$

полна в пространстве B_{n+m} ; $k = 0, 1, \dots, m_i$; $i = 1, 2, \dots$

Лемма 1, 1. Если $u_\lambda = \sum_{j=1}^m a_j \varphi(\lambda) f_j \times x_j$ ($\sum_j a_j < \infty$, $a_j \geq 0$, $f_j \in B^*$,

$x_j \in B$; $j = 1, 2, \dots$) и $\varphi(\lambda)$ — функция, удовлетворяющая условию $|\varphi'(\lambda)| \leq C_1$ при всех $|\lambda| \geq R$, то $\det(1 + \lambda u_\lambda)$ — есть функция минимального типа и порядок ее роста в окрестности бесконечно удаленной точки, не превосходит два.

Теорема 1, 1. Если A является ядерным оператором и $M(\lambda)$ — линейный оператор, удовлетворяющий условию $\|M(\lambda)\| \leq M$ при всех $|\lambda| \geq R$, в окрестности бесконечно удаленной точки для резольвенты оператора $M(\lambda)A$ верно следующее

$$\lim_{p \rightarrow \infty} \{p^{-2} \ln \max_{|\lambda|=p} \|(I - \lambda M(\lambda)A)^{-1}\|\} = 0.$$

Лемма 1, 2. В окрестности бесконечно удаленной точки для резольвенты оператора $L(\lambda)$ верно следующее

$$\lim_{p \rightarrow \infty} \{p^{-2} \ln \max_{|\lambda|=p} \|(I - L(\lambda))^{-1}\|\} = 0.$$

Лемма 1, 3. Пусть для неограниченного множества E в комплексной плоскости выполняются соотношения

$$\|\lambda^i H^i(I - \lambda^n H^n)^{-1}\| \leq C_2 \quad (i = 0, 1, \dots, n-1; \lambda \in E, |\lambda| \geq r)$$

Тогда в окрестности бесконечно удаленной точки на множестве E резольвенту оператора $L(\lambda)$ можно представить в виде

$$(I - L(\lambda))^{-1} = (I + B(\lambda))(I - \lambda^n H^n)^{-1},$$

причем $\lim_{|\lambda| \rightarrow \infty} \|B(\lambda)\| = 0$.

Теорема 1, 2. Пусть удовлетворяются условия:

1) $H \in \sigma_p(p > 0)$ и существует система лучей G_1 , выходящих из начала координат таких, что угол между соседними лучами системы G_1 , меньше $\frac{\pi}{p}$ и на каждом луче из G_1 для достаточно больших $|\lambda|$

$$\|\lambda^i H^i(I - \lambda^n H^n)^{-1}\| \leq C_2 \quad (i = 0, 1, \dots, n-1)$$

2) $T \in \sigma_q(q > 0)$ и существует система лучей G_2 , выходящих из начала координат таких, что угол между соседними лучами системы G_2 , меньше $\frac{\pi}{q}$ и на каждом луче из G_2 для достаточно малых $|\lambda|$

$$\|\lambda^{-1} T^i(I - \lambda^m T^m)^{-1}\| \leq C_3 \quad (i = 0, 1, \dots, m-1)$$

Если операторы H, T полные и A_i, B_j ($i = 0, 1, \dots, n-1$; $j = 1, 2, \dots, m-1$) вполне непрерывные, то система с. п. элементов оператора $L(\lambda)$ ($n+m$) — кратно полна в пространстве B .

При доказательстве данной теоремы использовались леммы 1, 1—1, 3 и теорема 1, 1 (ср. [5]).

2. В этом параграфе дается приложение теоремы 1, 2 к обыкновенным дифференциальным операторам в пространстве L_p ($1 < p < \infty$).

Рассмотрим следующую краевую задачу в $L_p[-1; 1]$:

$$y = l(y) + \lambda A(y) + \frac{1}{\lambda} B(y) + f(x), \quad -1 \leq x \leq 1 \quad (3)$$

$$\Gamma^+ \left(\frac{d}{dx} \right) y \Big|_{x=1} = \Gamma^- \left(\frac{d}{dx} \right) \Big|_{x=-1} = 0, \quad j = 1, 2, \dots, m, \quad (4)$$

$$\text{где } l(y) = \sum_{k=0}^{2m} a_k(x) \left(\frac{d}{dx} \right)^{2m-k} y(x),$$

$$A(y) = \sum_{k=0}^n b_k(x) \left(\frac{d}{dx} \right)^{n-k} y(x), \quad B(y) = \sum_{k=0}^r c_k(x) \left(\frac{d}{dx} \right)^{r-k} y(x),$$

$$2m > n, r, \quad -1 \leq x \leq 1.$$

Предположим, что все коэффициенты рассматриваемых дифференциальных выражений являются комплексными в промежутке $[-1; 1]$. Кроме того, пусть $a_0(x) \neq 0$ и непрерывен, а все остальные коэффициенты измеримы и ограничены в промежутке $[-1; 1]$. Границные дифференциальные выражения Γ_j^+ и Γ_j^- такие, что коэффициенты действительны и порядки не превосходят соответственно $2m$. Пусть операторы $\{\Gamma_j^+\}$ и одновременно $\{\Gamma_j^-\}$ линейно независимы.

Верна следующая

Теорема 2, 1. Пусть $(-1)^m \frac{a_0(x)}{|a_0(x)|} \neq e^{i\theta}$. Тогда система с. п. функций краевой задачи (3) — (4) двухкратно полна в пространстве $L_p[-1; 1]$.

Теперь рассмотрим следующую задачу в пространстве $L_p[-1; 1]$:

$$y = l(y) + \sum_{k=0}^n \lambda^k A_k(y) + \sum_{k=0}^s \frac{1}{\lambda^k} B_k(y) + f(x), \quad -1 \leq x \leq 1. \quad (5)$$

$$\Gamma_j^+ \left(\frac{d}{dx} \right) y \Big|_{x=1} = \Gamma_j^- \left(\frac{d}{dx} \right) y \Big|_{x=-1} = 0, \quad j = 1, 2, \dots, m, \quad (6)$$

где

$$l(y) = \sum_{i=0}^{2m} a_i(x) \left(\frac{d}{dx} \right)^{2m-i} y(x),$$

$$A_k(y) = \sum_{i=0}^{q_k} C_{i,k}(x) \left(\frac{d}{dx} \right)^{q_k-i} y(x),$$

$$B_k(y) = \sum_{i=0}^{r_k} d_{i,k}(x) \left(\frac{d}{dx} \right)^{r_k-i} y(x),$$

$$2m > q_i, r_j \quad (i = 0, 1, \dots, n; j = 0, 1, \dots, s).$$

Теорема 2. Пусть $(-1)^m \frac{a_0(x)}{|a_0(x)|} \neq e^{i\theta}$. Тогда система с. п. функций краевой задачи (5) – (6) $(n+s)$ – кратно в пространстве $L_p[-1; 1]$.

Результаты п. 1 допускают еще ряд приложений к дифференциальным операторам. В частности, из этих результатов вытекают полнота в пространстве L_p системы с. п. функций в случае одного эллиптического уравнения при весьма общих краевых условиях. Полученные в этом направлении результаты будут опубликованы отдельно.

ЛИТЕРАТУРА

1. Келдыш М. В. ДАН СССР*, 77, № 1, 1951.
2. Аллахвердиев Дж. Э. ДАН СССР*, 160, № 6, 1965.
3. Пич А. Ядерные локально-выпуклые пространства.
4. Гротендик А. Математика, сб. переводов 2:5, 1958.
5. Ахмедов А. М. Изв. АН Азерб. ССР*, № 5, 1968.

Институт
математики и механики

Э. М. Эймэдов

Поступило 6. VI 1968

Банах фәзасында спектрал параметрдән расионал асылы олан тамам кәсилмәз операторларының мәхсүси вә гошма элементләри системинин тамлығы һагында

ХУЛАСӘ

Мәгәләдә Банах фәзасында мүәјжән шәртләр дахилиндә ашағыдақы операторларының мәхсүси вә гошма элементләри системинин $(n+m)$ тамлығы исbat едилмишdir:

$$L(\lambda) = \sum_{i=0}^{n-1} \lambda^i H^i A_i + \lambda^n H^n + \sum_{i=1}^{m-1} \frac{1}{\lambda^i} T^i B_i + \frac{1}{\lambda^m} T^m,$$

$$K(\lambda) = \sum_{i=0}^{n-1} \lambda^i H^i A_i + \lambda^n H^n + \sum_{i=0}^{m-1} \frac{1}{(\lambda - \lambda_0)^i} T^i B_i + \frac{1}{(\lambda - \lambda_0)^m} T^m$$

Бурада λ_0 – ихтијари комплекс параметрdir.

АЗӘРБАЙЧАН ССР ЕЛМЛӘР АКАДЕМИЯСЫНЫН МӘРҮЗӘЛӘРИ

ДОКЛАДЫ АКАДЕМИИ НАУК АЗЕРБАЙДЖАНСКОЙ ССР

ТОМ XXV

№ 4

1969

ВЫЧИСЛИТЕЛЬНЫЕ МЕТОДЫ И ТЕХНИКА

Б. А. АЗИМОВ, Ш. М. РАГИМОВ

ПРИМЕНЕНИЕ МЕТОДА ПАРАМЕТРИЧЕСКОГО ПРОГРАММИРОВАНИЯ К ОДНОЙ ЗАДАЧЕ ПЕРЕМЕЩЕНИЯ ВОДО-НЕФТИАНОГО КОНТАКТА

При законтурном и внутриконтурном заводнении нефтяного пласта с целью получить максимальное количество нефти, особый интерес вызывает управление перемещением водо-нефтяного контакта. При этом, учитывая конкретные нефтепромысловые условия эксплуатации месторождения в целом и отдельных скважин, должно быть обеспечено такое продвижение водо-нефтяного контакта, чтобы не оставались отсечеными водой нефтенасыщенные участки и преждевременные прорывы к скважинам.

Известно, что эксплуатация каждого месторождения в целом или отдельных скважин сопровождается некоторыми ограничениями, вытекающими из реальных условий, например, ограничения на дебиты скважин, на забойные давления, на суммарный отбор нефти по месторождению в целом и т. д.

В работе [1] нами было рассмотрено управление перемещением водо-нефтяного контакта (ВНК) в более или менее общей постановке.

В данной работе рассматривается круговое стягивание водо-нефтяного контакта при однородной жидкости.

Предположим, что горизонтальный пласт ограничен круговым контуром питания Γ_n , радиус которого равен R_n . На контуре питания поддерживается постоянное давление P_n . Пласт считаем однородным по проницаемости и мощности, различием вязкостей нефти и воды пренебрегаем $\mu_n = \mu_b = \mu$.

Пусть пласт разбурен n -эксплуатационными и l -нагнетательными скважинами, координаты которых заданы в полярной системе координат (r_i, φ_i) .

Допустим, что радиус начального контура нефтеносности Γ_0 равен r_0 , конечного контура $\Gamma_1 = r_1$ и закон стягивания начального контура нефтеносности (КН) к конечному контуру нефтеносности круговое.

Задаем желаемый закон стягивания в виде:

$$r = r_0 e^{-\beta t} \quad (1)$$

Рассматриваем процесс стягивания ВНК до появления воды в первой эксплуатационной скважине. Время, которое нужно для этого, обозначим через T . Тогда при $t = T$, $r_1 = r_0 e^{-\beta T}$. Так как процесс пере-

мешения рассматриваем до появления воды в первой эксплуатационной скважине, то

$$r = \max_{i=1, 2, \dots, n} r_i$$

Задачу об управлении перемещением водо-нефтяного контакта можно сформулировать так:

Найти такие дебиты $q_i (i = 1, 2, \dots, n+l)$, чтобы водо-нефтяной контакт стягивался к конечному контуру Γ_1 за время T по закону (1).

Известно [2], что при водонапорном режиме и вышеуказанных условиях давление в пласте описывается выражением:

$$P = P_n + \frac{\mu}{4\pi k h} \sum_{i=1}^{n+l} q_i \ln \frac{R_n^2 - 2r p_i \cos(\theta - \varphi_i) + \frac{p_i^2}{R_n^2} r^2}{r^2 - 2r p_i \cos(\theta - \varphi_i) + p_i^2}, \quad (2)$$

где (r, θ) — полярные координаты любой точки пласта; μ — вязкость жидкости; k — проницаемость; h — мощность пласта.

В полярных координатах по [3] уравнение движения водонефтяного контакта (так как жидкость однофазная, то будет одно уравнение) будет иметь вид:

$$\frac{m}{dt} \frac{\partial F}{\partial t} - \frac{k}{\mu} \left[\frac{\partial P}{\partial r} \Big|_{\Gamma} \frac{\partial F}{\partial r} + \frac{1}{r^2} \frac{\partial P}{\partial \theta} \Big|_{\Gamma} \frac{\partial F}{\partial \theta} \right] = 0, \quad (3)$$

где m — пористость пласта; $F(r, \theta, t) = 0$ — уравнение движения водо-нефтяного контакта.

Если уравнение движения ВНК $F(r, \theta, t) = 0$ разрешимо относительно r , вернее $r = f(\theta, t)$, тогда получим:

$$\frac{m}{dt} \frac{dr}{d\theta} - \frac{k}{\mu} \left[\frac{\partial P}{\partial r} \Big|_{\Gamma} + \frac{1}{r^2} \frac{\partial P}{\partial \theta} \Big|_{\Gamma} \frac{dr}{d\theta} \right] = 0.$$

По условию задачи желаемый закон стягивания задан в виде

$$r = f(\theta, t) = r_0 e^{-bt}.$$

Тогда $\frac{dr}{d\theta} = 0$.

Заменяя истинный контур нефтеносности желаемым контуром Γ , уравнение которого задано в виде (1), получим некоторую невязку:

$$\frac{m}{dt} \frac{dr}{d\theta} - \frac{k}{\mu} \frac{\partial P}{\partial r} \Big|_{r=r_0 e^{-bt}} = \epsilon(r, \theta, t)$$

Подставляя $\frac{\partial P}{\partial r}$, получаем:

$$\epsilon(r, \theta, t) = -b m r_0 e^{-bt} + \frac{1}{2\pi h} \sum_{i=1}^{n+l} q_i \left[\frac{r - p_i \cos(\theta - \varphi_i)}{r^2 - 2r p_i \cos(\theta - \varphi_i) + p_i^2} \right] \Big|_{r=r_0 e^{-bt}} +$$

$$+ \frac{1}{2\pi h} \sum_{i=1}^{n+l} q_i \left[\frac{\left(\frac{p_i}{R_n} \right)^2 r - p_i \cos(\theta - \varphi_i)}{R_n^2 - 2r p_i \cos(\theta - \varphi_i) + \left(\frac{p_i}{R_n} \right)^2 r^2} \right] \Big|_{r=r_0 e^{-bt}} =$$

$$= -b m r_0 e^{-bt} + \frac{1}{2\pi h} \sum_{i=1}^{n+l} q_i \frac{r_0 e^{-bt} - p_i \cos(\theta - \varphi_i)}{r_0^2 e^{-2bt} - 2r_0 p_i e^{-bt} \cos(\theta - \varphi_i) + p_i^2} + \\ + \frac{1}{2\pi h} \sum_{i=1}^{n+l} q_i \frac{\left(\frac{p_i}{R_n} \right)^2 r_0 e^{-bt} - p_i \cos(\theta - \varphi_i)}{R_n^2 - 2r_0 p_i e^{-bt} \cos(\theta - \varphi_i) + \left(\frac{p_i}{R_n} \right)^2 r_0^2 e^{-2bt}} \quad (4)$$

Осредняя функция невязки $\bar{\epsilon}(r, \theta, t)$ по данному контуру Γ , имеем:

$$\bar{\epsilon}(t) = \frac{1}{L} \int_{\Gamma} \epsilon(r, \theta, t) dL, \quad (5)$$

где L — длина контура Γ .

Подставляя (4) в (5), получаем:

$$\bar{\epsilon}(t) = -b m r_0 e^{-bt} = \sum_{i=1}^{n+l} a_i(t) q_i, \quad (6)$$

где

$$a_i(t) = -\frac{1}{4\pi^2 h} \int_0^{2\pi} \left[\frac{r_0 e^{-bt} - p_i \cos(\theta - \varphi_i)}{r_0^2 e^{-2bt} - 2r_0 p_i e^{-bt} \cos(\theta - \varphi_i) + p_i^2} - \right. \\ \left. - \frac{\left(\frac{p_i}{R_n} \right)^2 r_0 e^{-bt} - p_i \cos(\theta - \varphi_i)}{R_n^2 - 2r_0 p_i e^{-bt} \cos(\theta - \varphi_i) + \left(\frac{p_i}{R_n} \right)^2 r_0^2 e^{-2bt}} \right] d\theta$$

Чтобы наша задача свелась к виду, позволяющему применить методы линейного программирования, коэффициенты $a_i(t)$ ($i = 1, 2, \dots, n, \dots, n+l$) должны быть либо постоянными, либо линейными функциями параметра t . Этого можно достичь либо осредняя $a_i(t)$ по времени, или аппроксимировать их кусочно-линейными функциями. Промежуток $[0, T]$ разделим на M частей. В каждой части промежутка функции $a_i(t)$ заменяем линейными функциями.

Для промежутка (t_N, t_{N+1}) ($N = 1, 2, \dots, M$) линейная функция будет иметь вид:

$$a_i(t) = b_i^N + t C_i^N, \quad (7)$$

где b_i^N и C_i^N — постоянные, определяемые из систем уравнений

$$\begin{cases} a_i(t_N) = b_i^N + t_N C_i^N \\ a_i(t_{N+1}) = b_i^N + t_{N+1} C_i^N \end{cases} \quad (8)$$

Точность такой замены увеличивается с увеличением количества промежутков (t_N, t_{N+1}) .

Допустим, что режим разработки данного месторождения не позволяет свободно варьировать забойными давлениями эксплуатационных скважин и средневзвешенным давлением, т. е. на них наложено ограничение.

Предположим, что забойные давления и средневзвешенное давление не ниже наперед заданного значения.

Средневзвешенное давление определяем следующим образом:

$$P_{cp} = \frac{1}{S} \iint_S P dS, \quad (9)$$

где S — область, ограниченная контуром Γ_n .

Подставив (2) в (9), получим:

$$P_{cp} = P_n + \sum_{i=1}^{n+l} d_i q_i,$$

где

$$d_i = -\frac{\mu}{4\pi khS} \iint_S \ln \frac{r^2 - 2r\rho_i \cos(\theta - \varphi_i) + \rho_i^2}{R_n^2 - 2r\rho_i \cos(\theta - \varphi_i) + \left(\frac{\rho_i}{R_n}\right)^2 r^2} ds$$

Для забойных давлений скважин имеем:

$$P_{3j} = P_n + \sum_{i=1}^{n+l} a_{ij} q_i \quad (11)$$

$$j = 1, 2, \dots, v; \quad v \leq n + l,$$

где

$$a_{ij} = -\frac{\mu}{2\pi kh} \ln \frac{\rho_j^2 - 2\rho_i \rho_j \cos(\varphi_j - \varphi_i) + \rho_i^2}{R_n^2 - 2\rho_i \rho_j \cos(\varphi_j - \varphi_i) + \frac{\rho_i^2 \rho_j^2}{R_n^2}},$$

когда $i \neq j$

$$a_{jj} = \frac{\mu}{2\pi kh} \ln \frac{\rho_{je}}{R_n \left(1 - \frac{\rho_j^2}{R_n^2}\right)};$$

ρ_{je} — радиус скважин.

Математическая формулировка поставленной задачи выглядит так.
Минимизировать

$$\bar{e} = \sum_{i=1}^{n+l} (b_i^N + tC_i^N) q_i - m b r_0 e^{-bt} \quad (12)$$

при условиях

$$\begin{aligned} P_{3j} &= P_n + \sum_{i=1}^{n+l} a_{ij} q_i \geq P_{3j}^* \\ P_{cp} &= P_n + \sum_{i=1}^{n+l} d_i q_i \geq P_{cp}^*, \end{aligned} \quad (13)$$

где

$$N = 1, 2, \dots, M; \quad j = 1, 2, \dots, v; \quad v \leq n + l.$$

P_{3j}^* , P_{cp}^* — наперед заданные величины.

Полученная задача является задачей параметрического программирования [4]. Данная работа была доложена на Всесоюзной конференции по математическим методам решения задач подземной нефтяной гидрогазодинамики (апрель 1967 г., гор. Баку).

ЛИТЕРАТУРА

1. Азимов Б. А., Рагимов Ш. М. Применение методов линейного программирования к задачам управления продвижением водонефтяного контакта. ВНК, "За технический прогресс", № 8, 1966.
2. Чарий И. А. Подземная гидромеханика. Гостехиздат, 1948.
3. Данилов В. Л. Управление перемещением КН с учетом различия вязкостей нефти и воды. Изв. Казанск. филиала АН СССР, серия физ.-мат. и техн. наук, № 8, 1955.
4. Гольштейн Е. Г., Юдин Д. В. Новые направления в линейном программировании. Изд-во "Советское радио", 1966.

Поступило 16. X 1968

Б. Э. Эзимов, Ш. М. Рэнимов

Параметрик програмлашдырма методунун бир су-нефт сәрхәддинин идарәолунма мәсәләсинин һәллинә тәтбиги

ХУЛАСЭ

Мәгаләдә су-нефт сәрхәддинин габагчадан мә'лум олан даирәви ганун илә һәрәкәт едилмәси мәсәләсинә баһылышты. Мәсәләнин һәллиндә нефт вә сујун өзүлүккләри ејни көтүрүлмүшдүр. Нәзәрдә туулур ки, гүуларын координатлары мә'лумдур вә даирәви һәрәкәт гүуларын һасилатлары илә тә'мин едилмишdir.

Су-нефт сәрхәддинин габагчадан мә'лум олан даирәви ганун илә һәрәкәт едилмәси мәсәләсинин һәлли гүуларын һасилатлары үзәринә гојулмуш вә бүтүн лај боју тәэсигин үзәринә гојулмуш мәһдудијәтләр дахилиндә параметрик програмлашдырма мәсәләләринин һәллинә кәтирилмишdir.

ЭНЕРГЕТИКА

Ч. М. ДЖУВАРЛЫ, Т. А. НУРМАМЕДОВ

**ВОПРОСЫ ВЫБОРА ИЗОЛЯЦИИ ВЫСОКОВОЛЬТНЫХ
ЛИНИЙ ПРИ ПОЛЕВЫХ ЗАГРЯЗНЕНИЯХ**

Выбор изоляции ВЛ 3—500 кв при загрязнениях проводящими отложениями, согласно руководящих указаний [1], в настоящее время должен производиться по степени засоленности почвы. Однако, как показали исследования, выполненные в Азглавэнерго, практически невозможно увязать требуемые уровни изоляции с солесодержанием почв, как величиной весьма изменчивой во времени и по трассе линий; кроме того, характер загрязнения изоляторов зависит от многих естественных факторов, не поддающихся точному учету.

Вместе с тем, была обнаружена довольно высокая стабильность характеристик самого слоя загрязнения изоляторов на обширных участках местности, что позволяет значительно более точно производить выбор изоляции по этим характеристикам, т. е. по плотности и солесодержанию слоя отложения, определенному для данной местности специальными исследованиями. Так как разрядные напряжения загрязненных гирлянд линии представляют статистическую величину с некоторым распределением, то кроме характеристик загрязнения, при выборе изоляции должен учитываться закон этого распределения и вероятность снижения разрядного напряжения одной из гирлянд до фазного напряжения линии.

С технико-экономических позиций выбранная изоляция, допуская некоторое количество отключений по причине загрязнения, должна, в то же время, обеспечивать достаточную надежность линии в зависимости от ее ответственности.

Оценка допустимого количества отключений в год по условиям минимума расчетных затрат на сооружение линии и ущерба от недопуска электроэнергии произведена в [2].

Важно отметить, что с точки зрения эксплуатационных возможностей энергосистем допустимое число отключений имеет тот же порядок, что и указанное в [2] по экономическим соображениям. Но в большинстве случаев допустимое количество отключений может быть уточнено с учетом ответственности линии, наличия и степени резервирования питания, особенностей схемы сети и др. При этом линии высших классов напряжения находятся, как правило, в более жестких условиях, и поэтому требуют обеспечения более высокой надежности.

Для обеспечения заданной надежности работы каждой конкретной линии необходимый уровень ее изоляции может быть определен по допускаемому числу автоматических отключений и параметрам линии [2]

$$\left[1 - F\left(\frac{1-k}{\sigma}\right)\right]^{3m} = 1 - \frac{N}{\xi}, \quad (1)$$

где

F — интегральная функция нормального распределения;

k — средний уровень изоляции загрязненной гирлянды;

σ — стандарт распределения;

N — заданное количество отключений в год;

ξ — количество случаев опасного увлажнения изоляции в год;

$3m$ — количество гирлянд изоляторов на линии.

Требуемое количество изоляторов может быть определено при известной средней величине разрядного напряжения загрязненных и увлажненных гирлянд. Установление последней связано с известными трудностями, значительно большими, чем определение характеристик самого загрязнения, от которых непосредственно зависит степень снижения изолирующей способности гирлянд. Поэтому весьма важным представляется определение зависимости между разрядным напряжением изоляторов и характеристиками загрязнения.

Указанная зависимость может быть установлена с помощью функциональной связи между поверхностной проводимостью загрязненного и увлажненного изолятора и характеристиками слоя загрязнения по результатам многочисленных экспериментов. Для получения однозначных результатов суммарное солесодержание естественного слоя загрязнения приводится к некоторой, одинаковой по проводимости, величине — эквивалентному солесодержанию, по 5%-ному раствору условного загрязнения, содержащему необходимое количество соли NaCl .

Зависимость между удельной поверхностной проводимостью χ , плотностью загрязнения s и эквивалентным солесодержанием μ , соответствующая условиям Азербайджана

$$s = 0 - 2 \frac{\text{м}^2}{\text{см}^2}$$

$$\mu = 0 - 25\%$$

имеет вид

$$\chi = 8s \sqrt{\mu^2} \quad (2)$$

Вариацию плотности загрязнения и эквивалентного солесодержания, приводящую к одинаковому снижению разрядного напряжения изоляторов, иллюстрирует рис. 1, где для семейства кривых $\chi = \text{const}$ указаны также соответствующие разрядные градиенты (по строительной высоте) для изоляторов ПФЕ-4, 5.

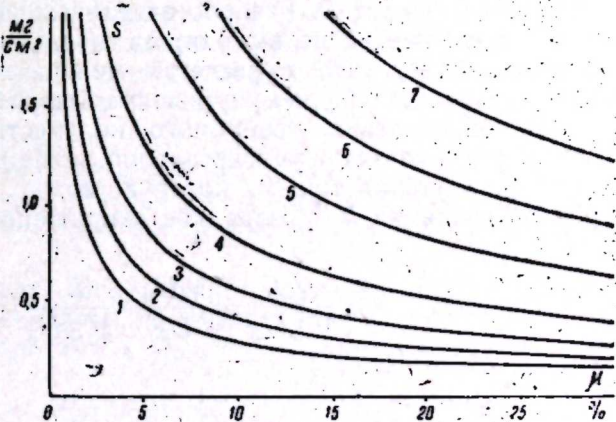


Рис. 1. Зависимость удельной поверхности проводимости ($\chi = \text{const}$) от характеристик слоя загрязнения:

1— $\chi=10$, $s=1,4$; 2— $\chi=15$, $s=1,25$; 3— $\chi=20$, $s=1,1$; 4— $\chi=30$, $s=0,95$; 5— $\chi=50$, $s=0,8$; 6— $\chi=70$, $s=0,7$; 8— $\chi=100$, $s=0,6$.

Резкий спад разрядного напряжения изоляторов имеет место в области малых интенсивностей s и μ (рис. 1), что требует осторожного подхода к выбору изоляции при загрязнениях, кажущихся иногда несущественными. Этот же вывод подтверждает зависимость разрядного напряжения изоляторов от удельной поверхностной проводимости слоя загрязнения (рис. 2).

Разрядное напряжение одиночного изолятора в соответствии с (2) и [3], можно выразить через его геометрические данные и характеристики слоя загрязнения:

$$U_p = 6,4 \left(\frac{K_\Phi}{8s \sqrt{\mu^2}} \right)^{\frac{n}{n+1}} L^{\frac{1}{n+1}} \quad (3)$$

где

L — длина пути утечки тока (с учетом эффективности ее использования);

K_Φ — коэффициент формы изолятора;

$n = 0,5 \div 0,7$ — показатель статической вольт-амперной характеристики дуги [4, 5].

Рис. 2. Зависимость разрядного напряжения изоляторов П-4,5 от удельной поверхностной проводимости слоя загрязнения: 1— $n=0,5$; 2— $n=0,6$; 3— $n=0,7$.

▲ — Мингечеаур; ○ — Али-Байрамлы; □ — Баку, Пута; × — Стенд.

Справедливость выражения (3) проверялась многочисленными испытаниями изоляторов, загрязненных в естественных условиях в различных районах Азербайджана.

Зависимости разрядного напряжения изоляторов П-4,5 от удельной поверхностной проводимости слоя загрязнения $U_p = f(x)$ для разных n приведены на рис. 2. Разброс отдельных значений разрядных напряжений практически не выходит за пределы крайних кривых 1 и 3. Отсюда следует, что в расчётах можно принимать $n = 0,60 \div 0,65$, соответствующее среднему уровню изоляции k .

Для определения требуемого количества элементов изоляторов в гирлянде в качестве универсальной величины используется удельная длина пути утечки тока λ , которую можно выразить через средний уровень изоляции k и разрядное напряжение загрязненного изолятора U_p

$$\lambda = \frac{\psi \cdot L}{\sqrt{3} U_p} = \frac{\psi \cdot U_p}{U_\Phi} \cdot \frac{L}{\sqrt{3} U_p} = k \frac{L}{\sqrt{3} U_p}, \quad (4)$$

где

ψ — число элементов в гирлянде,

учитывая (3),

$$\lambda = 0,09k \left(\frac{8s \sqrt{\mu^2}}{K_\Phi} \right)^{\frac{n}{n+1}}, \quad (5)$$

откуда

$$\psi = 0,09k U_m \left(\frac{8s \sqrt{\mu^2}}{K_\Phi} \right)^{\frac{n}{n+1}} \cdot L^{\frac{1}{n+1}}, \quad (6)$$

здесь U_m — максимальное линейное напряжение линии.

Выражения (5) и (6) при совместном решении с (1) дают возможность определить требуемую удельную длину пути утечки или число изоляторов в гирлянде в зависимости от характеристик загрязнения, количества опасных увлажнений, допустимого числа отключений и др.

Выражение (1) не может быть определено через элементарные функции. Так как для определения k должно быть известно число элементов в гирлянде, то систему уравнений (1), (5) и (6) приходится решать методом последовательных приближений.

Оценку требуемого уровня изоляции в зависимости от пределов изменения величин, входящих в (1), иллюстрирует таблица.

Напряжение ВЛ, кВ	Длина ВЛ l , км	Число гирлянд, тыс.	Число увлажнений, ξ	Допустимое число отключений	Число элементов П-4,5 в гирлянде	Требуемый уровень изоляции k	
						для нижнего предела l, ξ	для верхнего предела l, ξ
110	30—70	0,7—1,7	100—200	3	7 11	2,26 1,90	2,56 2,06
220	100—200	1,3—2,7	—	2	14 19	1,88 1,75	2,01 1,86
330	150—300	1,8—3,6	—	2	18 >20	1,79 1,74	1,90 1,84
500	200—500	2,0—5,0	—	1	>20	1,79	1,94

Для линий более низких классов напряжения величина k значительно зависит от числа изоляторов в гирлянде и с увеличением последнего происходит некоторое уменьшение требуемого уровня изоляции, обусловленное меньшим разбросом разрядных напряжений более длинных гирлянд. В то же время зависимость уровня изоляции от количества опасных увлажнений и длины линий (в принятых пределах) выражается менее значительно, что позволяет учитывать их приближенными данными.

При выборе изоляции по описанной методике, результаты расчета должны быть сопоставлены (особенно для малоинтенсивных загрязнений) с требованиями к изоляции по другим видам воздействующих напряжений.

Результаты приведенных исследований могут быть использованы во всех других случаях, когда линии высокого напряжения находятся в условиях загрязнения, близких к условиям Азербайджана.

ЛИТЕРАТУРА

1. Руководящие указания по проектированию и эксплуатации линий электропередачи и распределительных устройств переменного тока 3—500 кВ, расположенных в районах с загрязненной атмосферой. М., 1967.
2. Артемьев Д. Е., Тиходев Н. Н., Шур С. С. Координация изоляции линий электропередачи. М.—Л., 1966.
3. Нурмамедов Т. А., Соломоник Е. А. Принципы выбора линейной изоляции в районах с засоленными почвами. Изв. НИИПТ, вып. 14, Л., 1968.
4. Боме А., Обенаус Ф. Исследование перекрытия загрязненных изоляторов в лабораторных и эксплуатационных условиях и модель перекрытия вдоль пути утечки. Докл. СИГРЭ, М., 1968.
5. Obenhaus F. Fremdschülerschlag and Kriechweglänge. D. El., Bd. 12, 1958, № 4.

ХУЛАСЭ

Гирләндадакы изолјаторларын тәләб олунан сајы нәм вә чиркли гирләнданын бошалма кәркинилиин орта гијметинә әсасән тә'јин олуна биләр. Ахырынчынын тапылмасы гирләнданын билаваситә изолә етмәк габилијәтинин азалмасыны көстәрән чиркләнмәнин характеристикаларының тә'јин олунмасындан чох, мә'лум чәтинилкләрлә әлагә-дардыр.

Мәгаләдә гирләндадакы изолјаторларын сајынын чиркләнмәнин хүсусијәтләриндән, тәһлүкәли нәмлийн вә бурахыла билән ачылмаларын сајындан вә с. асылы олараг тә'јин едилмәси имканынын мүмкүллүјү вә мәгсәдәујғунлуғу көстәрилмишdir.

Р. Г. ИСМАЙЛОВ, С. М. АЛИЕВ, Г. М. МАМЕДАЛИЕВ, Э. И. МАЙСТЕР

ХРОМАТОГРАФИЧЕСКИЕ ИССЛЕДОВАНИЯ ПРОДУКТОВ АЛКИЛИРОВАНИЯ ФЕНОЛА, КРЕЗОЛОВ ОЛЕФИНАМИ И ПРЕВРАЩЕНИЯ АЛКИЛОВЫХ ЭФИРОВ ФЕНОЛА

Для выяснения некоторых вопросов, касающихся механизма алкилирования, порядка ориентации и реакционной способности окиспропизводных ароматических углеводородов, исследовалось алкилирование фенолов, орто-, мета- и пара-крезолов газообразными олефинами и превращение алкиловых эфиров фенола в условиях алкилирования соответствующими олефинами.

Исходными продуктами служили реактивные фенол, орто-, мета-, пара-крезолы, анизол, фенетол, изопропиловый, изобутиловый и н-бутиловый эфиры фенола, синтезированные по Вильямсону [1]. Чистота исходных продуктов проверялась на хроматографе и колебалась в пределах 99,0—99,8%. Опыты проводили на лабораторной установке с проточным реагентом, схема которой приведена в [2].

Продукты реакции после удаления, образующейся в процессе воды (3—5%), подвергались четкой ректификации на колонке и хроматографическому анализу на хроматографе „Перкин—Элмер“ (высота колонны—2 м, жидкую фазу апневоз на хромосорбе, скорость газоносителя гелия—4 л/ч).

Для идентификации продуктов были определены относительно удерживаемые объемы этил-, изопропил-, втор. бутил, трет. бутилфенолов—крезолов, этил, изопропил, н- и изо-бутил эфиров фенола.

Количественный анализ изомерного состава синтезированных алкилфенолов проводили снятием ИК-спектров.

На спектрометре ИКС-12, в области призмы NaCl, для изомеров 1,2; 1,3 и 1,4 были выбраны соответственно аналитические полосы 753, 784, 822—816 см⁻¹ [3]. Анализ проводился при допущении выполнимости закона Ламберта—Беера. Коэффициенты поглощения полос были соответственно приняты равными 50, 100 и 100 (4).

Алкилирование фенола, крезолов олефинами C₂—C₄ изучалось при атмосферном давлении в интервале 200—450°, весовом соотношении от 3:1 до 8:1 и скорости подачи фенола 0,2—0,7 г/ч, продукты реакции исследовались на хроматографе.

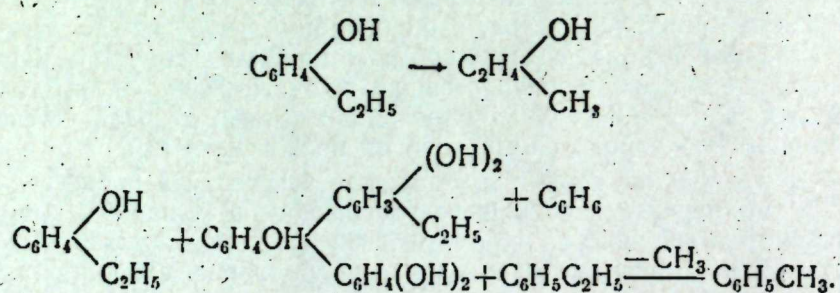
Из табл. 1 видно, что алкилирование фенола олефинами идет избирательно и лишь при алкилировании этиленом в продуктах реакции

Таблица 1

Алкилирование фенола олефинами C_2-C_4 в присутствии синтетических алюмосиликатов (соотношение фенол: олефин 4:1; скорость подачи фенола-0,2 ч^{-1})

	Фенол : этилен $T=400^\circ$	Фенол-пропилен $T=275^\circ\text{C}$	Фенол - изо-бутилен $T=250^\circ$	Фенол - н-бутилен 250°
Материалный баланс, вес. %				
Алкилат	81,5	91,3	70,9	80,0
Газ	11,2	1,4	5,4	1,0
Кокс	5,6	4,5	3,5	6,8
Потери+высококипящие продукты	1,7	2,8	19,8	12,2
Состав алкилата:				
Фенол	79,5	76,5	90,07	83,0
Алкилфенол (C_2, C_3, C_4) орто-мета+пара	7,1	6,6	8,3	14,95
Крезол	11,2	16,1		
Бензол	1,5	0,31		
Толуол	0,2	—		
Этилбензол+ксилол	0,1	—		
Изомерный состав алкилфенола	0,35	—		
Орто-	40–45	45–50	45	10
Мета-	35–40	30–35	35	70
Пара-	15–20	15–20	20	20

обнаружено некоторое количество крезола и ароматических углеводородов, что объясняется реакциями разложения, диспропорционирования, протекающими при 400° .



Из хроматограммы видно, что при алкилировании изобутиленом продукты алкирования выходят одним пиком в отличие от продуктов алкилирования н-бутиленом, где наряду с втор. бутилфенолом имеется также значительное количество трет. бутилфенола, т. е. при алкилировании проходит, вероятно, изомеризация исходного олефина и не исключена также изомеризация втор. бутилфенола в трет. бутилфенол. При алкилировании н- и изо-бутиленами выход отложений на катализаторе колеблется от 12–19%, т. к. значительное количество ди- и полиалкилфенолов из-за высокой температуры кипения остаются в зоне реакции адсорбированные на катализаторе, одновременно адсорбируются также продукты частичной конденсации фенола. На максимальный выход и изомерный состав алкилфенолов существенное влияние оказывает молекулярный вес и строение олефина.

В алкилфенольных фракциях отсутствуют алкиловые эфиры, алкилирование протекает по углерод-углеродной связи.

Данные по алкилированию крезолов даны в табл. 2.

Таблица 2

Алкилирование крезолов C_2-C_3 в присутствии синтетических алюмосиликатов (соотношение крезол–олефин 1,5:1; скорость подачи—0,2 ч^{-1})

	Этиленом (300°)			Пропиленом (275°C)		
	пара	мета	орт	пара	мета	орт
Материалный баланс, вес. %						
Алкилат	84,5	84,1	88,4	84,4	84,5	91,0
Газ	7,2	9,4	5,0	8,1	9,5	3,5
Кокс	3,4	3,0	1,1	3,7	2,5	2,3
Высококипящие продукты адсорб. на катализ.	2,9	2,0	2,5	2,0	2,3	2,2
Потери	2,0	1,5	1,0	1,8	1,2	1,0
Химический состав:						
Фенол	13,8	3,74	15,3	6,5	4,26	7,36
Крезол	58,0	77,0	51,2	65,0	70,0	62,5
Этилфенол-ксиленол	20,8	0,73	14,6	3,3	0,3	1,43
Изопропилфенол	17,7	6,88	4,0	5,53	4,5	6,75
Следы	Следы	Следы	Следы	Следы	Следы	Следы
Этилкрезол	1,57	Следы	0,35	Следы	Следы	Следы
	3,8	8,8	2,8			
	2,8	2,8	10,2			
Изопропилкрезол				Следы	Следы	Следы
				3,5	9,5	5,5
				11,0	9,5	11,5
C_6H_6	0,08	0,09	0,2			
$C_6H_5CH_3$	0,16	0,18	0,2			
$C_6H_4(CH_3)_2$ и $C_6H_5C_2H_5$	0,25	0,29	0,4			
				0,43		

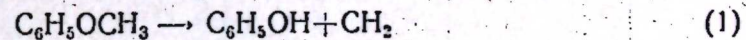
Алкилирование крезолов пропиленом легко протекает при сравнительно низких температурах, повышение температуры, хотя и увеличивает выход изопропилкрезола, но при этом растет количество побочных продуктов. Увеличение температуры до 350° значительно увеличивает количество высококипящих продуктов поликалирования и конденсации.

Результаты опытов по превращению алкиловых эфиров фенола сведены в табл. 3.

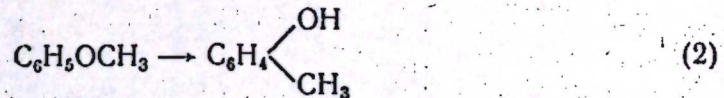
На основании полученных данных, по химическому составу катализаторов были сделаны предположения о механизме превращения анизола, фенетола, изопропилового, н-бутилового эфира фенола.

Анизол в исследуемом температурном интервале над алюмосиликатами претерпевает в основном следующие превращения:

Крекинг



Изомеризацию



Диспропорционирование

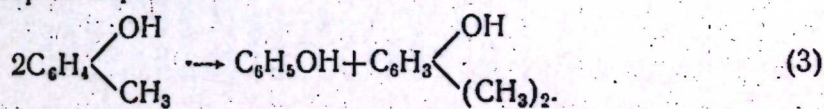


Таблица 3

Превращение алкиловых эфиров фенола (скорость подачи $V=0,2 \text{ см}^3\text{·min}^{-1}$)

	$\text{C}_6\text{H}_5\text{OCH}_3$	$\text{C}_6\text{H}_5\text{CCl}_3$	и. $\text{C}_6\text{H}_5\text{OC}_2\text{H}_5$	изо $\text{C}_6\text{H}_5\text{OC}_3\text{H}_7$, изо $\text{C}_6\text{H}_5\text{OC}_2\text{H}_5$	Температура						
					200°	300°	400°	200°	300°	400°	300°
Материалный баланс, вес, %											
Катализатор											
Газ	92,5	79,5	74,1	89,5	81,0	73,8	72,3	69,5	61,0		
Прилес катализатора + потери*	1,4	1,8	3,5	1,6	3,1	7,0	5,7	3,6	8,2		
Хим. состав катализатора	6,1	18,7	22,5	8,9	15,9	19,2	19,0	22,0	27,0		
Анизол											
Фенол	92,5	75,2	52,3	1,6	26,1	0,78	7,7				
Изопропиловый эфир фенола											
Изобутиловый эфир фенола											
Н-бутиловый эфир фенола											
Фенол	4,65	8,15	10,07	3,85	53,0	34,5	5,65	6,45	50,0		
Орто-крезол	0,58	3,44	20,1	8,8				56,0	8,6		
Мета+пара-крезолы	2,17	9,6	2,42	9,04	2,1	16,0	28,6	1,8	4,3		
Ксиленолы								1,5			
Этилфенол									6,3		
Изопропилфенол									27,0		
Трет. бутилфенол											
Норм. вторбутилфенол											
Бензол											
Толуол											
Этилбензол+ксилол											
					0,36	0,14		2,48			
						0,28	5,8	0,78			
							1,05				

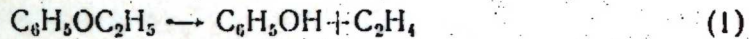
* Значительная часть продукта, адсорбированного на катализаторе, легко экстрагируется ацетоном и представляет собой ди- и полигидроксифенолы и алкиловые производные дифенилоксида.

* В данном случае присутствует значительное количество изооктана.

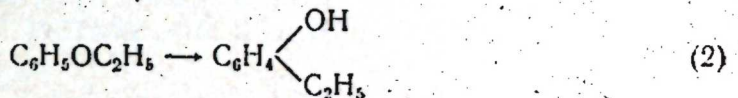
Исходя из полученных данных была определена степень превращения анизола, а также доля его участия в указанных выше реакциях. Основными являются реакции крекинга и изомеризации, причем при 200°C обе реакции протекают незначительно, повышение температуры до 300° увеличивает реакцию изомеризации, при этом происходит некоторое диспропорционирование крезолов, полученных при изомеризации. При 400°C в основном протекают реакции изомеризации и диспропорционирования, вероятно, при этой температуре увеличивается крекинг исходного эфира с последующим алкилированием фенола, что согласуется с литературными данными.

Превращение фенотола в вышеуказанных условиях протекает аналогично процессу с анизолом.

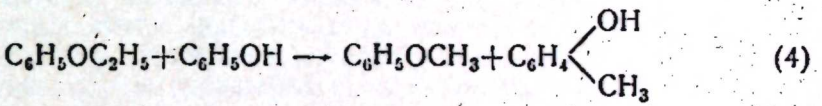
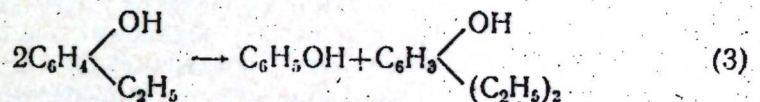
Крекинг



Изомеризация



Диспропорционирование



Основные реакции, протекающие при 200, 300° — крекинг и изомеризация. Увеличение температуры до 400° меняет направление процесса.

Наряду с уменьшением конверсии фенетола по реакции крекинга и увеличением по реакции изомеризации увеличивается доля участия последнего в реакции диспропорционирования.

При превращении изопропилового, н-бутилового и изобутилового эфиров фенола доминирующей реакцией остается крекинг с последующей димеризацией полученных олефинов. Однако в данных условиях н-бутиловый эфир значительно подвержен реакции изомеризации, в то время как изобутиловый эфир фенола — незначительно.

Таким образом алкиловые эфиры фенолов, над синтетическими алюмосиликатами подвергаются в основном крекингу, изомеризации и в некоторой степени диспропорционированию.

ЛИТЕРАТУРА

- Общий практикум по органической химии. Изд. „Мир“, М., 1965.
- Мамедалиев Ю. Г., Мамедалиев Г. М., Алиев С. М., Майстер Э. И. АХЖ, № 2, 1962.
- Лизогуб А. П. Спектральный анализ в органической химии. Киев, 1964.
- Физико-химические свойства индивидуальных углеводородов, вып. VI, 1957.

ХУЛАСЭ

Мәгаләдә ароматик карбоидрокенләрин окситөрәмәләринин олефинлэрлэ алкилләшмәсниниң механизмини, әвәзләмә гајдаларыны вэ с. мәсәләләри аждынлашдырмаг үчүн фенол, *o*-, *m*- вэ *n*-крезолларын C_2-C_4 олефинлэрлэ алкилләшмәси вэ һәмниң алкилләшмә шәрантиндә, мұвағиг олефинләрин чеврилмәләри тәдгиг едилемишdir.

ХИМИЯ

Г. М. МАМЕДАЛИЕВ, Р. Г. ИСМАИЛОВ, Ю. И. ТОКАРЕВ

КАТАЛИТИЧЕСКОЕ АЛКИЛИРОВАНИЕ ТОЛУОЛА
МЕТАНОЛОМ ПОД ДАВЛЕНИЕМ

По мере развития нефтехимической промышленности расширяются возможности применения отдельных углеводородов в производстве различных пластмасс, пластификаторов, лаков и т. п. Характерным примером в этом отношении могут служить полиметилбензолы. В настоящее время диметилбензолы нашли уже достаточно широкое применение в производстве полиэфирных волокон, алкидных смол и др. Большой интерес вызывают также три- и тетраметилбензолы, на основе которых можно получить такие важные продукты, как гемеллитовый ангидрид, тримезиновую кислоту и пиromеллитовый диангидрид, используемые в производстве высококачественных полимерных материалов.

Как правило, содержание полиметилбензолов в продуктах катализической и термической переработки различных нефтяных фракций невелико. К тому же эти продукты представляют собой смесь различных углеводородов, и выделение из подобной смеси индивидуальных метилбензолов встречает определенные технические трудности.

Одним из перспективных путей получения полиметилбензолов может служить реакция алкилирования толуола метанолом.

Реакция алкилирования ароматических углеводородов метанолом в присутствии различных катализаторов при атмосферном давлении [1—4] и под давлением [5—8] изучалась рядом авторов и известна в основном из патентной литературы.

Процесс алкилирования толуола метанолом протекает с образованием ди-, три- и тетраметилбензолов.

При этом, вероятно, алкилирующий агент — метиловый спирт действует как непосредственно, так и через стадию легко образующегося диметилового эфира. Для рассмотрения направлений вероятных схем преобразования исходных соединений представлялось необходимым изучение в условиях опыта превращений составляющих смесь компонентов в отдельности. Образование диметилового эфира над алюмо-силикатами наступает уже при температуре 250—260°C. При более высоких температурах (320—350°C) достигается равновесное соотношение между метиловым спиртом, диметиловым эфиром и полученной в результате образования последнего водой. На достижение равновес-

Таблица 1

Материальный баланс процесса алкилирования толуола метанолом
(толуол: метанол=1:2 (мол.), $T=450^{\circ}\text{C}$, $V=0,5 \text{ ч}^{-1}$)

Продукт	Давление, атм					
	1	5	10	15	20	25
Взято: % вес.						
1. Толуол	59	59	59	59	59	59
2. Метанол	41	41	41	41	41	41
Всего:	100,0	100,0	100,0	100,0	100,0	100,0
Получено: % вес.						
1. Катализат, в т. ч.:						
а) углеводородная часть	86,0	86,4	86,6	86,3	85,8	86,2
б) водная часть	62,0	62,7	63,4	62,8	62,6	63,4
2. Газ	24,0	23,7	23,2	23,5	23,2	22,8
3. Кокс	10,0	7,4	7,2	7,0	7,0	6,7
4. Потери	3,4	2,6	2,4	2,4	2,4	2,1
Всего:	100,0	100,0	100,0	100,0	100,0	100,0

Если давление не оказывает существенного влияния на данные материального баланса, то с повышением его происходит заметное ускорение протекания реакции конденсации толуола с метанолом, что приводит к значительному увеличению выхода ди-, три и тетраметилбензолов и закономерному снижению содержания толуола в углеводородной части катализата. С повышением давления также происходит резкое снижение содержания метанола в водном слое катализата.

Данные количественного состава углеводородной части катализата и кривые зависимости суммарного выхода ксиолов, три- и тетраметилбензолов приведены в табл. 2 и на рисунке.

Таблица 2

Состав углеводородной части катализата
($V=0,5 \text{ ч}^{-1}$, $T:M=1:2$ (м), $T=450^{\circ}\text{C}$)

'Углеводороды	Давление, атм.					
	1	5	10	15	20	25
Бензол	Следы	0,3	0,3	0,4	0,5	0,5
Толуол	70,1	57,9	51,8	48,8	47,2	47,6
п-ксиол	5,6	7,0	8,3	8,8	9,6	9,8
М-ксиол	6,5	9,9	10,4	10,8	10,9	11,1
О-ксиол	7,6	6,7	7,4	6,7	6,6	6,6
ΣC_8	19,7	23,6	26,1	26,3	27,1	27,5
Мезитилен	Следы	2,5	2,7	3,3	3,7	3,7
Псевдокумол	5,6	8,4	9,8	10,7	11,6	11,3
Гемимеллитол	0,8	1,7	1,9	1,9	2,1	2,2
ΣC_9	6,4	12,6	14,4	15,9	17,4	17,2
ΣC_{10}	3,8	5,6	7,4	8,6	7,8	7,2
Пентаметилбензол	—	Следы	Следы	Следы	Следы	Следы
ΣC_8-C_{10}	29,9	41,8	47,9	50,8	52,3	51,9
Итого:	100,0	100	100	100	100	100

Как видно из этих данных, максимальный выход ди-, три-, и тетраметилбензолов достигается уже при 10–15 атм. и составляет 26–27, 15–17 и 7,5–8,5% соответственно. Суммарный выход фракций метилбензолов C_8-C_{10} в этих оптимальных давлениях составляет 48–51%. Дальнейшее повышение давления до 25 атм лишь незначительно увеличивает выход полиметилбензолов и суммарное содержание их на углеводородную часть катализата достигает 52%.

ного соотношения компонентов при катализитическом воздействии Al_2O_3 . на метanol указывается также в работе [10].

В опытах по превращению метанола над алюмосиликатным катализатором было замечено, что при дальнейшем повышении температуры до 400°C и выше происходит разложение образующегося диметилового эфира.

В продуктах реакции найдены водород, метан, окись углерода. При этом проходили также процессы отложения кокса на катализаторе и образования воды.

В предыдущей работе изучался синтез полиметилбензолов на основе реакции алкилирования толуола метанолом в присутствии алюмосиликатных катализаторов при атмосферном давлении.

Было найдено, что при оптимальных условиях реакции (молярное соотношение толуол-метанол 1:2, температура 450°C , объемная скорость $0,5 \text{ ч}^{-1}$) суммарный выход ди-, три- и тетраметилбензолов на углеводородную часть катализата при однократном пропуске смеси над катализатором составляет 30%.

Представлялось интересным выявить влияние давления на реакцию алкилирования толуола метанолом с целью увеличения выходов полиметилбензолов.

Настоящая работа отражает основные результаты исследований этой реакции под давлением в присутствии промышленного алюмосиликатного катализатора.

ЭКСПЕРИМЕНТАЛЬНАЯ ЧАСТЬ

В качестве исходных продуктов были использованы толуол и метанол, степень чистоты которых была не ниже 99,9% (хроматографически).

В опытах применялся промышленный шариковый алюмосиликатный катализатор.

Исследования проводились на лабораторной установке с неподвижным слоем катализатора. Схема этой установки, а также методика алкилирования приведены в предыдущей работе. Перед началом опыта требуемое давление в реакторе создавалось путем подачи в систему инертного газа – азота из баллона.

Продукты реакции анализировались методом газожидкостной хромотографии. Углеводородная часть катализата исследовалась на хроматографе ХЛ-8М (длина колонки 3 м, внутренний диаметр 2,5 мм)

В качестве стационарной жидкой фазы (СЖФ) использовалась смесь бентона – 245 (40%) и силиконового масла ПФМС-4 (60%) в количестве 10% вес. к твердому носителю (кирпич ИНЗ-600, размер частиц 0,25–0,50 мм).

Водный слой катализата анализировался на колонке с СЖФ-триэтаноламином, взятой в количестве 13,5% на твердый носитель (хромосорб W). Длина колонки 1 м, внутренний диаметр 2,5 мм.

При оптимальных условиях реакции алкилирования толуола метанолом (температура 450°C , объемная скорость $0,5 \text{ ч}^{-1}$, молярное соотношение толуол-метанол 1:2) была поставлена серия опытов под давлением.

Материальный баланс этих опытов приведен в табл. 1.

С повышением давления наблюдается некоторое снижение выхода газообразных продуктов превращений. Выход кокса колеблется в пределах 2,1–2,6% вес. Применение давления заметным образом не влияет на выход углеводородной и водной частей катализата и соответственно составляет 62–62,8 и 23–24%.

Применение давления оказывает весьма благоприятное влияние на изомерный состав образующихся ксиолов.

При атмосферном давлении, как было показано в предыдущей нашей работе, сообразно правилам ориентации в специфических условиях опыта при реакции алкилирования толуола с метанолом полученная смесь ксиолов, в отличии от равновесного состава изомеров, отличается повышенным содержанием орто- (38,6%) и пара- (28,4%) ксиолов.

Как видно из данных табл. 3, с повышением давления проявляется тенденция, направленная в сторону повышения содержания в смеси ксиолов пара- и метаизомеров и, наоборот, происходит соответствующее снижение содержания ортоизомера.

В оптимальных условиях (температура 450°C, давление 10–20 атм), содержание параксилона составляет 32–35%, метаксилона 40–41%, ортоксилона 25–28%. Дальнейшее повышение давления до 25 атм не оказывает заметного влияния на состав ксиольной фракции. Такое высокое содержание параксилона является бесспорным преимуществом изученного нами процесса, что отличает его от известных промышленных источников параксилона (например, ксиольной фракции продуктов каталитического риформинга бензинов, в которой содержание параксилона не превышает 18–20%).

Таблица 3
Зависимость изомерного состава фракции C₈ от давления
(толуол:метанол=1:2 (мол.), V=0,5 см³, T=450°C)

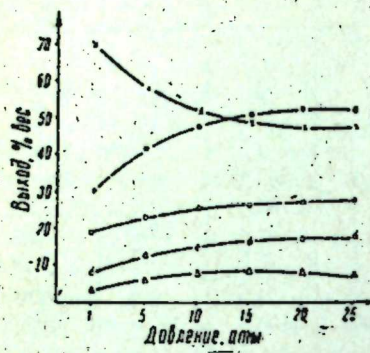
Углеводороды	Давление, атм.					
	1	5	10	15	20	25
ΣC ₈ % на углевод. часть	19,7	23,6	26,1	26,3	27,1	27,5
В том числе: % вес.						
Параксилон	28,4	29,7	31,8	33,5	35,4	35,6
Метаксилон	33,0	41,9	39,9	41,1	40,2	40,4
Ортоксилон	38,6	28,4	28,3	25,4	24,4	24,0
	100,0	100,0	100,0	100,0	100,0	100,0

Другим преимуществом рассматриваемого процесса является отсутствие в полученной ксиольной фракции углеводородов, затрудняющих извлечение параксилона из смеси, таких, как, например, этилбензол в производстве параксилона из фракции C₈ продуктов каталитического риформинга.

Указанные преимущества придают рассматриваемому нами процессу реальные перспективы для широкого использования его в промышленности.

Зависимость состава триметилбензольной фракции катализата от давления приведены в табл. 4.

Повышение давления до 5–10 атм вызывает некоторое снижение содержания гемимеллитола (до 12–13%) и, наоборот, повышение содержания мезитилена до 19–20%.



Кривые зависимости суммарного выхода ксиолов, три- и тетраметилбензолов:
 ○ 1—ксилоты; ○ 2—2-триметилбензолы; Δ 3—3-триметилбензолы;
 4—суммарный выход продуктов алкилирования;
 XS 5—толуол.

Содержание псевдокумола во фракции C₉ углеводородной части катализата заметно не меняется и составляет 67–68%.

В условиях опыта наряду с реакцией алкилирования происходит также взаимное превращение образующихся полиметилбензолов.

Таким образом, в формировании конечного состава продуктов превращения наряду с основной реакцией алкилирования определенный вклад вносит изомерное превращение полученных ди- и триметилбензолов.

Таблица 4

Зависимость изомерного состава фракции C₉ от давления
(толуол:метанол=1:2 (мол.), V=0,5 см³, T=450°C)

Углеводороды	Давление, атм					
	1	5	10	15	20	25
C ₉ , % на углеводородную часть	6,4	12,6	14,4	15,9	17,4	17,2
В т. ч. % вес. Мезитилен	Следы	19,9	18,8	20,7	21,2	21,5
Псевдокумол	87,5	66,6	68,0	67,3	66,7	65,7
Гемимеллитол	12,5	13,5	13,2	12,0	12,1	12,8
	100,0	100,0	100,0	100,0	100,0	100,0

Таблица 5

Состав водной части катализата
(T:M=1:2 (м.), V=0,5 см³, T=450°C), % вес.

Давление, атм	Давление, атм					
	1	5	10	15	20	25
Метанол	15,4	3,8	1,5	0,4	0,2	0,1
Вода	84,6	96,2	98,5	99,6	99,8	99,9

В табл. 5 приведены данные зависимости состава водной фракции катализата от давления. Как было показано, повышение давления ускоряет протекание реакции конденсации толуола с метанолом, в связи с чем происходит заметное снижение концентрации метанола и при давлениях 20–25 атм содержание его в водном слое не превышает 0,1–0,2%.

Газообразные продукты реакции состоят в основном из метана, водорода, диметилового эфира, этана, этилена, пропана и пропилена, небольшого количества смеси предельных и непредельных углеводородов C₄ и окиси углерода.

Выходы

1. Изучен синтез полиметилбензолов на основе реакции толуола с метанолом в присутствии алюмосиликатов под давлением и показано, что применение невысоких давлений (10–15 атм) по сравнению с данными, полученными при атмосферном давлении, увеличивает выход ксиолов в 2 раза, триметилбензолов в 1,5 раза, тетраметилбензолов в 4 раза.

2. Установлено, что при оптимальных условиях реакций (температура 450°C, давление 10–15 атм, объемная скорость 0,5 см³ и молярное соотношение толуол–метанол 1:2) в результате однократного прохождения смеси над катализатором суммарный выход ди-

три- и тетраметилбензолов составляет 48–51% на углеводородную часть катализата.

3. Показано, что полученная в оптимальных условиях кислотная фракция катализата, состоящая из смеси трех изомерных кислот, отличается высоким содержанием параксилона (32–34%). Содержание мета- и ортоксиолов во фракции колеблется в пределах 40–41 и 25–28% соответственно.

Триметилбензольная фракция катализата характеризуется содержанием 67–68% псевдокумола, 19–21% мезитилена и 12–13% гемимеллитола.

4. На основе полученных данных установлено, что предлагаемый процесс синтеза полиметилбензолов имеет ряд преимуществ перед существующими методами производства кислот и что его промышленное применение позволит увеличить ресурсы пара- и ортоксиолов, псевдокумола, дурола и других ценных полиметилбензолов.

ЛИТЕРАТУРА

1. Norris J. F. Ingraham J. N., J. Am. Chem. Soc. 60, 1421, 1938.
2. Norris J. F., Sturgis B. M. J. Am. Chem. Soc. 61, 1413, 1939.
3. Англ. пат. 574 738, 1942.
4. Given P. H., Hammick D. L., J. Chem. Soc., 928, 1947. РЖХ. 1967, 23Н199п.
5. Англ. пат. 541 534, 1942.
6. Пат. США 2 447 599, 24 авг. 1948.
7. Пат. США 2, 756, 261, 24 июля 1956.
8. Япон. пат. 20341, 22. 07. 64 г. РЖХ, 1968, 7(II) 7Н144П.
9. Mc. Kee Burke, Ind. Eng. Chem. 15, 788, 1923.

ИНХС АН СССР

Поступило 6. I 1969

АЗЭРБАЙЧАН ССР ЕЛМЛЭР АКАДЕМИЯСЫНЫН МЭРҮЗЭЛЭРИ

ДОКЛАДЫ АКАДЕМИИ НАУК АЗЕРБАЙДЖАНСКОЙ ССР

ТОМ XXV

№ 4

1969

МИКРОБИОЛОГИЯ

А. М. КУЛИЕВ, И. И. НАМАЗОВ, М. А. ГАДЖИЕВА, Я. М. КЕРИМОВА

ВЛИЯНИЕ РН СРЕДЫ НА БИОСИНТЕЗ БЕЛКА ИЗ ПАРАФИНА ТРАНСФОРМАТОРНОГО МАСЛА

Известно, что на образование биологических веществ микроорганизмов существенное влияние оказывают состав питательной среды, pH, среды, аэрация, температура и другие факторы [1, 2, 3]. Поэтому недооценка одного из вышеперечисленных факторов при выращивании микроорганизмов может привести к уменьшению или даже прекращению роста [4, 5, 6].

Из литературы известно, что для роста большинства дрожжей наиболее благоприятной является нейтральная или слабокислая среда [7, 8].

Настоящая работа посвящена исследованию влияния pH среды на развитие и рост дрожжей.

Исходным посевным материалом в опытах служила двухсуточная культура дрожжей из рода *Candida tropicalis*, *Toralopsis famata*.

При испытании стойкости дрожжей к различным концентрациям ионов водородов в питательную среду до стерилизации добавляются определенные дозы кислоты (30%-ной кислоты) или щелочи (10%-ный раствор аммиака) и устанавливаются предельные значения pH от 1 до 10. Для биосинтеза в качестве сырья берется парафин трансформаторного масла. После стерилизации колба с минеральной средой инокулируется 2-суточной культурой (1 мл с оптической плотностью 2,8).

Инокулят выращивается на минеральной среде Ридера в 500 мл колбах Эрленмейера, содержащих 50 мл минеральной солевой среды с 1% -ным углеводородом при температуре 32–34°C на круговой качалке (220–230 об/мин) в течение 75–85 ч.

Выход биомассы определяется после полного использования парафина трансформаторного масла. Вес абсолютно сухих дрожжей (АСД г/л) пересчитывается на взятый углеводород по удельному весу. Концентрация водородных ионов в полученной биомассе определяется с помощью потенциометра марки ЛПУ-01 со стеклянными электродами (9 —). Этот потенциометр позволяет измерять pH в малом объеме и не требует частой корректировки по буферным растворам.

Относительный прирост клеток определяется по оптической плотности суспензии на фотозлектрокалориметре (ФЭК-56). Опыты по определению остаточного количества углеводородов в жидкости после ферментации проводились по методу В. Ерошина (ИБФМ АН СССР).

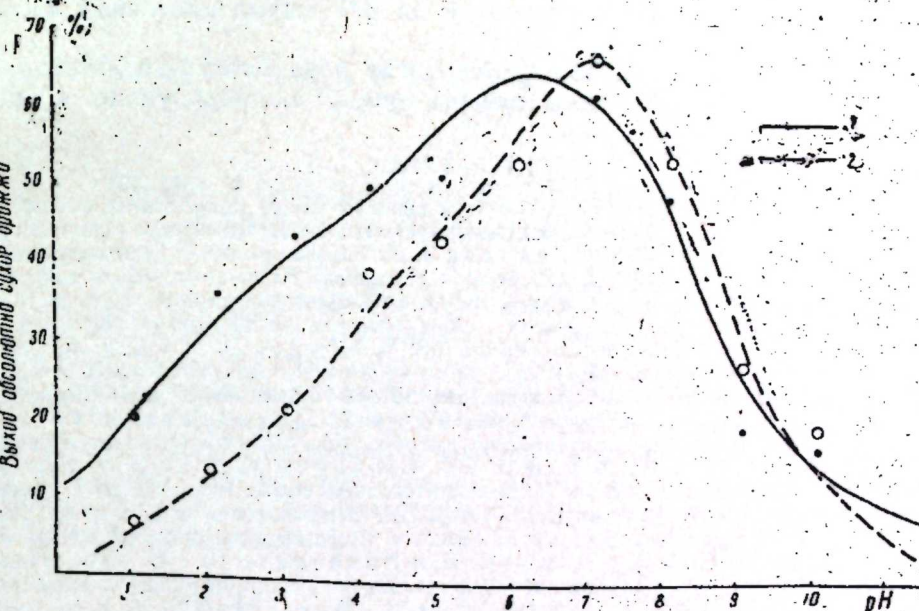
Влияние pH среды на биосинтез белка на базе парафина трансформаторного масла

Candida tropicalis				Torulopsis famata			
pH среды	до ферментации	после ферментации	АСД	pH среды	до ферментации	после ферментации	АСД
			%				%
1,0	1,0	1,6	20,0	0,96	80	1,0	6,7
2,5	1,7	2,9	36,0	1,13	73	2,0	13,0
3,0	1,8	3,7	46,0	2,30	—	2,2	1,04
4,0	2,0	4,0	50,0	2,40	—	4,0	1,71
5,0	2,1	4,7	51,0	2,75	—	5,0	2,3
6,0	2,2	5,2	65,0	2,50	10	6,0	3,17
7,0	3,7	5,0	62,0	2,30	12	7,0	39,0
8,0	6,1	3,9	48,7	2,10	—	8,0	21,0
9,0	7,7	1,5	18,7	1,30	92	9,0	2,30
10,0	9,0	1,4	17,5	1,20	97	10,0	2,30

При исследовании вопроса влияния pH среды на активность дрожжей было выяснено, что водородные ионы могут по-разному влиять на рост и развитие дрожжей.

Данные, посвященные исследованию влияния pH среды на рост и развитие дрожжей, представлены в таблице. Они показывают, что оптимальный уровень pH для процесса биосинтеза для культуры *Candida tropicalis* находился в пределах 4–6 (рисунок). Падение уровня pH 1–3 неблагоприятно сказывалось на биосинтезе белка, культура переставала развиваться и при сильном подщелачивании среды до 8–10.

При этом образовалось в 3 раза меньше биомассы, чем при оптимальном уровне pH.



Влияние pH среды на выход клеточной массы на базе парафина трансформаторного масла:
1—*Candida tropicalis*; 2—*Torulopsis famata*

При выращивании культуры *Torulopsis famata* максимальное образование биомассы, наблюдается при pH 6–8. В процессе биосинтеза с дрожжами из рода *Candida* и *Torulopsis* наблюдается постоянное снижение pH среды, коррелирующее с ростом клеточной массы.

Так, при развитии *C. tropicalis* pH снижается с 6 до 2,2, что свидетельствует о накоплении в среде продуктов кислого характера. Чем быстрее растут клетки, тем интенсивнее они разлагают питательные соли.

При росте *T. famata* pH с 7,0 снижается до 2,6, при этом накапливается максимум клеточной массы.

Использование микроорганизмами остаточных количеств парафина трансформаторного масла зависит от их активности дрожжей, которые в свою очередь связаны с уровнем pH среды.

При pH среды 6,0 выход АСД составлял 65%, а остаточное количество углеводорода (таблица) в среде—0,9% при pH 1–2 количество остаточных углеводородов составляло 90–92%.

При pH 1–3 биосинтез белка снижался еще в большей степени. Выход биомассы достигал лишь 20–30% от максимального. Влияние

pH среды на активность дрожжей, определенную по оптической плотности, показана в таблице.

Выяснилось, что *C. tropicalis* развивается больше в кислой среде, а *T. famata* в нейтральной.

Выводы

1. Для культуры *C. tropicalis* максимальный выход биомассы наблюдается при pH 4–6, а для культуры *T. famata* при pH 6–7.

2. Снижение уровня pH до 1–3, а также повышение pH до 9–10 неблагоприятно сказывается на росте и развитии дрожжей. При этом образуется в 3 раза меньше биомассы, чем при оптимальном уровне pH.

3. При изменении pH среды от 4 до 6,5 выход клеточной массы изменяется от 40 до 67%.

4. В процессе биосинтеза с дрожжами из рода *Candida* и *Torulopsis* наблюдается постоянное снижение pH среды, коррелирующее с ростом клеточной массы.

ЛИТЕРАТУРА

1. Родина А. Г. Определение активной реакции среды и окислительно-восстановительного потенциала. Методы водной микробиологии. Практическое руководство. М.—Л., 1965. "Наука", стр. 335. 2. Зайцева З. М. Влияние условий культивирования на биосинтез лизина культурой *Micrococcus glutamicus*. 95 ж. "Микробиологический синтез", № 11, 1966, стр. 3. Маггин J. Дреи S. В. Влияние условий культивирования на расщепление дрожжами фенола. "Микробиологический синтез", № 9, стр. 4. Ин-т бродильной промышленности, Берлин, 1966. 4. Егоров Н. С. Общие представления об условиях культивирования, влияющие на образование антибиотических веществ. Кн.: "Микро-антагонисты и биологические методы определения антибиотической активности". Изд-во "Высшая школа". М., 1965 стр. 26. 5. Иерусалимский Н. Д. Влияние внешних факторов на рост микроорганизмов. Кн.: "Основы физиологии микроорганизмов". Изд-во АН СССР. М., 1963, стр. 215. 6. Федоров М. В. Культура микроорганизмов с повышенными дозами кислот нейтральных солей. Руководство к практическим занятиям по микробиологии, 1951 стр. 224. Выносливость кислот к щелочам, стр. 225. 7. Нейтрат Г. и Бэйли К. Белки, т. III, ч. II. Биохимия белковых веществ. 1959, стр. 5–35. 8. Кузинецов С. И. и Романенко В. И. Определение активной реакции среды (pH). Микробиологическое изучение внутренних водосемов. М.—Л., 1963, стр. 107–209. 9. Робышева Э. Н., Диканская Э. М. и др. Влияние солевого состава среды pH и температуры на накопление липидов дрожжами при использовании углеводородов. "Микробиологический синтез", № 5, 1966, стр. 9.

Институт химии присадок

Поступило 26. VII 1968

Э. М. Гулиев, И. И. Намазов, М. Э. Һачыјева, Ј. М. Кәримова

Трасформатор яғы парафининдән алынаң зұлалинин
биосинтезинә pH-ын тә'сири

ХУЛАСӘ

Биологи маддәнин әмәлә-қәлмәсі, яғни көтүрүлмүш карбонидро-кенләрін там оксидләшмәсі үчүн мұнитин фәал туршулуғунун (pH) бөлүк әһәміjеті зарды.

Нидрокен иону (pH) маја кәбәләjинин фәаллышына мұхтәлиф форма да тә'сир едір. Белә ки, *Candida tropicalis* үчүн максимум биологи күтлә pH 4–5–6 олдуғда әмәлә кәлир. *Torulopsis famata*-нын инишафы үчүн исә pH 6–7–8 соң әлверишилдір.

Гида мұнитиндә pH нисбәтән аз (1–3) вә яхуд артыг (9–10) мұшаидә едилдікдә маја кәбәләкеләрінин боj вә инишафы үчүн лазы-ми шәрайт олмадығындан биологи күтләнин мигдары да 2–3 дәfә азалып. Белә оптимал шәрайтә биосинтез апардыгда алынаң мәисул 40%-дән 67%-ә گәдәр арты.

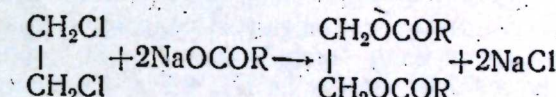
Биосинтез процессиндә биокүтләнин артасы илә мұнитин туршулу-ғунун гануни оларға ашағы дүшмәсі мұшаидә едилді.

ОРГАНИЧЕСКАЯ ХИМИЯ

ШАМХАЛ МАМЕДОВ, Э. Ш. МАМЕДОВ, А. Б. АГОРОНОВ,
С. В. УСЕЙНОВА

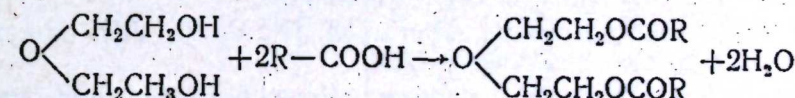
СИНТЕЗ И ИССЛЕДОВАНИЕ СЛОЖНЫХ ЭФИРОВ 1-ФЕНИЛ-2-ЦИКЛОГЕКСОКСИЭТАНОЛА-1

Известно, что при этерификации этиленгликоля жирными кислотами C₅–C₉ получаются сложные эфиры, обладающие пластифицирующими свойствами [1]. Было показано, что сложные эфиры этиленгликоля и дистиллированных нафтеновых кислот, выделенных из дизельных и керосиновых фракций, обладают свойствами хорошего пластификатора [2, 3]. Реакция получения данного пластификатора, известного под названием АНАЗ, протекает по схеме, где в расплав натриевых солей нафтеновых кислот пропускают пары дихлорэтана при 180°C и при атмосферном давлении.



R—нафтеновый радикал.

При испытаниям пластификатора АНАЗ обнаружились его хорошие морозостойкие качества в нитроцеллюлозных и перхлорвиниловых изделиях [4]. Диэтиленгликоловые эфиры нафтеновых кислот (АНАЗ-20) получаются этерификацией диэтиленгликоля дистиллированными нафтеновыми кислотами согласно уравнению:



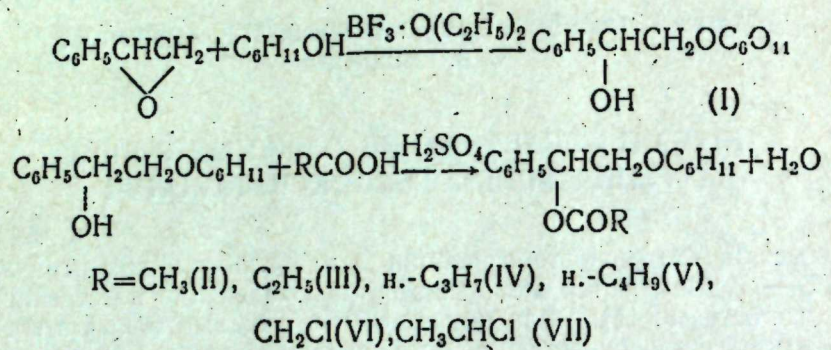
АНАЗ-20 имеет ряд преимуществ перед АНАЗом [5].

Интересно отметить, что эфиры нафтеновых кислот не только обладают пластифицирующими свойствами, но и являются инсектицидами, которые в 0,25–0,50%-ной концентрации по действующему началу, смешанные с алкилбензолсульфокислотой в соотношении 4:1, вызывают гибель паутинных клещиков выше 89% и хлопковой тли свыше 94% [6].

Здесь следует сказать, что данные препараты являются малотоксичными для теплокровных.

В свете вышесказанного представлял интерес синтез сложных эфиров фенилированного этиленгликоля и его целозольва для исследования биологической активности, а также пластифицирующих свойств.

Целью настоящей работы является синтез и исследование сложных эфиров 1-фенил-2-циклогексоксистанола-1 (I), синтезированный действием циклогексанола на окись стирола в присутствии эфираата фтористого бора по методике, ранее разработанной нами [7]. Данные сложные эфиры (II, VII) нами были получены действием карбоновых кислот на (I) в присутствии H_2SO_4 в качестве катализатора с удалением воды, выделяющейся во время реакции бензolem в виде азеотропной смеси в установке с водоотделителем типа Дина и Старка. Реакции идут по схеме:



Эфиры (II—VII) синтезированы впервые.

Экспериментальная часть

Уксусокислый эфир 1-фенил-2-циклогексоксистанола-1 (II).

1. В реакционную колбу, снабженную механической мешалкой и термометром, водоотделителем типа Дина и Старка, с обратным ходильником помещается 7 г карбинола (I), 6,7 г уксусной кислоты, 80 мл бензола. Содержимое колбы при интенсивном перемешивании нагревается до 80°C и при этой температуре из капельной воронки постепенно добавляется 0,5 мл H_2SO_4 . Реакционная смесь приобретает желтый цвет и мутнеет. После 5-часового перемешивания и выделения необходимого количества воды в водоотделителе колба охлаждается и в нее добавляется вода. Делается двухкратная бензольная вытяжка и сушится над Na_2SO_4 . После отгонки растворителя вакуумной разгонкой выделяют 4,5 г сложного эфира (II).

Аналогично синтезированы эфиры (II, IV, V, VI, VII), константы которых приведены в таблице.

2. В реакционную колбу, снабженную мешалкой, термометром и капельной воронкой, помещают 7 г карбинола (I), 10 г уксусного ангидрида, 100 мл бензола и 0,1 мл H_2SO_4 . Смесь нагревается до 80°C и при этой температуре перемешивается 5 ч.

По окончании реакции содержимое колбы обрабатывается водой. Из нижнего слоя 2 раза делается бензольная вытяжка и соединяется с верхним. Экстракт промывается 10%-ным раствором соды и сушится над Na_2SO_4 . После отгонки растворителя вакуумной разгонкой выделяют 5 г (60%) эфира (II) с константами: т. кип. 133—134/1 мм, n_D^{20} 1,5042, d_4^{24} 1,0501, MR_n 73,90, $MR_{выч.}$ 73,87.

Сложные эфиры $C_6H_5CHCH_2OC_6H_{11}$
OCOR

№ вещ.	R	Т. кип. (P, мм)	n_D^{20}	d_4^{20}	MR _n	Формула найдено вычис- лено	Найдено, %			Вычислено			Выход, %
							C	H	C	H			
II	CH ₃	133—134 (1)	1,5058	1,0520	73,98	73,87	C ₁₀ H ₂₂ O ₃	73,20	73,47	8,55	8,64	73,28	8,39
III	C ₂ H ₅	150—152 (1)	1,5038	1,0367	78,80	78,68	C ₁₁ H ₂₄ O ₄	74,00	73,56	9,04	9,01	73,91	8,69
IV	n-C ₃ H ₇	166—167,5 (3)	1,5017	1,0300	83,30	83,31	C ₁₂ H ₂₆ O ₃	74,07	74,24	8,95	9,10	74,48	8,36
V	n-C ₄ H ₉	194—195 (5)	1,4990	1,0207	87,65	87,96	C ₁₃ H ₂₈ O ₃	75,73	74,58	9,37	9,44	75,00	9,21
VI	CICH ₂ *	180—181 (1)	1,5178	1,1378	78,93	78,83	C ₁₄ H ₂₄ O ₃ Cl	65,01	64,36	7,24	7,21	64,75	7,08
VII	CICHCH ₃ **	189—191 (1)	1,5160	1,1187	83,79	83,48	C ₁₅ H ₂₆ O ₃ Cl	65,72	65,76	11,48	11,23	65,70	7,40

* Вычислено в % Cl 11,90, найдено — 11,50, 11,70.

** Вычислено в % Cl 11,43, найдено — 11,23, 11,48.

Выводы

- Предложен способ получения сложных эфиров 1-фенил-2-циклогексоксиэтанола-1.
- Синтезированы ацетат-, пропионат-, бутират-, валерианат-, хлор-ацетат-, α -хлорпропионат 1-фенил-2-циклогексоксиэтанола-1, ранее не описанные в литературе.

ЛИТЕРАТУРА

- Тиниус К. Пластификаторы, стр. 631. Изд. "Химия", М.-Л., 1964.
- Мамедов Ш. А., Низкер И. Л., Рзаев А. С. Авт. свид. СССР, № 124572; бюлл. изобр., № 23, 1959.
- Мамедов Ш. А., Рзаев А. С., Низкер И. Л. Авт. свид. СССР, № 124573; бюлл. изобр., № 23, 1959.
- Мамедов Ш. А., Новиков О. С., Дорохина Т. В., Рзаев А. С., Низкер И. Л. Авт. свид. СССР, № 132803; бюлл. изобр., № 20, 1960.
- Мамедов Ш. А., Рзаев А. С., Низкер И. Л., Кафарова С. М. Авт. свид. СССР, № 138606, 1960.
- Мамедов Ш. А., Джалилов Т. Н., Осипов О. Б., Гришина Е. Н. Авт. свид. СССР, № 139168; бюлл. изобр., № 12, 1961.
- Мамедов Шамхал, Мамедов Э. Ш., Гаджизаде Ф. С. ЖХХ, 34, 2177, 1964.

ИНХП

Поступило 11. III 1968

Шамхал Мэммэдов, Е. Ш. Мэммэдов, А. Б. Агоронов, С. В. Үүсэйнова

1-фенил-2-циклоhexоксиэтанол-1-ин мүрәккәб ефирләринин синтези вә тәдгиги

ХУЛАСЭ

Мәгаләдә 1-фенил-2-циклоhexоксиэтанол-1-ин мүрәккәб ефирләринин синтези үчүн назырланмыш үсулдан бәһс олунмуштур.

Тәдгигатлар нәтичесиндә һәмин спиртин әдәбијатда мә'лум олма-
jan 6 јени нұмајәндәси синтез едилмишdir.

АЗЭРБАЙЧАН ССР ЕЛМЛӘР АКАДЕМИЈАСЫНЫН МӘРУЗӘЛӘРИ
ДОКЛАДЫ АКАДЕМИИ НАУК АЗЕРБАЙДЖАНСКОЙ ССР

ТОМ XXV

№ 4

1969

ОРГАНИЧЕСКАЯ ХИМИЯ

А. Г. ИСМАИЛОВ, М. М. ГУСЕЙНОВ, Ф. Э. ДЖАВАДОВ, Н. Ф. МУСАЕВА

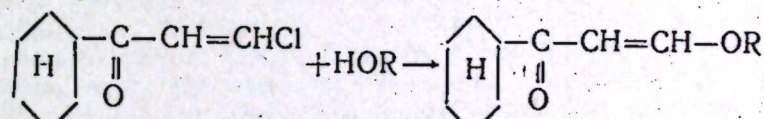
ВЗАИМОДЕЙСТВИЕ ЦИКЛОГЕКСИЛ- β -ХЛОРВИНИЛКЕТОНА С ФЕНОЛОМ И НАФТОЛОМ

(Представлено академиком АН Азербайджанской ССР М. Ф. Нагиевым)

Из литературы известно, что метил- и фенил- β -хлорвинилкетоны легко реагируют с фенолом и β -нафтоловом, образуя при этом соответственно β -фенокси- и β -нафтоксивинилкетоны [1, 2]. Нами в предыдущей работе была описана реакция циклогексил- β -хлорвинилкетона с алифатическими спиртами и показано, что при этом в зависимости от молярных количеств щелочных агентов образуются соответствующие β -аллоксивинил- или β,β -диаллоксивинилкетоны [3].

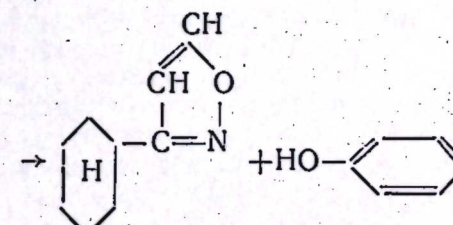
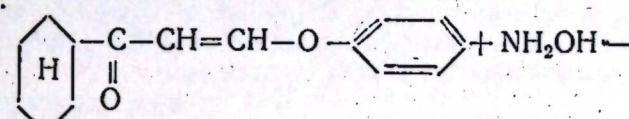
В настоящей статье нами приведены результаты по синтезу и превращению циклогексил- β -фенокси- и нафтоксивинилкетонов. Оказалось, что реакция циклогексил- α -хлорвинилкетона с фенолом и нафтоловом в отличие от алифатических спиртов протекает как в водной среде, так и в инертных растворителях при комнатной температуре с преимущественным образованием циклогексил- β -фенокси- и нафтоксивинилкетонов.

Получение циклогексилфенокси- и нафтоксивинилкетонов можно выразить следующей схемой:



где R = C_6H_5 ; β - $\text{C}_{10}\text{H}_{10}$.

Циклогексил- β -феноксивинилкетон как и β -хлорвинилкетон легко реагируют с гидроксиламином с образованием циклогексилзамещенных изоксазола:

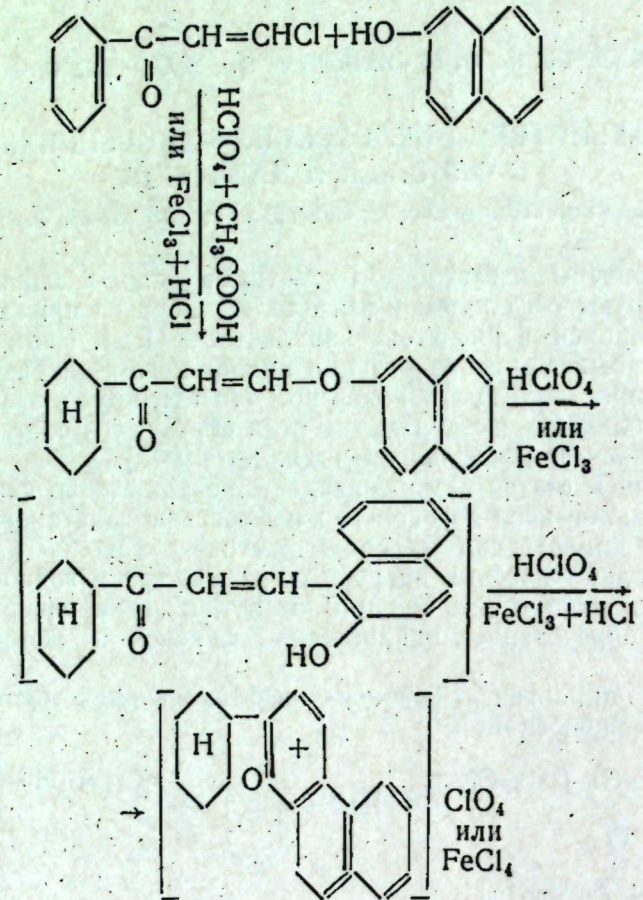


Это свидетельствует о том, что феноксигруппа также является подвижным центром у α -ненасыщенных кетонов.

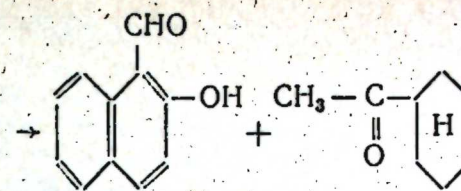
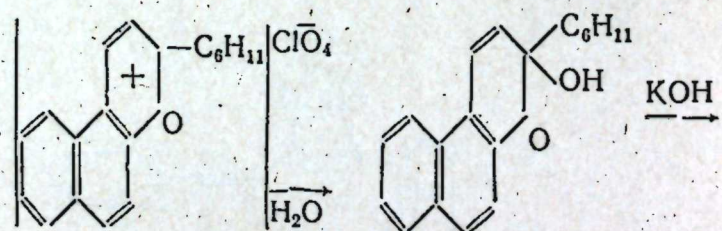
Циклогексил- β -феноксивинилкетоны как алcoxивинилкетоны при стоянной легко превращаются в тетрагидробензоилбензоль [4], который является доказательством их строения.

Циклогексил- β -хлорвинилкетон в присутствии таких конденсирующих агентов как Fe_2Cl_3 и $HClO_4$, с нафтолом образует соответствующие феррохлорид и перхлорат 2-циклогексил-5,6-нафтапирилия.

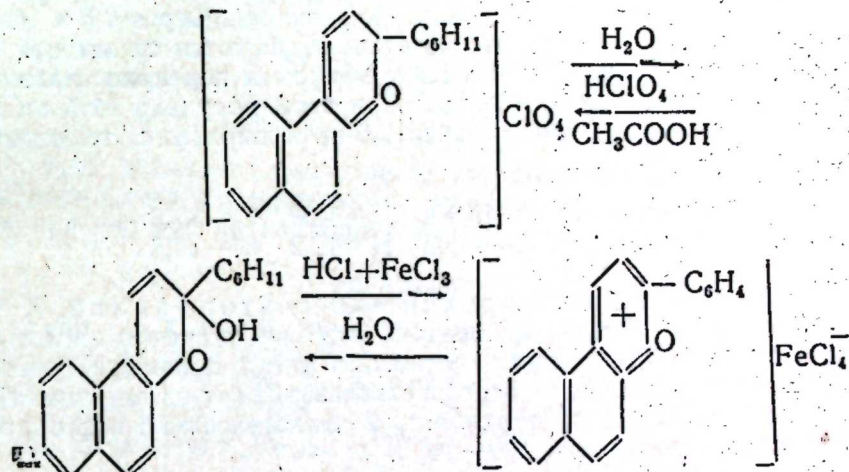
Также установлено, что циклогексил- β -нафтоксивинилкетон в присутствии вышеуказанных конденсирующих агентов образует соли пирилия:



Структура полученных пирилиевых солей была подтверждена их ИК-спектрами и гидролитическим расщеплением на примере перхлорат-2-циклогексил-5,6-нафтапирилия. При этом выделен метилциклогексилкетон, который идентифицирован в виде 2,4-динитрофенилгидразона и 2-оксинафтальдегид-1 в виде оксима.



Установлено, что от образовавшегося промежуточного продукта (1) можно перейти от перхлората к феррохлориду или наоборот:



Нам не удалось выделить соответствующие пирилиевые соли при взаимодействии циклогексил- β -хлорвинилкетона с резорцином, гидрохиноном и крезолом, так как в присутствии $FeCl_4$ и $HClO_4$ они не дают устойчивых пирилиевых солей.

Экспериментальная часть

Циклогексил- β -феноксивинилкетон, 1,4 г КОН растворяли в 10 г фенола, растворенного в 70 мл гексана. К этой смеси при комнатной температуре по каплям добавляли 8,7 г циклогексил- β -хлорвинилкетон. После 6-часового перемешивания реакционная масса промывалась щелочью несколько раз. Воднощелочной слой экстрагировался эфиrom. Эфиргексановый слой высушивался над сульфатом натрия. Отогнав эфир, остаток перегоняли под вакуумом. Получено 7,7 г (66,6%) циклогексил- β -феноксивинилкетона, который после повторной перегонки имел следующие константы: тем. кип. 200–202°/10, d_4^{20} —1,0735; n_D^{20} —1,5528, $MR_{D_{13}13}$ —67,90, $MR_{D_{13}13}$ —67,19.

Анализ. Вычислено для $C_{15}H_{18}O_2$ С—77,26, Н—7,82

Найдено: С—78,14 Н—7,80

Циклогексил- β -(β -нафтокси) винилкетон. К раствору 2,8 г КОН в 20 мл воды при перемешивании добавляли по каплям 17 г циклогексил- β -хлорвинилкетон. После 5-часового перемешивания при комнатной температуре реакционную смесь обрабатывали эфиrom, эфирные вытяжки несколько раз промывали водой, сушили над сульфатом натрия. После отгонки эфира остаток перекристаллизовывали из петролейного эфира. Получено 14,8 г (выход 76%) циклогексил- β -(β -нафтокси) винилкетона, представляющего собой белые кристаллы с

температура плавления 46–47°C. 2,4 динитрофенилгидразон, температура плавления 72–73°C.

Элементарный анализ для $C_{19}H_{20}O_2$:

Вычислено, %: C—81,43, H—7,14
Найдено, %: C—81,40 H—7,11

Феррохлорид 2-циклогексил-5,6-нафтотирилий. Из 0,8 г циклогексил- β -нафтокси винилкетона и 5 г безводного хлорного железа в 10 мл HCl получено 1,0 г (выход 82%) феррохлорид 2-циклогексил-5,6-нафтотирилия. Аналогично, к 6,1 г нафтола, 4,3 г циклогексил- β -хлорванилкетона и 20 мл уксусной кислоты прибавляли 6,2 г безводного в 17 мл соляной кислоты. Через 0,5 ч выделяются кристаллы бурого цвета, которые отделяются от жидкой части фильтрованием. Затем их промывают эфиrom и перекристаллизовывают из горячей уксусной кислоты. При этом получено 11,7 г (выход 90%) феррохлорид 2-циклогексил-5,6-нафтотирилия с температурой плавления 118–119°C.

Анализ Найдено, %: C—49,40, H—4,09 Cl—30,6
Вычислено, %: C—49,45 H—4,12 Cl—30,8

Терхлорат 2-циклогексил-5,6-нафтотирилий. К смеси 6 г β -нафтола, 4 г β -хлорванилкетона и 20 мл уксусной кислоты добавляют 10 мл $HClO_4$, через несколько минут выпавшие кристаллы отделяют фильтрованием и перекристаллизовывают из этанола. Получено 6,5 г (выход 78%) терхлорат 2-циклогексил-5,6-нафтотирилия с температурой плавления 105–106°.

Анализ Найдено, %: C—62,80, H—5,23, Cl—9,4
 $C_{19}H_{16}O_5Cl$ Вычислено %: C—62,89, H—5,26, Cl—9,7

Деструкция терхлората 2-циклогексил-5,6-нафтотирилия. 3 г терхлорат 2-циклогексил-5,6-нафтотирилия смешивают с 40 мл насыщенного раствора ацетата натрия. Полученное псевдооснование извлекают эфиrom. Отогнав эфирик остатку, прилили 25% водного раствора KOH и смесь кипятили в колбе с обратным холодильником до исчезновения окраски. Затем реакционную массу отфильтровывали и к фильтрату добавляли 15% серной кислоты. При этом наблюдается выделение 2-оксинафтоальдегида-1. После высушивания в экскаторе над хлористым кальцием 2-оксинафтоальдегид-1 имел температуру плавления 80°C (по литературным данным тем-ра плавл. 81° [5]), температура плавления оксима 154°C (по литературным данным тем-ра плавл. 156° [6]). После отделения 2-оксинафтоальдегида-1 подкисленный раствор извлекался эфиrom, из эфирных вытяжек выделен циклогексилметилкетон и идентифицирован в виде 2,4 динитрофенилгидразона с тем-рой плавл. 126°C (по литературным данным тем-ра плавл. 127°C [3]).

Синтез терхлората из феррохлорид-2-циклогексил-5,6-нафтотирилия. 3 г тонко измельченного феррохлорид-2-циклогексил-5,6-нафтотирилия обрабатывали ацетатом натрия. Извлекали эфиrom. К эфирной вытяжке добавляли 15 мл CH_3COOH и эфирик отгоняли, а к остатку добавляли 10 мл 70% $HClO_4$. Смесь нагревали до полного растворения осадка. Терхлорат 2-циклогексил-5,6-нафтотирилий выпадал в виде желтоватых кристаллов, выход 1,1 г (48%). После перекристаллизации из уксусной кислоты т. пл. 105–106°C.

Синтез феррохлорида из терхлората 2-циклогексил-5,6-нафтотирилия. 3 г терхлорат 2-циклогексил-5,6-нафтотирилия

смешивали с 20 мл насыщенного раствора ацетата натрия и смесь извлекали эфиrom. К экстракту добавляли 15 мл CH_3COOH и эфирик отгоняли. К остатку добавляли 1,4 г $FeCl_3$ в 20 мл HCl. После просушки выпавшие кристаллы перекристаллизовывали из уксусной кислоты; получено 2,1 г феррохлорид-2-циклогексил-5,6-нафтотирилия (выход 56%).

Выводы

1. Изучена реакция циклогексил- β -хлорванилкетона с фенолом и β -нафтоловом. Выяснено, что при этом образуются только циклогексил- β -фенокси- и β -(β -нафтокси) винилкетоны.

2. Установлено, что циклогексил- β -хлорванилкетон с β -нафтоловом в присутствии конденсирующих агентов как $FeCl_3$ и $HClO_4$ образуют циклогексилзамещенные нафтотирилии.

3. Показано взаимное превращение феррохлорида в перхлорат и наоборот перхлората в феррохлорид через псевдооснование, образовавшееся при деструкции нафтотирилия.

ЛИТЕРАТУРА

1. Кочетков Н. К., Рыбинская М. И., Несмеянов А. Н. ДАН СССР, № 5, 1951.
2. Несмеянов А. Н., Кочетков Н. К., Рыбинская М. И. Изв. АН СССР, ОХН, стр. 485, 1953.
3. Джавадов Ф. Э., Исмаилов А. Г., Гусейнов М. М. „Азерб. хим. журн.“, 1969.
4. Гусейнов М. М., Исмаилов А. Г., Джавадов Ф. Э. „Азерб. хим. журн“, № 2, 1957.
5. Gattermann L. Th. Horlacher Ber. 32, 285, 1899.
6. Fosse M. R. Bull. Soc. Chem. 25, 373, 1901.

ИНХП

Поступило 11: XII 1967

Э. Һ. Исмаилов, М. М. Һүсейнов, Ф. Е. Чавадов, Н. Ф. Мусаева

Тсиклоңексил- β -хлорванилкетонун фенол в β -нафтолла гарышылыглы тә'сирі һағында

ХУЛАСӘ

Мәгаләдә тсиклоңексил- β -хлорванилкетонла β -нафтол вә фенол арасында кедән реаксија верилмишdir.

Мүәjjән едилмишdir ки, бу реаксија заманы уjғун олааг тсиклоңексил- β -фенокси- вә β -(β -нафтокси) винилкетонлар алышыр. Тсиклоңексил- β -хлорванилкетон β -нафтолла вә тсиклоңексил- β -(β -нафтокси) винилкетон $FeCl_3$ вә $HClO_4$ кими конденсисләшдиричиләрин иштиракы илә тсиклоңексил әвәзли нафтотирил дузлары әмәлә кәтирир.

Алыныш феррохлорид вә перхлорат пирилдузлары псевдоәсас мәрһәләсини кечмәклә бир-биринә чөврилә биләр.

ГЕОХИМИЯ

А. Д. СУЛТАНОВ, Э. Н. ЭФЕНДИЕВА

О НЕКОТОРЫХ ГЕОХИМИЧЕСКИХ ОСОБЕННОСТЯХ
МАЛЫХ И РЕДКИХ ЭЛЕМЕНТОВ ВЕРХНЕЮОРСКИХ
ОТЛОЖЕНИЙ ЮГО-ВОСТОЧНОЙ ЧАСТИ МАЛОГО КАВКАЗА

В геологическом строении восточной части Малого Кавказа с осложнениями ее структурами второго порядка Агдамским, Карабахским антиклиориями и Мартунинским синклиорием участвует мощный и сложный комплекс вулканогенных, вулканогенно-осадочных и осадочных образований мезокайнозоя.

Особенности распределения малых и редких элементов в горных породах наряду с другими методами все шире используются для целей корреляции и палеогеографических построений.

С этой точки зрения нами были проведены геохимические исследования довольно однообразных карбонатных и вулканогенно-осадочных пород верхней юры ЮВ части Малого Кавказа.

Относительное и абсолютное содержание различных элементов в породах сравнительно легко и быстро устанавливается методом спектрального анализа. Всего в указанных отложениях было произведено 250 полукачественных спектральных анализов и определено содержание 28 элементов: Ba, Be, As, Sb, Ge, Mn, Pb, Sn, Ga, W, Cr, Bi, Ti, Mo, V, Cd, Cu, Ag, Zn, Co, Zr, Sr, Sc, Ni, Al, Fe, Ca, P.

Спектроскопическим методом было установлено, что такие элементы, как As, Sb, Ge, Sn, W, Bi, Mo, Cd, Ag, Zn, Se, отсутствуют, а Be установлен в двух—трех образцах в очень малом количестве. Характерной особенностью многих из них является малая или весьма малая растворимость их соединений.

Результаты полученных спектральных анализов сравнивались с кларковыми значениями их для соответствующих пород (изверженных, известняков) по данным А. П. Виноградова (рис. 3).

Известно, что с конкретными горными породами связаны те или иные химические элементы, распределение и количественное соотношение которых контролируется законами геохимической подвижности (С. М. Катченков) (рис. 2). Так, глинистые породы отличаются наибольшим содержанием V, Cr, Ni, Cu и наименьшим содержанием Ca, Sr. В карбонатных породах преобладают последние, а содержание других зависит от количества глинистой примеси в них (прямая зависимость). Распределение и концентрация рассеянных элементов в породах в значительной мере связаны также с петрографическим составом

пород, источников сноса. В формах миграции элемента главным образом сказывается физико-географическая обстановка среды, а не особенности самих элементов (Н. М. Страхов, 1963).

На основе процентного содержания наиболее характерных малых элементов (Ba, Mp, Ti, V, Sr, Ni, Pb, Zr) составлены графики: 1) средних значений элементов в типах пород, 2) средних содержаний элементов для отдельных ярусов, 3) содержания элементов в сводном разрезе верхней юры.

Ni и Co—в составе известняков келловей-оксфорда и титона имеют значения выше кларковых. Так, в первом Ni—0,003, Co—0,0016, а во втором они соответственно равны—0,002 и 0,0018. Вместе с этим концентрация Ni и Co в карбонатных породах уменьшается по направлению предполагаемых течений водных масс бассейна с северо-запада на восток. Максимальное количество их отмечено в Мартунинском синклиории.

Эти элементы (Ni и Co) связаны с ультраосновными и основными породами и в осадочные отложения попадают в результате выветривания последних как в виде составляющих решетки минералов, так и частично в составе растворов. Кроме того, они способны давать коллоидные растворы, которые играют большую роль в их миграции. Очевидно, поэтому Ni и Co концентрируются в исследуемых породах, содержащих пелитовый материал. Так, в разрезе Сос в глинистых известняках значение Co—0,0022, тогда как в чистых известняках он обычно отсутствует (рис. 1). Наибольшая концентрация Ni (0,009) отмечена в разрезах Арачадзор и Даграв (Мартунинский синклиорий), где в составе известняков нередко присутствует терригенная примесь.

Повышенная концентрация Ni и Co в известняках, обогащенных терригенной примесью, свидетельствует об образовании этих элементов преимущественно путем механического выветривания. Низкие значения Ni и Co в кимериджском ярусе объясняются кислым и средним составом вулканогенных пород, слагающих основную часть этого яруса (Шихалибекли, 1963).

Ванадий в составе карбонатных образований верхней юры Восточной части Малого Кавказа отмечается редко. Известно, что он подвижен в щелочной среде (5) и, очевидно, поэтому в составе известняков без терригенной примеси обычно отсутствует. Наличие его в кремнистых известняках верхней юры связано с влиянием вулканизма и обусловлено геохимическим режимом бассейна (понижение щелочности, благоприятствующее окремнению, также способствует осаждению ванадия). Большую роль в накоплении играют, по-видимому, также и органические остатки, которые обычно содержат кремнистые известняки.

Ванадий часто входит в состав роговых обманок и пироксенов, присутствующих в известняках келловей-оксфордского времени.

В отложениях титона ванадий практически отсутствует. А в келловей-оксфорде приурочен к разрезам Арачадзор, Каракух, к песчанистым и кремнистым известнякам. В вулканогенных и вулканогенно-осадочных породах кимериджского яруса количество ванадия в среднем 0,047, что является сильно заниженным по сравнению с кларковым.

Это объясняется тем, что ванадий является характерным элементом основной, а не средней и кислой магмы, что наблюдается в толще кимериджского яруса.

Поведение Ba—Sr наряду с наличием общих черт различается в деталях. Ba ввиду своей малой миграционной способности быстро выбывает из растворов и осаждается в береговой полосе, а Sr выносится далеко в море. В отложениях кимериджского яруса барий при-

существует в количестве 0,032%. Отсутствие Ва в отложениях титона объясняется отсутствием его в источниках сноса.

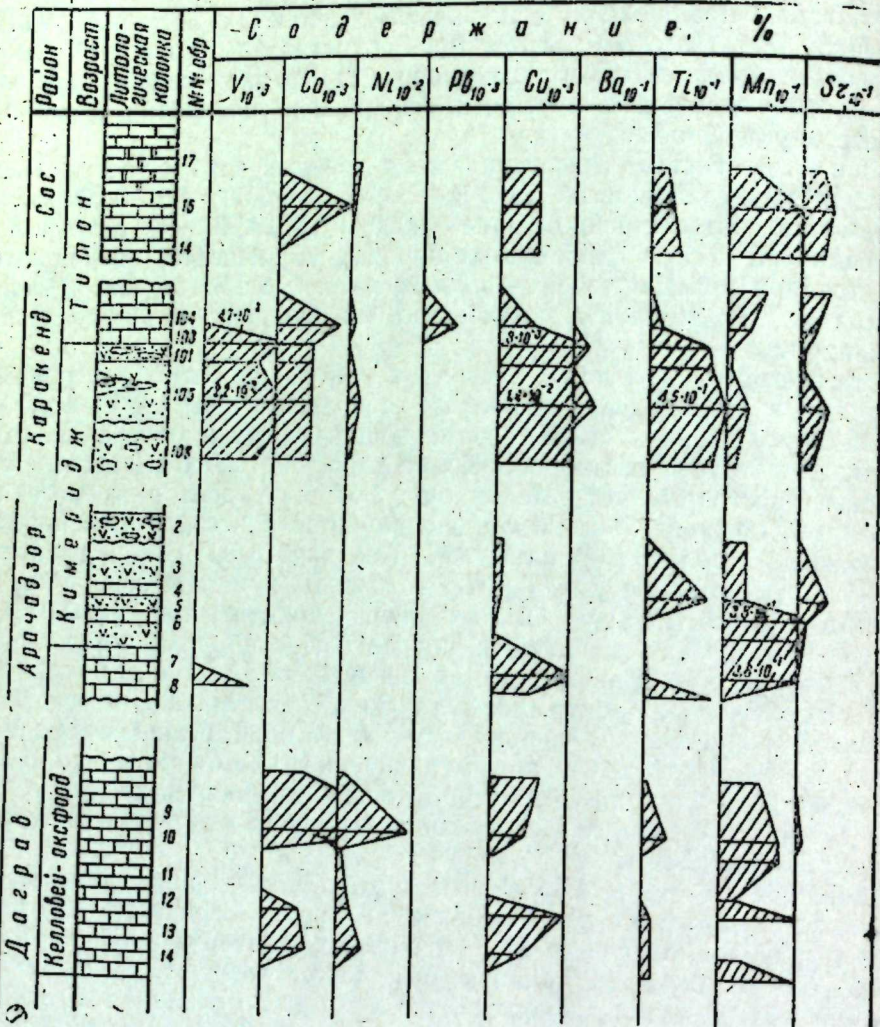


Рис. 1. Содержание элементов в сводном разрезе верхней юры.

Наибольшая концентрация стронция свойственна щелочным породам. В осадочных же образованиях Sr концентрируется в основном в кальциодержащих породах (доломито-ангидритах и известняках) благодаря близости ионных радиусов Sr и Ca. Кроме того, многие организмы аккумулируют стронций совместно с кальцием, который входит в состав их раковин и скелетных частей.

Концентрация этого элемента в известняках келловей-оксфордского яруса заниженная—0,039%. Соленость воды в бассейне, видимо, была несколько занижена в келловей-оксфордское время (по крайней мере, на отдельных участках), в силу чего осаждение стронция из растворов уменьшалось. Лишь в одном разрезе (Карачух) содержание Sr в известняках достигает 0,35%, что объясняется накоплением его в составе терригенной примеси или биогенным путем. Концентрация стронция в вулканогенных и осадочно-вулканогенных образованиях киммериджа кларковое. В титоне море имело черты осолонения, в силу

чего наряду с известняками осаждались доломиты. Здесь концентрация Sr—0,042% (рис. 2).

Титан широко распространен в осадочных породах и часто наблюдаются значительные скопления его. Минералы этого элемента не связаны с водой и не растворяются в ней (А. П. Виноградов), следовательно, химическое осаждение его из воды исключается. Титан образует самостоятельные минералы (рутит, титанит, ильменит и др.), а также входит в решетку многих минералов.

В породах верхней юры описываемой области содержание титана имеет заниженные значения. Так, в келловей-оксфорде—0,06%, в титоне—

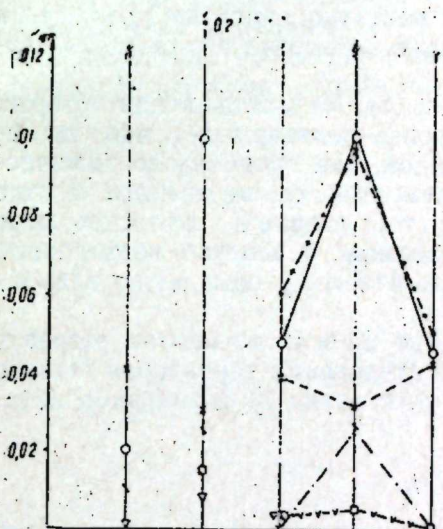


Рис. 2. Распределение элементов в породах различных ярусов и сопоставление их с кларками (по Виноградову).

1—кларки для известняков; 2—чистые известняки; 3—песчанистые известняки; 4—глинистые известняки; 5—окремелевые известняки; 6—доломитистые известняки; 7—доломиты; 8—кларки для изверженных; 9—порфиры; 10—туфопесчаники.

0,027%, а в породах киммериджского яруса—0,093%. Заниженные значения (0,027) титана в известняках титонского яруса по сравнению с таковыми келловей-оксфордского яруса объясняется отсутствием терригенной примеси в этих отложениях.

Малая концентрация титана вообще в известняках верхнеюрского

времени описываемой области объясняется малым количеством продуктов механической денудации в составе пород.

Марганец в осадочных породах характеризуется высоким содержанием. Он изоморфно входит в решетку кальцита и доломита, благодаря чему концентрация его доходит до 1%. Часто высокие концентрации марганца связаны с доломитизацией. Так, в титонском ярусе выше кларковые значения Mn (разрез Сос), в среднем 0,165%, свойственны участкам разреза, обогащенным доломитовыми прослоями (рис. 1). Марганец из всех элементов семейства железа отличается повышенной миграционной способностью.

45

Pb в породах верхней юры встречается очень редко, отмечен в песчаных известняках и в вулканогенных образованиях.

Цирконий распространен почти во всех породах верхней юры особого корреляционного и палеогеографического значения не имеет.

Хром отмечен в разрезах прибрежной зоны. Как известно, в шестивалентной форме (FeCr_2O_4) хромит легко осаждается в зоне смешения морских и пресных вод (6). Малое значение Cr в известняках титона также (как и отсутствие Ba) объясняется значительной удаленностью основных разрезов от источников сноса.

Вышеуказанное дает возможность сделать следующие выводы.

1. Обогащенность карбонатных пород келловей-оксфордского яруса такими элементами как V, Cr, Ni, Pb, Cu, Fe объясняется присутствием в них терригенной примеси и влиянием вулканической деятельности. Здесь Ni, Cr, Co целиком, а Fe и Mn частично являются продуктами механического выветривания и поступали в бассейн в составе кластеров.

2. Породы титона богаты элементами (Sr, Mn), соединения которых растворимы в воде. Это с одной стороны, подтверждает, что титонская суша была низкой и нерасчлененной, где преобладало химическое выветривание, когда перенос элементов осуществлялся в виде истинных растворов и каллоидов, с другой стороны, титонское море было мелководным и хорошо прогреваемым, с заметно повышенной соленостью вод, что способствовало химическому осаждению элементов из истинных растворов и коллоидов.

3. Отсутствие и очень низкое значение Ba и Cr во многих разрезах свидетельствует, что основная часть исследований территории Малого Кавказа находилась на значительном расстоянии от источников питания терригенным материалом.

ЛИТЕРАТУРА

1. Вернадский В. И. Избранные сочинения, т. I, II. „Изв. АН СССР“. 1962.
2. Виноградов В. П. Геохимия редких и рассеянных химических элементов в почвах. Изд. АН. СССР, 1950.
3. Катченков С. М. Спектральный анализ горных пород. Изд. „Недра“, Ленинград, отделение, 1964.
4. Острогумов Э. А., Силина О. М. О некоторых закономерностях распределения ванадия в современных и морских отложениях. „ДАН СССР“ 1952, т. I, XXXVI.
5. Пашалы Н. В. Распределение малых элементов в четвертичных отложениях Азербайджана. Литология и условия образования четвертичных отложений западного Азербайджана. Отчет за 1962–1964 гг.
6. Страхов Н. М. Типы литогенеза и их эволюция в истории земли. М., 1963.

Институт геологии

Поступило 7. IX 1967

Э. Ч. Султанов, Е. Н. Эфандиева

Кичик Гафгазын чәнуб-шәрг һиссәсинин Уст Жура јашлы чекүнүләриндә элементләрин кеокимјәви хүсусијәтләри һаггында

ХУЛАСӘ

Тәдигат апарылан саһәләрин кеоложи гурулушунда мезокаjnозојун вулканокен, вулканокен-чекүнү вә чекүнү сухурларынын мүрәккәб комплекси иштирак едир.

Ағдам, Гараабағ антиклиниориләриндә вә Мартуни синклиниорисинде интишар тапмыш Уст Жура чекүнүләри әсасән карбонатлы, вулканокен вә вулканокен-чекүнү сухурларындан ибарәттir. Бу вә ја дикәр кимјәви элемент конкрет дағ сухурлары илә әлагәдардыр. Онларын

яјылмасы вә нисби мигдары элементләрин кеокимјәви мүтәһәррикли-жиндән асылыдыр. Бүтүн бу ганунаујгулуглар коррелясија вә районун палеочеографијасыны ајдынлашдырмаг мәгсәдилә тәдигиг едилмишdir.

Кеокимјәви анализ нәтиҗесинде ајдын олмуштур ки, келловей-оксфорд јашлы карбонат сухурлар V, Cr, Ni, Pb, Cu, Fe кими элементләрлә зәнкендир. Бурада V, Cr, Co, Pb, Cu бүтүнлүкә, Fe вә Mn исә әсасән механики ашынманын мәһсулу олуб, һөвзәјә кластокенләрләри суда јаҳши һәлл олан элементләр (Sr Mn) яјылмышдыр ки, бу да бир тәрәфдән әһата едән гурунун алчаг дүзәнлик олмасыны вә гурууда кимјәви ашынманын башлычалығыны көстәрир, дикәр тәрәфдән исә Титон дәнисинин дајазлығыны сүбут едир.

Уст Жура кәсилишләринин әксәријәтindә Ba вә Cr элементләринин олмамасы вә ја онларын чүз'и мигдары Кичик Гафгазын тәдигиг олуван һиссәсинин бу дөврдә ашынма мәнбәләриндән әсасән хејли узагда јерләшдијини күман етмәјә имкан верир.

ГЕОХИМИЯ

М. А. КАШКАЙ, С. М. ГАДЖИЕВ

„АЗЕРБАЙДЖАНСКАЯ НАФТУСЯ“ И СРАВНЕНИЕ ЕЕ
С „НАФТУСЯ“ ТРУСКОВЦОВ В УКРАИНСКОЙ ССР

Азербайджанская часть северо-восточного склона Большого Кавказа в гидрогеологическом и гидрохимическом отношении была относительно слабо изучена. Умеренный климат во все времена года, живописный ландшафт горных районов и их предгорий в сочетании с наличием минеральных источников с ценным химическим составом их вод являются благоприятными факторами для строительства горно-климатических станций и лечебных учреждений.

На основании гидрохимических исследований основных групп источников рассматриваемой территории авторы выделили несколько химических типов минеральных вод, приуроченных к определенным структурным зонам*. Из них наибольший интерес представляют воды, близкие по химическому составу и физическим свойствам к всемирно известной минеральной воде „нафтуся“ Трусковцов в предгорьях Карпат Украинской ССР.

Несмотря на то, что еще в полной мере не выяснено, какие из ингредиентов воды „нафтуся“ обладают столь цennыми лечебными свойствами, все же установление аналогичного типа воды на территории Азербайджана должно представлять научный и практический интерес.

Настоящее сообщение пока носит предварительный характер и преследует цель уточнить гидрохимическую однородность вод в весьма сходной природной обстановке.

Как известно, большинство исследователей рассматривает природную воду типа „нафтуся“ как специфическую грунтовую, пресную, слабоминерализованную, содержащую органическое вещество нефтяного характера и небольшое количество сероводорода.

„Азербайджанская нафтуся“ находится в аналогическом перспективно-нефтегеносном районе как „нафтуся“ Трусковцов и минеральный состав формируется в подобных геолого-гидрохимических условиях.

1. Источник Калаалты¹ расположен в 17 км к юго-западу от гор. Ди-

вичи у подножья горы Чирах на лесистом склоне, на высоте около 400 м над ур. моря.

2. Источник Тенгиалты находится в 400 м к западу от сел. Тенгиалты в живописном Тенгинском ущелье.

Обе эти местности характеризуются умеренно теплым и влажным климатом. Среднемесячная температура воздуха в июле и августе варьирует в интервале 20—25°C.

Эти источники пытаются исключительно водами четвертичных и отчасти подстилающих третичных и меловых отложений. Воды их в основном приурочены к верхней промытой зоне осадочных отложений, которые содержат органические вещества. Они формируются в области распространения битуминозных отложений путем выщелачивания из последних ингредиентов воды пресными и инфильтрационными водами.

По химическому составу эти воды являются гидрокарбонатно-кальциевыми (Калаалты) и гидрокарбонатно-кальциево-магниевыми (Тенгиалты) с малым содержанием сероводорода, почти нейтральные (рН-7,1 и 7,2, табл. 1). В соседних районах имеются минеральные воды гидрокарбонатно-натриевого или гидрокарбонатно-сульфатно-натриевого и других типов.

Таблица 1

Химические анализы вод типа „нафтуся“

Источники дебит, л/сут	Северо-восточный склон Большого Кавказа в пределах Азербайджана						Трусковцы в Украинской ССР		
	Калаалты			Тенгиалты			„Нафтуся“		
	16 8000	827	12°	12°	7,1	7,0	60 000	12°	7,0
	7,2	7,1	август 1967	Август 1967			не опр.	3,53	38,7
Время отбора пробы									
Содержание в 1 литре	мг	мг-экв	экв. %	мг	мг-экв	экв. %	мг	мг-экв	экв. %
Катионы									
Na ⁺	19,6	0,85	9,7	27,4	1,22	12,01	14,8	0,64	7,0
K ⁺	2,5	0,06	0,8	1,8	0,05	0,5	—	—	—
Mg ²⁺	12,4	1,03	11,9	27,9	2,32	22,83	43	3,53	38,7
Ca ²⁺	134,8	6,79	77,64	131,5	6,57	64,66	99	4,94	54,3
Сумма	8,68	100		10,16	100		9,11	100	
Анионы									
Cl ⁻	9,2	0,26	2,99	3,5	0,10	0,98	21,3	0,6	6,58
SO ₄ ²⁻	29,6	0,62	7,13	51,0	1,06	10,43	37,5	0,72	7
HCO ₃ ⁻	475,8	7,80	89,88	549,0	9,00	88,59	475,8	7,79	85,8
Сумма	8,68	100		10,16	100		9,11	100	
H ₂ SiO ₃		13,7			15,2			10	
H ₂ BO ₂		0,4			0,7			2	
Раствор H ₂ S		2,7			6,4			2,0	
Общая минерализация		0,4470			0,5176			0,6818	
Формула Курлова . . .	M _{0,44}	77Ca12Mg	89HCO ₃	M _{0,51}	88HCO ₃	64Ca23Mg	M _{0,69}	85HCO ₃	54Ca38Mg

Окислительно-восстановительный потенциал $Eh = -6$ мв для Калаалты и $Eh = -11$ мв — для Тенгиалты.

* Кашкай. Минеральные источники Азербайджана. Изд. АН Азерб. ССР, 1952.
1 Общие сведения об источнике типа „нафтуся“ в Калаалты и его нахождении сообщались в газете „Вышка“ (19. XI 1967 г.) А. А. Кадыровым (Ин-т курортолог. и физич. методов лечения им. С. М. Кирова).

Пробы воды „Азербайджанская нафтуся“, отобранные авторами, анализировались в лабораториях Института геологии Академии наук Азербайджанской ССР и в Москве во ВСЕГИИНГЕО и ВНИИГАЗ.

Как видно из результатов этих анализов (табл. 1), по основным гидрогеохимическим показателям воды источников Калаалты и Тенгигалты вполне идентичны с водой типа „нафтуся“ Трусковцов. Воды этих двух источников слабо минерализованные—0,44 и 0,51 г/л, а в „нафтуся“ Трусковцов—0,69 г/л. Во всех трех водах гидрокарбонатный анион (HCO_3^-) соответственно равен 85, 89 и 88%; также характеризуются катионы, причем кальций преобладает над магнием.

Согласно табл. 2, в водах Калаалты и Тенгигалты установлен комплекс органических соединений нефтяного типа: органический углерод и растворенные органические кислоты, что отличает „нафтуся“ от других минеральных вод. В пробах „Азербайджанская нафтуся“ определены проценты фенолов и группового состава от общей доли люминесцирующих веществ; в частности, нейтральных смол в водах Калаалты—15% и Тенгигалты—28%, кислых смол соответственно—15 и 12% и спиртовых смол: нейтральных—23 и 12%, а кислых—47 и 48%.

В химических анализах этих вод, кроме доминирующих ингредиентов— HCO_3^- , Ca и Mg , установлены в малых количествах Na , K , Cl , SO_4^{2-} (табл. 1).

В газовом составе вод преобладают азот и углекислота, в небольшом содержании присутствуют сероводород, метан, кислород, гелий и аргон. Наличие азота и соответствующего количества аргона в водах следует считать воздушного происхождения, что видно из соотношения $\frac{\text{Ar}}{\text{N}} = 0,0234$.

Как известно, в атмосфере отношение аргона к азоту равно 0,0118, а в газах, сопровождающих исследованные авторами воды, оно несколько больше. Такое отклонение от нормального отношения ($\text{Ar} : \text{N}$) обусловливается различной степенью растворимостью азота и аргона воздушного происхождения в минеральных водах. Благодаря этому, в зависимости от солевого состава последних, это отношение меняется, находясь часто по многим исследованиям около 0,235, чему и отвечают результаты исследований авторов ($\frac{\text{Ar}}{\text{N}} = 0,0234$).

В микробиологических процессах немалая роль принадлежит различным физиологическим группам, в частности сульфатредуцирующим бактериям, которых как в водах Калаалты и Тенгигалты, так и в „нафтуся“ Трусковцов мало. Эти бактерии имеют активную десульфуриющую роль, что обусловило восстановление ими сульфатов до сероводорода в рассматриваемых водах.

Основным фактором, определяющим развитие сульфатредуцирующих бактерий и восстановление ими сульфатов до сероводорода являются растворенные в водах органические вещества, которые вымываются из вмещающих пород нефтяного типа. Накопление малых количеств сероводорода свидетельствует о неинтенсивности процесса сульфатредукции в исследуемых водах. В обеих водах „Азербайджанская нафтуся“ определены денитрифицирующие микроорганизмы и во всех трех—железобактерии.

Наблюдается определенный антагонизм между минерализацией и бактериальным содержанием вод, а именно—малые содержания установленных микроорганизмов характеризуют слабоминерализованные воды, генетически связанные с нефтяными водами грунтового инфильтрационного типа.

Количественно-спектральным методом в водах Калаалты и Тенгигалты установлен ряд элементов в малых количествах (табл. 2): Fe , Mn , Zn , Cu . Наряду с ними так же, как в „нафтуся“ Трусковцов, стронций Sr имеет повышенную концентрацию и считается биологически весьма активным.

Резюмируя вышесказанное, можно прийти к выводу, что по основному ионному составу и общей минерализации, по характеру органических веществ, микрокомпонентному и газовому составам, микробиологическим признакам, а также по сходным природным условиям, воды источников Калаалты и Тенгигалты являются аналогами воды типа „нафтуся“.

В заключение отметим, что вода „нафтуся“ Трусковцов Украинской ССР характеризуется своеобразными ценными лечебными свойствами. Она обладает резко выраженным диуретическим эффектом и способствует выведению продуктов обмена веществ („камней“) из организма. Следует полагать, что аналогичная по физико-химическим свойствам „Азербайджанская нафтуся“ должна иметь такие же лечебные свойства. Поэтому авторы

Таблица 2

Источники	Микроэлементы, мг/л						
	Fe	Mn	Cu	Sr	Zn	hP	hE
Калаалты (Азербайджанская ССР)	0,02	0,049	0,85	4,2	0,2	7,2	-6MB
Тенгигалты (Азербайджанская ССР)	0,049	0,06	0,31	3,2	0,3	7,1	-11MB
Нафтуся* (Трусковцы, Украина ССР)	2,0%	0,02%	0,001	От 0,2 до 1%	0,6	7,0	—

Пробы воды „Азербайджанская нафтуся“, отобранные авторами, анализировались в лабораториях Института геологии Академии наук Азербайджанской ССР и в Москве во ВСЕГИНГЕО и ВНИИГАЗ.

Как видно из результатов этих анализов (табл. 1), по основным гидрогеохимическим показателям воды источников Калаалты и Тенгигалты вполне идентичны с водой типа „нафтуся“ Трусковцов. Воды этих двух источников слабо минерализованные—0,44 и 0,51 г/л, а в „нафтуся“ Трусковцов—0,69 г/л. Во всех трех водах гидрокарбонатный анион (HCO_3^-) соответственно равен 85, 89 и 88%; также характеризуются катионы, причем кальций преобладает над магнием.

Согласно табл. 2, в водах Калаалты и Тенгигалты установлен комплекс органических соединений нефтяного типа: органический углерод и растворенные органические кислоты, что отличает „нафтуся“ от других минеральных вод. В пробах „Азербайджанская нафтуся“ определены проценты фенолов и группового состава от общей доли люминесцирующих веществ; в частности, нейтральных смол в водах Калаалты—15% и Тенгигалты—28%, кислых смол соответственно—15 и 12% и спиртовых смол нейтральных—23 и 12%, а кислых—47 и 48%.

В ходе

Количественно-спектральным методом в водах Калаалты и Тенгигалты установлен ряд элементов в малых количествах (табл. 2): Fe, Mn, Zn, Cu. Наряду с ними так же, как в „нафтуся“ Трусковцов, стронций Sr имеет повышенную концентрацию и считается биологически весьма активным.

Резюмируя вышесказанное, можно прийти к выводу, что по основному ионному составу и общей минерализации, по характеру органических веществ, микрокомпонентному и газовому составам, microbiологическим признакам, а также по сходным природным условиям, воды источников Калаалты и Тенгигалты являются аналогами воды типа „нафтуся“.

В заключение отметим, что вода „нафтуся“ Трусковцов Украинской ССР характеризуется своеобразными ценными лечебными свойствами. Она обладает резко выраженным диуретическим эффектом и способствует выведению продуктов обмена веществ („камней“) из организма. Следует полагать, что аналогичная по физико-химическим свойствам „Азербайджанская нафтуся“ должна иметь такие же лечебные свойства. Поэтому авторы выражают уверенность, что Институт физиологии Академии наук Азербайджанской ССР, научно-исследовательские учреждения и вузы Министерства здравоохранения Азербайджанской ССР и союзных республик вплотную займутся исследованием свойств этих ценных лечебных вод.

Институт геологии

Поступило 30. VII. 1968

М. Э. Гашгай, С. М. Начиев

„Азэрбајҹан нафтусјасы“ вә онун Украјна ССР-дәки
Трускавес „нафтусјасы“ илә мүгајисәси

ХУЛАСЭ

„Азэрбајҹан нафтусјасы“ Карпат сыра дағлары этажиндәки Трускавес „нафтусјасына охшајыр вә нефти рајонда Јерләшир. Һәр ики сујун минерал тәркиби ејни қеоложи-һидрокеокимјәви шәрантда әмәлә қәлир. „Нафтусја“ типли сулар Дәвәчи рајонундакы Галаалты минерал су булағында вә Тәнки дәрәсендәки Тәнкиалты булағында интишәф етмишләр.

Бу сулар кимјәви тәркибинә көрә һидрокарбонатлы-кальциумлу (Галаалты) вә һидрокарбонатлы-кальциумлу-магнезиумлу (Тәнкиалты) олуб, тәркибләрindә az мигдарда һидрокен-суlfид газы сахлајыр. Тәдгиг едилмиш сулар демәк олар ки, нејтралдыр (pH -7,1 вә 7,2). Бу суларда az мигдарда Na^+ , K^+ , Cl^- , SO_4^{2-} ионлары да мүәjjән едилмишdir. Спектрал методла һәмин суларда ашағыдағы микроэлементләр ашкар едилмишdir: Si, Mn, Fe, Cu, Zn. Бунунда յанашы, һәмин суларда Трускавес „нафтусјасында олдуғу кими стронсиум (Sr) бөйүк мигдардадыр. Һәмин сулар үчүн нефтмәншәли үзви маддәләр характеристидir.

Бу суларын тәркибиндә азот вә карбон газлары үстүнлүк тәшкіл едир; az мигдарда исә метан, һидрокен-суlfид окисилен, нелиум вә аргон мүәjjән олунмушдур.

Бесеке-тәжірибелескенттер

Наблюдается определенный antagonism между минерализацией и бактериальным содержанием вод, а именно—малые содержания установленных микроорганизмов характеризуют слабоминерализованные воды, генетически связанные с нефтяными водами грунтового инфильтрационного типа.

ГЕОЛОГИЯ НЕФТИ

В. З. СИМХАЕВ, С. С. САМЕДОВ

О ГИДРОГЕОЛОГИЧЕСКИХ КРИТЕРИЯХ ПОИСКОВ НЕФТИНЫХ,
ГАЗОВЫХ И ГАЗОКОНДЕНСАТНЫХ МЕСТОРОЖДЕНИЙ
В УСЛОВИЯХ СЕВЕРНОГО ДАГЕСТАНА

(Представлено академиком АН Азербайджанской ССР А. А. Якубовым)

Работы В. И. Вернадского, В. А. Сулина, К. Л. Молярова, В. П. Савченко, Ф. А. Макаренко, Н. К. Игнатовича, М. А. Гатальского, Л. А. Гуляевой, Е. А. Барс, В. А. Кротовой, Г. М. Сухарева, А. А. Карцева и др. на современном этапе развития нефтиной гидрогеологии позволили выделить прямые и косвенные гидрогеологические критерии нефтегазоносности [1], которые в той или иной степени проявляются на исследуемых территориях в зависимости от их геотектоники. В условиях Северного Дагестана выявляются как прямые, так и косвенные гидрогеологические критерии нефтеносности, которые будут рассмотрены нами далее.

За последние годы, в связи с открытием газовых и газоконденсатных залежей на больших глубинах, определенное значение стали придавать термодинамическим параметрам и исследованию их природы.

В условиях высоких температур и давлений особый смысл приобретает изучение физико-химических условий формирования зональности и его интерпретации. В Северном Дагестане, как мы увидим дальше, миграция, аккумуляция и дифференциация углеводородов и их залежей носила специфический, сложный термодинамический характер. Попытаемся установить критерии для поисков и разведки подобных залежей.

Известно, что одним из основных критериев возможного наличия нефтегазовых залежей, наряду с другими является гидродинамическая обстановка района исследований, а именно — застойный режим водоносной системы, который как раз имеет место в пределах северодагестанской равнины. Он подтверждается генетическим типом вод (хлоркальциевого типа) продуктивного разреза коэффициентом

$\frac{Na}{Cl} = 0,74 - 0,94$. Вместе с тем содержание бора, брома и пониженное значение хлорбромного коэффициента (198—270), присутствие незначительного количества сульфатов, а также наличие в водах

растворенного углеводородного газа служат показателями нефтегазоносности.

Северодагестанские месторождения сформировались и находятся в сложных термодинамических (физико-химических) условиях. Исследования показали, что в условиях высоких температур возможно опреснение рассолов, или вернее, разбавление рассолов за счет происходящего испарения и конденсации глубокозалегающих вод. Подобный процесс происходит в пределах Бажиганской группы месторождений, где в отложениях нижнего мела и юры были обнаружены газовые и газоконденсатные залежи. Механизм формирования такой гидрохимической зональности заключается в том, что при высоких температурах вода в юрских отложениях частично находилась в парообразном состоянии и, мигрировав в нижнемеловые отложения, она конденсировалась. Последнее и привело к разбавлению нижнемеловых рассолов, уменьшив минерализацию пластовых вод 1,5—2 раза. Поэтому появление в мезозойских коллекторах Северного Дагестана "слабоминерализованных" вод относительно фоновых, может служить гидрохимическим критерием присутствия газовых или газоконденсатных залежей, при наличии ловушек. Примером могут служить газовые и газоконденсатные залежи площадей Степное, Солончаковое, Равнинное.

В условиях молодых платформ наряду с гидрохимическими имеются и гидродинамические критерии поисков нефтегазовых залежей.

Анализируя большое количество замеров пластовых давлений продуктивной части разреза локальных поднятий Сухокумской и Бажиганской групп, удалось установить наличие аномальных пластовых давлений. Как показали исследования, величина избыточных давлений варьирует от 5 до 50 ат (на контуре нефтегазовых залежей $\Delta P = 0 - 5 \text{ ат}$). Построенные графические зависимости $P - H$, $\Delta P - H$ [2] позволили выявить генетическую сущность, или иначе говоря, природу аномальных давлений. Оказывается, главным источником проявления избыточных давлений служат упругие силы газовой фазы, а следовательно степень сжатия флюида. Влияние упругоемкости газовой фазы подтверждается и гидрогеологическими профилями по отдельным локальным поднятиям. Там, где в пласте отмечается проявление большого количества газовой фазы, избыточные давления достигают максимальной величины [3, 4]. В нефтяной части залежи избыточные давления несколько меньше, чем в газовой, а уже в контурной зоне они доходят до 0. Эта закономерная связь подтверждает генетическую связь избыточных давлений с углеводородными залежами. Обычно, в газовых и газоконденсатных залежах максимальна ΔP .

По мере приближения бурящихся скважин к нефтяным и газовым залежкам наблюдается появление $P_{изб}$. Используя этот критерий, а именно появление $P_{изб}$, можно выявить новые залежи. Так например, при анализе давлений южносухокумского месторождения отмечалась некоторая аномалия пластового давления в юго-восточной части северо-восточного купола. Дальнейшее разбуривание площади к юго-востоку от северо-восточного купола привело в положительному результату — было открыто Мартовское месторождение.

Гидродинамический принцип поисков нефтегазовых залежей имеет под собой прочную теоретическую основу и в дальнейшем может быть успешно использован в поисково-разведочных работах на нефть и газ в Северном Дагестане.

Резюмируя все вышеизложенное, можно сказать, что появление слабоминерализованных вод (аномальных для данного района в пределах Северодагестанской равнины) будет указывать на наличие газо-

вых и газоконденсатных залежей, а наличие избыточных давлений может служить дополнительным контролирующим фактором поискового значения. Указанное и является основными гидрогеологическими критериями, на которые следует обратить внимание геологов-разведчиков нефтегазовых залежей в Северном Дагестане.

ЛИТЕРАТУРА

1. Кротова В. А. Гидрогеологические критерии нефтеносности. Гостоптехиздат, 1960.
2. Симхадзе В. З. Зависимость избыточных пластовых давлений от соотношения фаз в залежах нефти и газа. Прикумской зоны Дагестана. Труды ИГ, вып. 6. Махачкала, 1956.
3. Самедов С. С., Симхадзе В. З. Гидродинамический режим мезозойских отложений Прикумской зоны. Уч. зап. АГУ, серия геол-геогр., № 4, 1966.
4. Симхадзе В. З. ДАН Азерб. ССР. № 2, 1966.

Поступило 31. 1 1968

Институт геологии

В. З. Симхадзе, С. С. Самедов

Шимали Дағыстан шәрәитиндә нефт, газ вә газ конденсаты жатагларының ахтарылмасында һидрокеология критеријалар

ХУЛАСӘ

Шимали Дағыстан эразисинде јүксәк температур вә тәэзиг шәрәитиндә нефт вә газлылығын әсас критеријалары „зәиф минераллашыш“ сular (бу рајон учун үмуми фон нисбәтән аномал) вә артыг тәэзигдир.

АЗӘРБАЙЧАН ССР ЕЛМЛӘР АКАДЕМИЯСЫНЫН МӘРҮЗӘЛӘРИ

ДОКЛАДЫ АКАДЕМИИ НАУК АЗЕРБАЙДЖАНСКОЙ ССР

ТОМ XXV

№ 4

1969

ГЕОЛОГИЯ

А. А. АЛИЕВ, Ж. Н. ТЕР-КАРАПЕТЯНЦ, С. Ф. ШАБАНОВ

О ГЕОТЕРМИИ МЕСТОРОЖДЕНИЯ КЮРОВДАГ

(Представлено академиком АН Азербайджанской ССР Ш. Ф. Мехтиевым)

Месторождение Кюровдаг (Прикуринская нефтегазоносная область) приурочено к асимметричной складке, протянутой в ЮЮЗ—ССВ направлении; на северной переклинали, меняющей свое направление на субмеридиональное. Вдоль оси складки проходят 2 почти параллельных крупных нарушения, делящие антиклиналь на северо-восточное и юго-западное крылья. Последнее более полно вовлечено в разработку и делится рядом нарушений на отдельные тектонические поля: северное, центральное, присводовое и южное.

Геотермии, и в частности определению величины геотермической ступени (G) месторождения Кюровдаг, посвящены всего 2 работы [3, 6]. Однако в этих статьях нет единого мнения о величине G для рассматриваемой площади. В работе [6] эта величина на основании обработки проведены силами промыслов 122 замеров температуры в эксплуатационных скважинах, расположенных по всей структуре, принята равной $56,6 \text{ м}^{\circ}\text{C}$ для глубин до 2500 м . Следует отметить, что обработка фактического материала проводилась по методу нахождения средней арифметической.

В более поздней работе [3] для такого же предела глубина G принятая равной $47,3 \text{ м}^{\circ}\text{C}$, т. е. значительно отличается от G , найденной в работе [6]. Интересно выявить причину такого большого расхождения и установить, какое из этих двух значений G более близко к действительности для данного месторождения. С этой целью мы использовали приведенные нами в 1961—1964 гг. поинтервальные замеры температуры в 11 долгопротяжащих скважинах, расположенных в разных частях структуры (рис. 1), заимствованной из литературы [1].

Измерения производились максимальным ртутным термометром ТП-7, спускаемым в камере глубинного манометра.

Результаты замеров приведены в таблице. Как видно из таблицы, в скважинах 211 и 214, расположенных в южном поле, температура значительно выше, чем на таких же глубинах в других скважинах. Это, вероятно, объясняется более высокой теплопроводностью пород, подстилающих эксплуатируемую залежь на южном поле, по сравнению с аналогичным параметром пластов, находящихся под этой залежью.

№ скв.	Дата		Глубина замера, м	Температура, °C	Фильтр, м	№ скв.	Дата		Глубина замера, м	Температура, °C	Фильтр, м
	начало простоя	замера					начало замера	замера			
110	II—1959	IV—1961	300 600 1000 1500	21,7 27,0 34,0 42,5	1977—1973	200	I—1964	VII—1964	1500 2000 2500	41,2 50,2 59,2	2952—2871
57	I—1959	IV—1961	600 800 1000 1200 1500 1700 1900	27,0 30,5 33,5 36,5 41,5 45,8 49,0	2592—2577	263	II—1964	VI—1964	1500 2000 2500 2925	43,3 49,5 59,5 64,3	2954—2942
182	VI—1958	IV—1961	400 600 800 1200	24,3 27,5 30,5 37,0	2095—1918	117 214	VI—1963 VII—1963	VIII—1964 VIII—1964	2700 1000 1360 2000 2250	63,0 34,6 43,0 54,0 57,7	2735—2661 2341—2147
90	X—1963	VII—1964	1000	35,5	3091—3032	211	XII—1963	VIII—1964	1000 1500 2000	35,0 44,3 54,0	2384—2369
399	VI—1963	VII—1964	1000	33,5	1021—1015	250	I—1964	VIII—1964	2500 2925	60,0 64,3	2975—2920

на остальной части структуры. Поэтому осредненные кривые зависимости температуры от глубины построены нами отдельно для южного поля и для остальной части структуры (кривые 2 и 1 соответственно). Вычисленные по этим кривым средние значения G оказались: для южного поля $54,5 \text{ м/}^{\circ}\text{C}$ (в интервале 1000—2250 м), а для остальной части структуру $61,3 \text{ м/}^{\circ}\text{C}$ при глубинах от 300 до 2925 м.

Следует отметить, что несмотря на использование в статье [6] замеров температуры, сделанных в некоторых случаях в точках, расположенных выше фильтра, результат оказался привильным, ввиду большого числа наблюдений, а также благодаря обработке результатов измерений методами математической статистики. Так как в работе [6] среднее значение $G = 56,5 \text{ м/}^{\circ}\text{C}$ выведено для всей площади, то, сопоставляя эту величину с найденными нами значениями $G = 54,5 \text{ м/}^{\circ}\text{C}$ и $G = 61,3 \text{ м/}^{\circ}\text{C}$, для южного поля и остальной части структуры соответственно, видим, что она находится в указанных пределах. Что же касается работы [3], то ее авторы допустили методическую ошибку, использовав для определения величины G замеры температуры в точках, расположенных выше фильтра (рис. 2, кривая 3), как оказалось в результате нашего детального ознакомления с промысловой документацией, на расстоянии 50—200 м. При этом скважины простояли перед измерениями только 5—6 суток и число замеров было небольшим—всего 22 точки. Естественно ожидать в этих точках завышенную температуру, так как жидкость в местах замеров не успела на несколько суток охладиться до истинной температуры пород за данной глубине.

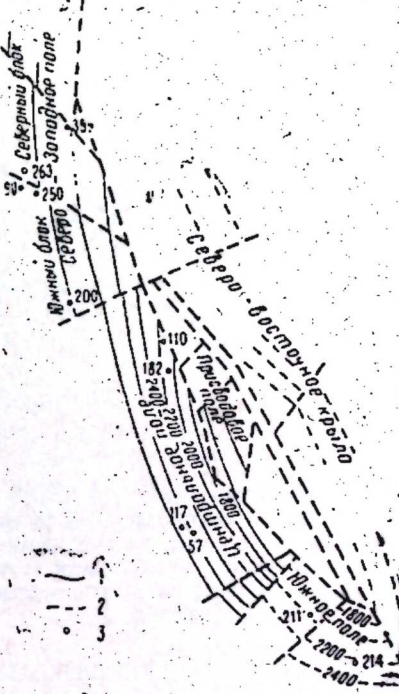
Заниженное значение G в работе [3] объясняется также и тем, что в последней допущена еще одна методическая погрешность—в ней вычисления велись по формуле

$$G = \frac{H}{t - t_1},$$

где:
 H —глубина замера, м;
 t —температура на глубине измерения, $^{\circ}\text{C}$;
 t_1 —среднегодовая температура воздуха, равная для данного района 15°C .

Правильнее же расчет вести по формуле:

$$G = \frac{H - h_u}{t - t_u},$$



где: H , t —означают то же самое и в тех же единицах измерения, h , t_n —глубина и температура нейтрального слоя, соответственно в м и $^{\circ}\text{C}$.

Ввиду отсутствия данных о глубине и температуре нейтрального слоя для этой площади можно воспользоваться графически экстраполированной температурой поверхности, по имеющейся фактической кривой, подобно тому как это сделано в работе [2].

Экстраполированная температура поверхности в нашем случае для всех полей, кроме южного, как видно из кривой 1 рис. 2, равна $17,5^{\circ}\text{C}$, а авторы работы [3], используя при вычислении значение температуры, равное 15°C , увеличили таким образом знаменатель на $2,5^{\circ}\text{C}$.

Итак, в статье [3] в упомянутой формуле знаменатель увеличился за счет завышения измерений температуры и занижения температуры поверхности, поэтому значения G получились меньше действительных. Следует отметить, что пренебрежение величиной h_n не вносит существенной относительно H .

Представляет интерес указать, что в результате специального исследования [5], температура нейтрального слоя для Апшеронского полуострова оказалась равной $16,5^{\circ}\text{C}$, т. е. на $2-3^{\circ}\text{C}$ выше, чем среднегодовая температура воздуха этого района. Поскольку площадь Кюровдаг находится недалеко от Апшеронского полуострова (около 130 км), аналогичное явление будет иметь место и для нее.

На основании всего изложенного можно сделать следующие выводы.

- Средняя величина G южного поля западной складки месторождения Кюровдаг при глубинах до 2250 м (в интервале 1000–2250 м) равна $54,5 \text{ м}/^{\circ}\text{C}$, а по остальной части структура (при глубинах от 300 до 2925 м) равна $61,3 \text{ м}/^{\circ}\text{C}$.

- При вычислении G недопустимо пользоваться среднегодовой температурой воздуха, а нужно брать температуру нейтрального слоя или же экстраполированную температуру поверхности.

- Для определения значения G нельзя пользоваться замерами температуры, произведенными в точках, расположенных выше верхних отверстий фильтра, за исключением тех случаев, когда обработка замеров ведется методами математической статистики или когда замеры произведены в долгопротекающих скважинах.

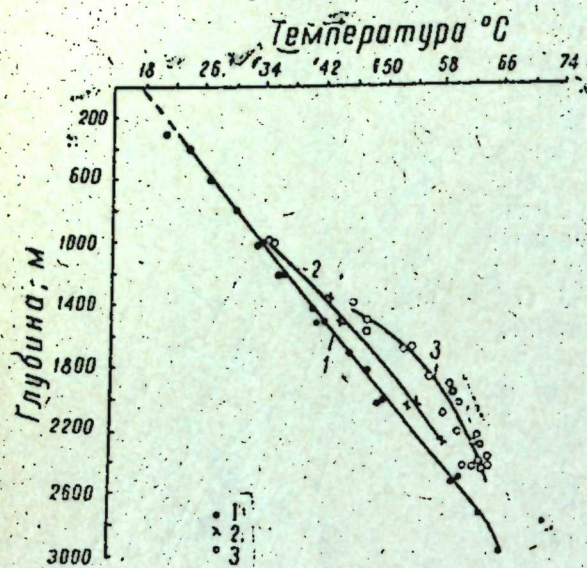


Рис. 2. 1—температура в длительно протекающих скважинах центральной и северной частях структуры; 2—температура в длительно протекающих скважинах южной части структуры; 3—температура в скважинах, недлительно протекающих (3).

ЛИТЕРАТУРА

1. Рациональная разработка нефтяного месторождения Кюровдаг с применением "разрезания" залежи. Труды АЗНИИ ДН Азернефт, 1962.
2. Берц Ф., Шерер Дж. и Спайсер Г. Справочник для геологов по физическим константам. ИЛ, 1949.
3. Гусейнов А. Н., Мустафаев Т. Х., Набиев Г. Х. Геотермия Прикурийской низменности на примере месторождения Мишовдаг, Кюровдаг и Карабаглы. АНХ № 12, 1964.
4. Мехтиев Ш. Ф. Геотермические наблюдения максимальным термометром. АНХ № 2-3, 1946.
5. Тер-Карапетян Ж. Н. О нейтральном или геотермическом слое Апшеронского полуострова. ДАН Азерб. ССР, № 2, 1966.
6. Цатуриян А. Б., Шабанов С. Ф., Тер-Карапетян Ж. Н., Абдуллаев Р. А., Касимов А. М. Новые данные геометрических исследований по Азербайджану. ДАН Азерб. ССР, 1962.

Поступило 13. V 1967

Э. А. Элиев, Ж. Н. Тер-Карапетян, С. Ф. Шабанов

Кировдаг жатағының қеотермијасы һағында

ХУЛАСЭ

Кировдаг жатағының чәнуб саһесинин гәрб гырышының қеотермик пилләнни (G) орта температуру (1000–2250 м дәринликләрдә) $54,5 \text{ м}/^{\circ}\text{C}$, структурун галан саһесиндә 2925 м дәринликдә $61,3 \text{ м}/^{\circ}\text{C}$ жә бәрабәрдир.

G -нин гијметини һесабладыгда һаваның орта иллик температурундан дејил, нејтрал гатын температурундан, յаҳуд јер сәттінин екстраполә олуимуш температурудан истифадә етмәк лазыымдыр.

Аз дајанан гүуларда G -ни тә'жин етдикдә фильтрдән јухары нөгтәләрдеки температур өлчүләрниң истифадә олунмамалыдыр.

ПАЛЕОНТОЛОГИЯ

Г. М. МАМЕДЬЯРОВА

К ВОПРОСУ О ПРОИСХОЖДЕНИИ И РАЗВИТИИ
РОДА *APSCHERONIA ANDRUS*.

(Представлено академиком АН Азербайджанской ССР А. А. Ализаде)

В составе фауны Ашхеронского яруса род *Apscheronia* занимает особое положение, будучи эндемичной формой ашхеронского бассейна. О происхождении этого рода высказывали много предположений. Н. И. Андрусов считал, что род *Apscheronia* произошел от акчагыльских кардид, в частности от *Cardium derbenticum* Andrus., примыкающего, по его мнению, к сарматскому *C. plicatum*. Однако Н. И. Андрусов указывал, что проследить филогенцию рода *Apscheronia* невозможно (1923). В. П. Колесников, присоединяясь к мнению Н. И. Андрусова, в то же время подчеркивал, что происхождение ашхерония пока выяснить трудно (1950). В. В. Богачев склонялся к мысли, что ашхеронии имеют черноморское происхождение (1932, 1961). Г. И. Попов (1961) и происхождение ребристых форм *Apscheronia* связывает с двумя акчагыльскими видами — *Cardium jumadicum* Andrus. и *C. kumli* Usrep., происхождение же гладких ашхероний он не затрагивает. Однако ни *Cardium derbenticum* Andrus., ни *C. jumadicum* Andrus., ни *C. kumli* Usrep. не могли быть предками ашхероний. Изучив большое количество ашхероний, а также превосходную коллекцию акчагыльских кардид А. А. Али-заде, пересмотрев таблицы монографий, посвященных изучению фауны акчагыльского яруса Н. И. Андрусова (1923), В. П. Колесникова (1950) г. К. А. Али-заде (1954), мы пришли к заключению, что ребристые ашхеронии происходят от *Cardium toronglynicum* A. A.-Z., который обнаруживает по целому ряду морфологических признаков наибольшее сходство с *Apscheronia volarovici* Andrus. Предком же гладких ашхероний мы считаем акчагыльский *Cardium sanani* A. A.-Z.

Таким образом, род *Apscheronia* имеет полифилетическое происхождение: одна группа ашхероний берет начало от *C. toronglynicum* A. A.-Z. и образует две параллельные ветви развития:

C. toronglynicum — *Ap. volarovici* — *Ap. eurydesma* — *Ap. calvescens*
Ap. raricostata — *Ap. abescina*

Вторая группа:

C. sanani — *Ap. propinqua* — *Ap. propinqua var. praeextensa*
Ap. apscheronica

Для первой группы характерны высокая внутривидовая изменчивость и более быстрые темпы видообразования: в течение нижнего и среднего ашхерона образовались все ребристые ашхеронии. Вторая же группа оказалась более стабильной и проходит через все подъярусы ашхерона, не испытав больших изменений в морфологии раковин.

Мы располагаем большими палеонтологическим материалом, позволяющим проследить изменение основных видовых признаков в процессе исторического развития, что привело к преобразованию *Ap. volarovici* Andrus. в *Ap. eurydesma* Andrus., а этого последнего в *Ap. calvescens* Andrus. (табл. 1).

Как видно из таблицы, каждый последующий член этого ряда характеризуется уменьшением числа ребер, их ослаблением. Этот процесс идет до полной утраты ребер на всей поверхности раковины, сохраняясь лишь у макушки; раковина как бы лысеет, отсюда и название вида соответствующего этой стадии филогенеза *Ap. calvescens* (от слова *calvesco* — лысеть).

Таким образом, в филогенетическом ряде развития *Ap. volarovici* — *Ap. eurydesma* — *Ap. calvescens* мы видим ясно выраженную тенденцию к образованию от густоребристых форм к редкоребристым, от которых, в свою очередь, образуются почти гладкие формы. Явление это не исключительное. С ним мы встречаемся как среди акчагыльских так и сарматских кардид. Ветви развития *Ap. raricostata* — *Ap. abescina* начинаются небольшими, средней величины слабовыпуклыми, неравносторонними раковинами, чаще с 12 двускатными ребрами. Далее образуются такие же небольшие, слабовыпуклые, но уже почти симметричные раковины с 9 ребрами, которые у нижнего края склонны расплываться.

На большом числе ребристых ашхероний мы проследили также увеличение абсолютных размеров раковин, ослабление единственного кардинального зуба, функции которого отчасти выполняет развивающаяся лигаментная связка.

Другая ветвь (табл. 2)

Cardium sanani — *Ap. propinqua* — *Ap. propinqua var. praeextensa*
Ap. apscheronica

начинается малорослыми, тонкостворчатыми хрупкими формами, которые встречаются в единичных экземплярах. В среднеашхеронское время *Apscheronia propinqua* (Eich.) становится одним из наиболее широко распространенных многочисленных видов, отличается довольно крупной величиной раковин, увеличивается скорость изменения признаков, что приводит к образованию новых подвидов: *Ap. propinqua var. brevior* Andrus. и *Ap. propinqua var. praeextensa* Andrus., т. е. эта ветвь развития испытывает расцвет. Но подлинный расцвет наблюдается в верхнем ашхероне, где раковины достигают очень больших размеров, встречаются в огромном количестве и образуется новый вид гладких ашхероний — *Ap. apscheronica* Мамедярова. Таким образом, хотя быстрота трансформации в различных генетических ветвях ашхероний различна, но общим для них является тенденция к увеличению размеров раковин. Л. Ш. Давиташвили было замечено: «Формы, которые при изменении окружающих условий не только выживают, но и

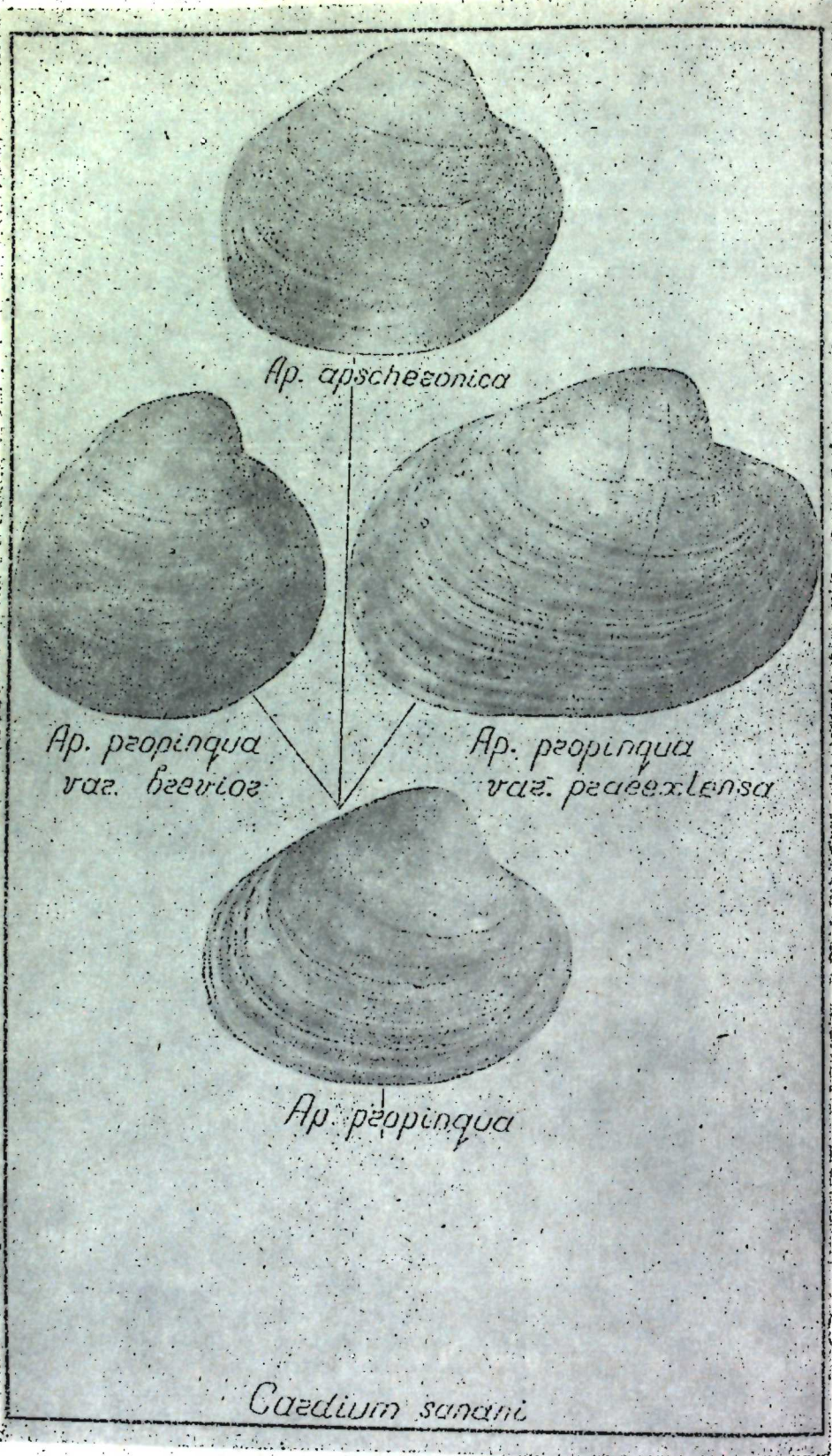


Таблица I.

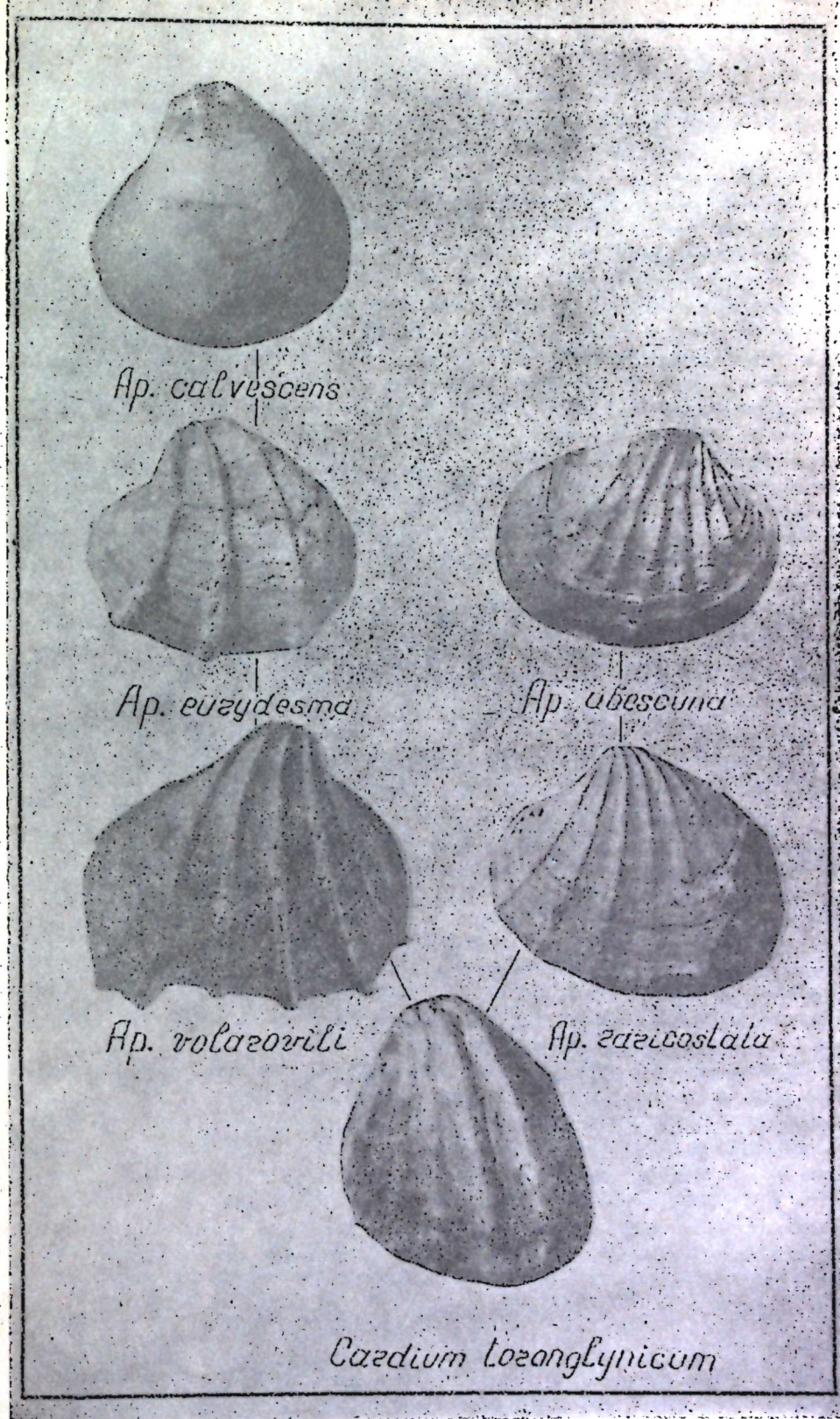


Таблица II

хорошо приспосабливаются к последним и претерпевают быстрое эволюционное развитие, ведущее к значительному разнообразию, достигают обычно крупных, а иногда даже гигантских размеров" (1936). Причину изменений, которые испытывали ашеронии, надо искать в истории развития Ашеронского бассейна, тесно связанного с геотектоническими движениями, вызвавшими изменения гидрологического режима бассейна, характера его дна, условий накопления осадков и изменения состава его обитателей.

Прослеживая развитие ашероний в течение всего ашеронского века, мы приходим к выводу, что этот род отличается высокой скоростью эволюции: за ашеронский век они появились, испытали расцвет и полностью вымерли. Это становится понятным, если учесть то обстоятельство, что развитие предопределялось особенностью Ашеронского моря: это был замкнутый бассейн. "Такие бассейны,— писал о них Колесников,— являлись как бы естественными лабораториями природы, в которых в силу их изолированности и стоящей в связи с последней большой изменчивости условий жизни, происходило интенсивное видообразование...". На эту же особенность замкнутых бассейнов указывали Н. И. Андрусов (1888) и Ф. Ф. Мордухай-Болтовской (1960).

Изучение вертикального распространения ашероний показывает, что в то время, как гладкие ашеронии прослеживаются до самого конца ашеронского века время существования ребристых ограничено нижней и среднеашеронскими подъярусами. Чтобы объяснить это явление, необходимо обратиться к их экологии. Ребристые ашеронии в основном обитатели глубин, где отсутствуют подводные течения. Об этом свидетельствуют приуроченность наиболее плотных поселений их к глинистым грунтам, морфологические особенности (тонкостенная хрупкая раковина, покрытая нежными ребрами), а также условия захоронения (они чаще встречаются в виде двух соединенных, обращенных выпуклостью наверх, не ориентированных створок). Материал, которым мы располагаем показывает, что в полосе, где имеются подводные течения, они угнетены и чаще встречаются в виде обломков, хотя те виды ашероний, которые имеют более прочную раковину (например, *Ap. volarovi*), попав в такие условия, могут быть хорошим индикатором гидродинамического режима. Вероятно, ребристые ашеронии вели зарывающийся образ жизни, хотя, судя по очень неглубокому синусу, сифоны у них были соответственно коротки, а потому зарывались неглубоко. Об отношении их к солености окружающей среды мы судим по тому, что ребристые ашеронии чаще встречаются в сообществе с *Monodacna*, *Didacnomyia* и редко с *Hyrcaania*. По данным К. М. Султанова, первые два рода распространены в основном в слегка осолоненной воде, а последний предпочитает повышенную соленость.

Таким образом, ребристые ашеронии очень прихотливы к солевым условиям, в связи с чем к верхнему ашерону они полностью вымерли.

На освободившемся биотопе в верхнеашеронское время, при отсутствии конкуренции со стороны ребристых, широко расселяются гладкие ашеронии. Однако и они к концу ашеронского века вымирают. Вымирание такой эврибионтной группы видов, какой являлись гладкие ашеронии, объяснить только изменением гидрологического режима нельзя. Немалую роль в этом сыграл климатический фактор, а именно охлаждение его, которое наблюдалось к началу четвертичного периода.

ЛИТЕРАТУРА

1. Али-заде А. А. Акчагыл Туркменистана. Госгеолтехиздат, М., т. I, 1961; Изд. "Недра", Л., т. II, 1967. 2. Али-заде К. А. Акчагыльский ярус Азербайджана. Изд. АН Аз. ССР, Баку, 1954. 3. Андрусов Н. И. Очерк истории Каспийского моря и

его обитателей. "Изв. Русск. геогр. общ.", 24, 1888. 4. Андрусов Н. И. Ашеронский ярус. Тр. Геол. ком., нов. сер., вып. 110, 1923. 5. Богачев В. В. Руководящие окаменелости разреза Ашеронского полуострова и прилегающих районов. Тр. Азерб. нефт. иссл. ин-та, вып. 4, 1932. 6. Богачев В. Б. Материалы к истории пресноводной фауны Евразии. Изд-во АН УССР, Киев, 1961. 7. Давиташвили Л. Ш. К изучению закономерностей изменения величины тела в филогенетических ветвях. Проблемы палеонтологии, вып. 1, 1936. 8. Колесников В. П. Акчагыльские и ашеронские моллюски. Палеонтология СССР. Изд-во АН СССР, 1950. 9. Мордухай-Болтовской Ф. Б. Каспийская фауна в Азово-Черноморском бассейне. Изд-во АН СССР, 1960. 10. Попов Г. И. Ашеронский ярус Туркмении. Изд-во АН Турк. ССР, 1961. 11. Султанов К. М. Ашеронский ярус Азербайджана. Азернешер, 1964.

Институт геологии

Поступило 25. IV 1968

К. М. Маммаджарова

Apscheronia Andrus чинин эмэлэ кэлмэси вэ инкишафына даир

ХУЛАСЭ

Ашерон мэргтэбэси фаунасынын тэркибиндэ *Apscheronia* чинин нүмајэндэлэри өзлэринэ мэхсүс мүэjjэн јер тутур. Бу чинин эмэлэ кэлмэси һаггында мухтэлиф фикирлэр сөвлэнилмишдир. Н. И. Андрусов несаб едир ки, *Apscheronia* чинин акчаыл нүмајэндэси *Cardium derbenticum*-дан эмэлэ кэлмишдир. Г. И. Попов габыргалы ашерониаларын эмэлэ кэлмэснин акчаыл фаунасы—*Cardium jutudicum* вэ *C. kumli* Usrep илэ бағлы несаб едир.

Бу чинин чохлу мигдарда, һэмчинин акчаыл кардиидлэри нүмајэн дэлэринин хүсусијэтлэрийн өјрэнэрэк белэ гэрара кэлирикки, габыргалы ашерониалар акчаыл нүмајэндэси *C. sanani*-дэн эмэлэ кэлмишдир.

Мэгэлэдэ бу чинин эмэлэ кэлмэси вэ инкишафы һаггында даана кениш мэ'умат верилмишдир.

ПОЧВОВЕДЕНИЕ

Г. А. БУЯНОВСКИЙ

**О СОДЕРЖАНИИ ЩЕЛОЧНОЗЕМЕЛЬНЫХ КАРБОНАТОВ
В ПОЧВАХ МУГАНО-САЛЬЯНСКОГО МАССИВА**

(Представлено академиком АН Азербайджанской ССР В. Р. Волобуевым)

Наличие CaCO_3 и MgCO_3 в значительных количествах является одним из признаков почв аридной зоны. Однако закономерности накопления углесолей в почвах засушливых районов Советского Союза исследованы недостаточно. В. Р. Волобуев связывает накопление CO_2 извести со степенью увлажненности (1950, 1963); им также был сделан первый опыт выявления географических закономерностей в изменении степени карбонатности почв Азербайджана (1962). Д. М. Кугучков с сотрудниками исследовал карбонатное соленакопление в почвах бассейна р. Зеравшан.

За последние годы, в связи с крупномасштабными почвенными съемками, проводившимися Бакинской и Кировабадской почвенными экспедициями МСХ Азербайджанской ССР, Азгипроводхозом и другими организациями, накоплен весьма обширный материал по содержанию карбонатов в почвах республики. В почвенно-мелиоративной лаборатории Института почвоведения и агрохимии АН Азербайджанской ССР начата работа по обобщению имеющихся данных.

Уже предварительная проработка показала возможность картирования средневзвешенной величины содержания карбонатов в метровом слое. Однако эта величина, естественно, не дает представления о характере профиля карбонатности. В этой связи все подвергшиеся обработке разрезы были охарактеризованы по соотношению между средневзвешенным содержанием CO_2 в метровом слое и его содержанием в пахотном горизонте. При таком подходе все разнообразие профилей было сведено к трем типам: 1) с превышением содержания CO_2 в верхнем горизонте над средневзвешенным (современное накопление карбонатов), 2) с равномерным распределением карбонатов по профилю (равновесное состояние), 3) с превышением средневзвешенного над содержанием CO_2 в верхнем горизонте (вынос карбонатов).

Имеющиеся материалы позволили составить карту карбонатности почв Мугано-Сальянского массива.

Рассмотрение этой карты позволяет прийти к заключению о наличии четко выраженных закономерностей пространственного распределения карбонатов. Так, Северная Мугань является в основном

областью распространения почв со средневзвешенным содержанием CO_2 в метровом слое 4–6%. Значительная часть ее площади занята почвами, содержание CO_2 в которых составляет менее 4%. Почвы с высоким содержанием CO_2 (6–8%) здесь занимают небольшие пространства. В то же время Сальянская степь почти не имеет почв с пониженным (<4%) содержанием CO_2 и примерно на 50–60% занята высококарбонатными почвами (6–8% CO_2). Пониженным содержанием CO_2 отличаются почвы Южной и Ленкоранской Мугани. Здесь уже начинает сказываться действие повышающегося к югу атмосферного увлажнения.

По-видимому, весьма существенную роль в создании и перераспределении запасов карбонатных солей в почвах играют водные arterии (в том числе и искусственные), под воздействием которых находятся те или иные территории. К этому выводу приводят приуроченность почв с пониженным содержанием CO_2 к трассам каналов, несущих в Северной Мугани араксинскую воду. Явное обескарбоначивающее действие оказывают на почвы воды Болгарчая. В пределах конуса выноса Болгарчая очень ясно прослеживается перемещение карбонатов от вершины конуса к периферии. Прибрежье Куры, как правило, занято почвами с повышенным содержанием CO_2 . О воздействии вод говорит и то обстоятельство, что зоны влияния муганских каналов характеризуются третьим типом карбонатного профиля.

Для Сальянской степи характерны либо современное накопление карбонатов (в большей ее части), либо равновесное состояние профиля.

Приведенные на рис. 1 гистограммы распределения данных о средневзвешенном содержании CO_2 в метровом слое подтверждают

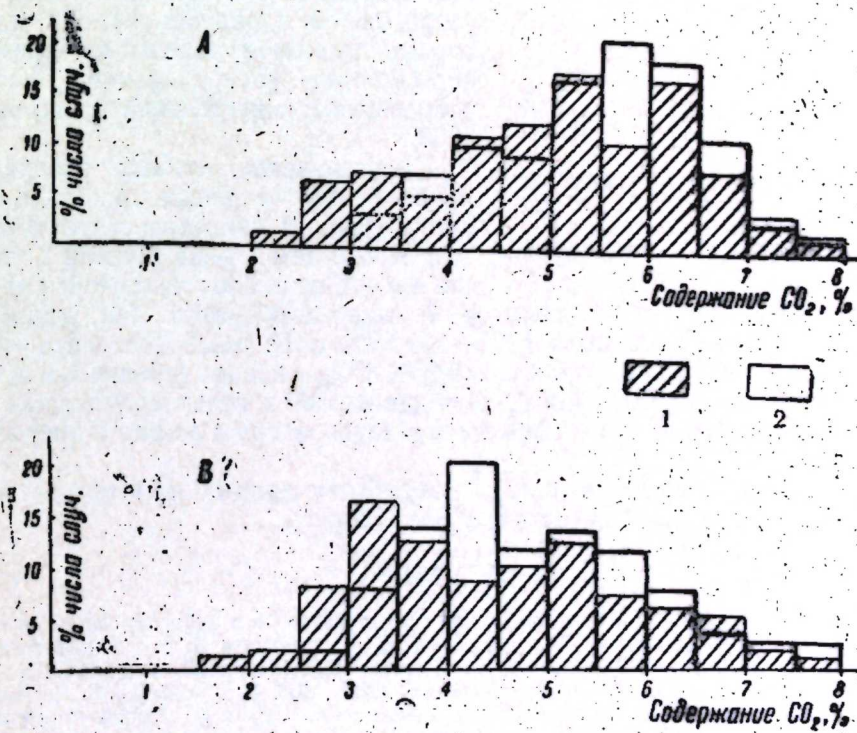


Рис. 1. Гистограммы распределения данных о содержании CO_2 в почвах Северной Мугани и Сальянской степи:
A—Сальянская степь, B—Сев. Мугань: 1—распределение данных для слоя 0–20 см; 2—распределение средневзвешенных данных для метрового слоя.

установленные при картировании характерные особенности муганских и сальянских почв. Так, для почв Сальянской степи (рис. 1, А) максимум случаев лежит в интервале 5,5—6,0%, а для почв Северной Мугани (В)— в интервале 4,0—4,5%. Еще более существенные различия отмечаются при сопоставлении распределения данных о содержании CO_2 в поверхностном горизонте. Для почв Сальянской степи обе диаграммы (для пахотного и метрового слоев) весьма мало отличаются друг от друга, тогда как для пахотного слоя муганских почв сдвиг влево, в сторону меньших значений CO_2 , выглядит гораздо более закономерным.

Муганская степь, как известно, является одним из старейших объектов мелиорации. Казалось интересным выявить статистическим методом влияние орошения и дренирования на содержание карбонатов в почвах степи. Направление процесса могло быть установлено путем сопоставления значительного количества данных о содержании CO_2 в почвах за два достаточно удаленных друг от друга срока. Было по-

добрано некоторое количество почвенных разрезов, охарактеризованных по карбонатности, из работ С. А. Захарова (1905) и Н. М. Тудайкова (1906). Эти данные были обработаны статистически и сопоставлены с соответствующими материалами за последние годы.

Несмотря на сравнительную немногочисленность исходных (1905—1906 гг.) данных по карбонатности (25 разрезов, 75 определений), они дали вполне удовлетворительные кривые нормального распределения. Число современных определений превышало 3000.

Сопоставление кривых распределения и кумулятивных кривых за оба срока (рис. 2) свидетельствует о том, что в среднем почвы Мугани в течение первой половины нынешнего века,

по-видимому, испытывали некоторый вынос карбонатов. Так, для данных по карбонатности почв 1905—1906 гг. мода (наиболее часто повторяющаяся величина) равнялась 5,25% CO_2 , медиана (срединная точка распределения данных)—5,2%. Для данных 60-х годов медиана оказывается равной 4,4%, мода также сдвигается влево и лежит в пределах 4,8—5,0%.

Аналогичное картирование и обработку данных намечается провести для всей Кура-Араксинской низменности.

ЛИТЕРАТУРА

1. Волобуев В. Р. Содержание гумуса и карбонатов в субтропических почвах Азерб. ССР. ДАН Азерб. ССР*, 1950, № 6. 2. Волобуев В. Р. Эколого-генетический анализ почвенного покрова Азербайджана. Изд. АН Азерб. ССР, 1962. 3. Волобуев В. Р. Экология почв. Изд. АН Азерб. ССР, 1963. 4. Захаров С. А. Почвы Северной части Муганской степи и их засоление. СПб., 1905. 5. Отчеты по крупномасштабным почвенным съемкам земель колхозов Мугано-Сальянского массива. Фонд Бакинской почвенной экспедиции МСХ Азерб. ССР. 6. Тулайков Н. М. Почвы Муганской степи и их засоление.

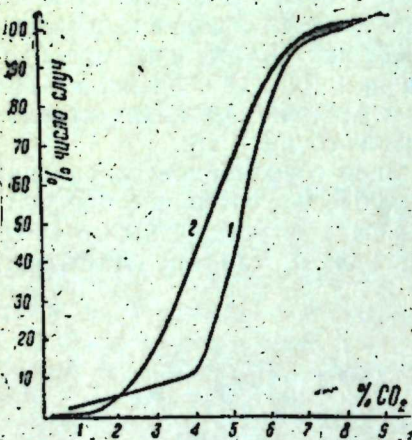


Рис. 2. Кумулятивные кривые для данных о содержании CO_2 в почвах Муганской степи:
1—1905—1906 гг.; 2—1960-е годы.

Г. А. Буяновски

Муган вэ Салjan дүзү тортагларында гэлэви тортаг карбонатларынын мигдары

ХУЛАСЭ

Мэгалэдэ Муган вэ Салjan тортагларында CaCO_3 вэ MgCO_3 дүзларынын юйлмасынын бэ'зи ганунауғундугарындан бэйс едилмишдир.

Мүэjjэн олунмушдур ки, Шимали Мугандада эсасэн үст бир метрлик гатда CO_2 -нин мигдары орта несабла 4—6%, Салjan дүзүндэ исэ 6—8%-и тэшкүлдэдир.

Муган тортаглары учун јујулмагда олан карбонат профили характеристик олдугу һалда, Салjan дүзүндэ мүасир карбонат топланма профили характердир.

Мэгалэдэ Муган вэ Салjan дүзүндэ бир метрлик гатда орта несабла CO_2 -нин пајланмасы диаграммы (1-чи шэклэ бах) вэ Муган тортагларында ики мухтэлиф мүддэтдэ карбонатларын орта мигдарыны көстэрэн (2-чи шэклэ бах) эյрилэр верилмишдир.

БИТКИ СИСТЕМАТИКАСЫ

В. Г. ГЭЗЭНФЭРОВА

БИРЭ БАГАЈАРПАҒЫНЫН (*Plantago psyllium* L.)
ЕРМЭНИСТАНДА ІА҃ЫЛМАСЫ ҺАГГЫНДА

(Азэрбајҹан ССР ЕА академики һ. Ә. Әлијев тэгдим етшишдир)

Бағајарпағы чинси (*Plantago* L.) систематик чөһэтдэн аз өјрәнилән чинслэр сыйрасына дахилдир. Мә'лум олдуғу кими, бу чинсә һәср олунмуш хүсуси ишләр аздыр. Лакин буныла белә, чинсин систематик тәркиби һаггында Декандолун „Prodrromus“унда (1852) нисбәтән әтрафлы мә'лumat алмаг олар. Ейни заманда, „Barneoud“ бағајарпағы фәсиләсінә аид „Monografie de la famille des Plantaginees“ (1845), Pilger [10] бағајарпағы чинсинин *oreades* сексијасына аид (Pilger in Fedde, Repert. sp. novagum, XXIII, 1926) монография җазмышлар. Бу вахта гәдәр Гағгазда бағајарпағы чинси нәбататчылар тәрәфиндән әтрафлы өјрәниләмишдир. Мәгаләдә бүтүнлүкдә чинс һаггында дејил, онун յалныз бир нөвү барәдә мүәjjән мә'лumat верилмишдир.

Plantago psyllium L.—бирә бағајарпағы. Бағајарпағы фәсиләсіндән олуб (*Plantaginaceae*), 5—25 см һүндүрлүкдә, бириллик, дик вә я әјилиб галхан көвдәје малик, бәсит, жаҳуд будаглы, вәзили, түкклү биткидир. Јарпаглары 1—4 мм енинде, дар хәтвары вә я лансетвары-хәтвары, гандә һиссәдә нисбәтән енли, зәиф түклүдүр. Сүнбулу 0,5—1 (1,5) см узунлугда, елипсвары вә я յумуртаварыбыр. Адәтән сүнбулу бир нечә, езү дә көвдә вә будагларын учунадыр. *P. psyllium*-үи сүнбулу вәзили, түкклү, сүнбулдә ашағы чичәк алтыглары յумуртавары вә я յумуртавары-лансетшәкилли, уч һиссәдә узунсов-хәтвары җашыл рәңкли чыхынты илә гүртарьы, јухары чичәк алтыглары ашағы чичәк алтыгларына охшајыр. Каса Јарпаглары 3—4 мм узунлугда, гејри-бәрабәрдир: өн ики каса Јарпаглары тәрс лансет шәкилли, арха ики каса Јарпаглары յумуртавары-лансетшәкилли вә я узунсов յумурташәкиллидир.

Гүмлүгларда вә гуру чынгыллы җамачларда, һәмчинин аллагы җерләрдә յа҃ылмышдыр.

Гејд етмәк лазымдыр ки, маршал Биберштејн (1808), Мејер [9], Ледебур (1846—1851), Липски [5] вә башгалары *P. psyllium*-у өз әсәрләриндә Гағгаз үчүн көстәрмәшиләр. Эразинин диггәтлә өјрәниләсі иәтичәсіндә зәнкин битки еңтијатына малик олан Гағгазда халг тәсәрүфатында бөյүк әһәмијәти олан нөвләр вә нөвдәхили формалар ашкара чыхарыла биләр.

Халг тәсәрүфатында (тәбабәтдә) дәрман әһәмијәтинә малик олан *P. psyllium* L. АРАЛЫГ дәнизи әразисинә мәнсубдур. Бу нөв յалныз 1936-чы илдә И. И. Карјакин тәрәфиңдән һербари материаллары әса-сында „Гағгаз флорасы үчүн жени битки нөвләри“ адлы мәгаләдә Азэрбајҹаның бә'зи рајонлары (Көјчај, Карјакин) вә демәли, ССРИ флорасы үчүн жени нөв кими гејд олунмушдур. „ССРИ флора“сыны ишләмиш J. C. Григорьев (1958) исә бунлара эсасланыраг бирә бағајарпағыны յалныз Шәрги Загағазија үчүн көстәрмишдир. Сонralар бу нөв Азэрбајҹаның Зәнкилан рајонундан да յығылмышдыр.

Гағгаз бағајарпағы нөвләринин монографик өјрәниләсі мәгсәди илә Ермәнистан ЕА Нәбатат Институтунда бағајарпағы чинсинә аид олан һербари материалларыны, ишләжән заман 1967-чи илин җазында յығылан вә тә'жин олунмајан һербари материалларынын ичәрисиндә *P. psyllium* L. нөвү гејд едилмишдир.

В. Е. Аветисјан „Ермәнистан флорасына аид материаллар“ мәгаләсіндә (Биологический журнал Армении, XX, № 2, 1967) *Plantago* L. чинсинин Ермәнистанда *P. major* L., *P. maritima* L., *P. media* L., *P. atrata* Hoppe, *P. lanceolata* L., *P. indica* L. нөвләринин յа҃ылдығыны көстәрмишдир.

Ермәнистан ССР ЕА Нәбатат Институтундаки һербари материаллары әса-сында бирә бағајарпағынын ашағыдакы җерләрдә յа҃ылдығыны гејд етмәк олар: Ермәнистан ССР Меһри рајону, Шванидзор; Ермәнистан ССР Меһри рајону, Нувәди илә Минчиван арасында; Ермәнистан ССР Меһри рајону, Нувәди илә Минчиван арасында—Зәнкилан әразисинин башланғышында уру фриганоид җамачларда (6. VI. 1967; J. Мүлкичанјан вә В. Манакјан).

Көстәрилән бу мә'лumat *P. psyllium* L. нөвүнүн Ермәнистан флорасына да дахил олmasы үчүн әсасдыр.

ӘДӘБИЈАТ

1. Аветисјан В. Е. Материалы к флоре Армении. Ботанический журнал Армении, XX, № 2. 1967.
2. Гроссгейм А. А. Определитель растений Кавказа, Изд-во „Советская наука“, 1949.
3. Григорьев Ю. С. Флора СССР. Т. XXIII. Изд-во АН СССР, 1958.
4. Карайян И. И. Новые виды для флоры Кавказа. Тр. Ботанического ин-та, т. 11. Изд-во Азерб. филиала АН СССР. Баку, 1936.
5. Липский В. И. „Флора Кавказа“. СПб. 1999.
6. Vargneud F. M. Monografie generale de la Famille des Plantaginacees. Paris, 1845.
7. Ledebour. Flora Rossica. Schweizerbart, 1846—1851.
8. Marschall Bieberstein. Flora taurico-caucasica t. I. Charkoviae, 1808.
9. Meyer C. Werzelchniss der Pflanzen, welche während der, auf Allerhochsten Befehl, 1831.
10. Pilger. Beiträge zur Kenntnis der Gattung Plantago. Repertorium pecierum novarum regni vegetabilis, XXIII. Berlin, 1926.

Алынмышдыр 20. I 1968

Ботаника институту

В. К. Казанфарова

О распространении подорожника блошиного в Армении

РЕЗЮМЕ

С целью монографического изучения кавказских видов подорожника при обработке гербарных материалов в гербарии Ботанического института АН Армянской ССР среди неопределенных гербариев сбо-ров 1967 г. нами был обнаружен подорожник блошиный (*Plantago psyllium* L.).

В. Е. Аветисјан (Биологический журнал Армении, XX, № 2, 1967) в статье „Материалы к флоре Армении“ указывает на распространение следующих видов: *P. major* L., *P. maritima* L., *P. media* L., *P. atrata* Hoppe, *P. lanceolata* L., *P. indica* L.

На основании гербарных материалов, имеющихся в Ботаническом институте АН Армянской ССР, можно указать несколько местонахождений подорожника блошиного: „Арм. ССР. Мегринский р-н. с. Нювады Минджеван; Арм. ССР. Мегринский р-н. с. Нювады Шванидзар; Арм. ССР. Мегринский р-н. с. Нювады Минджеван; Арм. ССР. Мегринский р-н. с. Нювады Минджеван—начало Зангеланской территории, сухой фриганоидный склон, 6/VI—1967 г. Я. Мулкиджянин, В. Манакян”.

Эти сведения говорят о необходимости введения *Plantago psyllium* L. в флору Армении.

БИТКИЛӘРИН АГРОКИМЈАСЫ

Ф. С. ЧӘФӘРОВА, Г. Э. РЗАЈЕВ

**МУХТАЛИФ НӘМЛИК ШӘРАИТИНДӘ ПАМБЫГ БИТКИСИНИН
БОЈ ВӘ ИНКИШАФЫНА КҮБРӘЛӘРИН ТӘ'СИРИ**

(Азәрбајҹан ССР ЕА академики Д. М. Һүсәјнов тәгдим етмишdir)

Биткиләрин нормал иникишафы үчүн гида маддәләри илә бәрабәр һәлледичи амилләрдән бири дә торнагда кифајет гәдәр рүтубәттөн олмасыдыр. Торпағын нәмлиji битки организмидә кедән мұхтәлиф һәјати процессләрә бу вә ja дикәр истигамәтдә тә'сир едир ки, бу да өз эксини бој вә иникишафда тапыр. Әдәбијат мә'лumatларындан айдындыр ки, биткиләрин нормал иникишафы үчүн азот, фосфор вә калиум элементләrinin хүсуси әһәмиjjeti вардыр. 1—7]

Геjd етмәк лазымдыр ки, мұхтәлиф нәмликдә көстәрилән элементләрин битки тәрәфиндән мәнимсәнилмәси мұхтәлиф олур.

Бу саhәдә аз тәдгигат иши апарылдығындан мұхтәлиф нәмликдә минерал күбрәләрин памбыг биткисинин бој вә иникишафына олан тә'сирини өjрәнмәji гаршымыза мәгсәд гоjдуг.

Тәчрубә Азәрбајҹан ССР елмләр Академијасынын Нәбатат бағында векетасија еви шәраитиндә, 40 вә 60%-ә гәдәр нәмликдә апарылышдыр.

Тәдгигат објекти олараг 108-“Ф” памбыг чешидиндән истифадә етдик. Һәр ики нәмлик шәраитиндә ашағыдақы варианtlar үзрә тәчрубәләр апарылышдыр.

1. $N_{100} + P_{100}$
2. $N_{200} + P_{100}$
3. $N_{100} + P_{200}$
4. $N_{100} + P_{100} + K_{100}$

Күбрәләр торпағын һәр kg -на mg несабы илә верилмишdir. Азот NH_4NO_3 , фосфор NaH_2PO_4 вә калиум K_2SO_4 дузу шәклиндә истифадә едилмишdir.

Биткини әkmәk үчүн һәр векетасија габына 16 kg торпаг долдурулмушdur. Габлар торпагла долдурулдугдан соңра арат едилиб, һәр габа 8 әдәд тохум әкилмишиir. Җүчәрәндән соңра тәдричән сеjрәлдиләрек бир битки сахланышдыр. Мұхтәлиф нәмлик шәраитиндә минерал күбрәләрин тә'сириндән памбыг биткисинин векетатив вә меjvөверәn органлары арасында олан нисби дәjишиклик чәдвәлдә верилмишdir.

Мүхтәлиф нәмлил шәрәнтиде минерал күбәләрин памбыг биткисинин бој вә инишафына тә'сир (беш биткىдән орта несабла)

Варианттар	20. VI		10. VII		1. VIII		25. VIII	
	жыныспарк.	жасын, %	жыныспарк.	жасын, %	жыныспарк.	жасын, %	жыныспарк.	жасын, %
$N_{100} + P_{100}$	12,2	0,30	200,25	24,3	0,42	5,2	456,10	32,5
$N_{200} + P_{100}$	14,1	0,35	120,15	31,2	0,46	7,0	510,00	42,6
$N_{100} + P_{200}$	13,0	0,40	130,10	30,0	0,50	8,5	670,25	40,5
$N_{100} + P_{100} + K_{100}$	13,0	0,30	120,00	26,5	0,45	7,0	600,00	38,5
$N_{100} + P_{100} + K_{200}$	9,2	0,15	88,25	18,3	0,28	4,0	289,00	24,5
$N_{200} + P_{100}$	11,5	0,20	95,15	20,0	0,30	4,5	340,00	28,0
$N_{200} + P_{200}$	10,0	0,25	100,00	20,0	0,35	5,0	356,25	29,5
$N_{100} + P_{100} + K_{100}$	10,5	0,20	98,00	18,0	0,32	4,5	350,00	28,0
жыныспарк.	жасын, %	09	жыныспарк.	жасын, %	04	жыныспарк.	жасын, %	09

Чәдвәлин рәгемләринин тәһиллиндән айынлашыр ки, 60% торпаг нәмлил шәрәнтидә бечәрилмиш биткиләрин 40% торпаг нәмлил шәрәнтидә бечәрилмишләрә нисбәтән боју һүндүр, көвдәси јоғун, йарлагларының саһәси чох олур. Мұхтәлиф нәмлик шәрәнти биткинин бојунан тә'сир етди кими, кенератив органларын әмәлә қәлмәсінәдә тә'сир едир.

Гејд етмәк олар ки, оптималь торпаг нәмлил шәрәнтидә бечәрилмиш биткиләрин кенератив органлары минимал нәмлик шәрәнтидә бечәрилмиш биткиләрә нисбәтән үстүн олур. Белә ки, һәр ики нәмлил шәрәнтидә фосфор 2-азот верилмиш биткиләрин бојунун азот 2-фосфор верилмишләрә нисбәтән кичиклиниә бахмајараг көвдәси јоғун, чиңәк вә гозаларының мигдары чох олмушдур. Биткиләrin йарлаг саһәсінин бөјүмәсіндә дә бу ганунауғынуга тәсадүф едилir. Бурада йарлаг саһәсінин артмасына фосфор 2-азот элементи мүсбәт тә'сир етмишdir.

Һәр ики нәмлик шәрәнтидә биткиләре азот 2-фосфор вә фосфор 2-азот верилмәси, онларын бөјүмәсінә мүсбәт тә'сир етмәклә бәрабәр кенератив органлары инишафына бөյүк тә'сир көстәрир. Азот-фосфор-калиум элементи верилмиш биткиләр орта мөвгө тутмушдур.

Беләликлә, апарылан тәдгигатлар көстәрир ки, 40% нәмлилә көрә оптималь нәмлик шәрәнтидә памбыг биткисинин бој вә инишафы түкәк сәвијјәдә кетмишdir. Һәр ики нәмлик шәрәнтидә фосфор 2-азот памбыг биткисинин кенератив органларының әмәл қәлмәсінә даһа мүсбәт тә'сир етмишdir.

ЭДӘВИЙЛАТ

1. Белоусов М. А. Некоторые данные о корневом питании хлопчатника. "Агробиология", № 1, 1955. 2. Гусейнов Б. З. Обмен веществ, рост и развитие белой шелковицы под влиянием различных соотношений минеральных удобрений № 19. 3. Ермолаев Е. Е. Влияние фосфорного режима на количественные изменения углеводов азота и общей продуктивности сухого вещества у гречихи. "Экспериментальная ботаника", вып. 3, 1968. 4. Журабицкий З. И. О потребности в минеральном питании. "Физиология растений", т. 2, вып. 2, 1951. 5. Машигийн П. П. Протасов П. В. "Сов. агробиология", № 11, 1951. 6. Туасев О. Ф. Некоторые особенности в азотно-фосфорном питании растений. Труды Ин-та физиологии растений им. К. А. Тимирязева, т. 1, № 2, 1947. 7. Турчин Ф. В. О природе действия удобрений (азот, фосфор, калий). Огиз. Сельхозиздат, 1936.

Алынмышдыр 2. X 1967

Ботаника институту

Ф. С. Джадарова, Г. А. Рзаев

Влияние удобрений на рост и развитие хлопчатника при различных водоснабжениях

РЕЗЮМЕ

В вегетационных условиях нами было изучено влияние азота, фосфора и калия, а также их различных соотношений на рост и развитие хлопчатника.

Опыты проводились при минимальной (40%-ной) и оптимальной (60%-ной) влажности почвы от ее полной влагоемкости. Полученные данные свидетельствуют о том, что при оптимальной влажности вышеуказанные удобрения оказывают более эффективное влияние на рост и развитие хлопчатника, нежели в условиях недостаточной влажности. При оптимальной влажности почвы значительно увеличивается ассимиляционная поверхность, улучшается развитие генеративных органов.

В различных условиях водоснабжения примененные удобрения в зависимости от их соотношения по-разному влияют на рост и развитие хлопчатника.

ГЕНЕТИКА

М. А. МИКАИЛОВ

БИОЛОГИЯ ВЕГЕТАТИВНОГО РАЗМНОЖЕНИЯ ХНЫ

(Представлено академиком АН Азербайджанской ССР И. Д. Мустафаевым)

В настоящее время зеленые листья с кустарникового тропического растения хны (*Lawsonia inermis* L.) в подсушеннном состоянии являются ценным сырьем, которое употребляется в качестве красителей волос, ногтей, кожи, рук, ног и в других отраслях косметики и медицины [1, 2, 4]. В составе листьев хны установлено более 12 веществ, в том числе 0,2% красящих.

В культуре тропических и субтропических стран имеется только один вид хны с различными экологическими формами, ежегодно в мировом масштабе дающие более 7–8 тыс. т. продукции хны [3, 5, 6].

В СССР до настоящего времени хна в культуру не введена. С 1963 г. Институт ботаники АН Азербайджанской ССР (отдел генетики) исследует вопросы семенного и вегетативного размножения хны на Апшероне [7, 8].

Вкратце остановимся на материале и методике исследования хны. Для опыта были использованы зеленые побеги и годовалые ветви алжирской и египетской форм хны при длине черенков 5 и 10 см. Стеблевые черенки хны ранней весной (с 1 апреля) для укоренения выращивали в субстрате морского песка и в апшеронской почве на стеллажах теплицы в условиях повышенной (черенки накрывались застекленной рамой) и пониженной (контрольные не накрыты) влажности воздуха. Бралось по 30 черенков для каждого варианта и выращивались они 3 способами в отдельности. В первом варианте они вертикально заделялись на $\frac{3}{4}$ в субстрат нормально, т. е. апикальная вверх, а базальная—вниз, во втором—наоборот, и в третьем—черенки горизонтально заделялись при глубине 3,0 см. За опытными и контрольными черенками велись соответствующий уход, наблюдение и учет корнеобразования на них, образования листьев, продолжительности вегетации и др.

Остановимся на анализе экспериментальных данных, приведенных в таблице. Из данных таблицы видно, что стеблевые черенки хны, взятые из зеленых побегов годовалых ветвей, при весеннем сроке (в обеих формах) в субстрате морского песка по всем вариантам на 60-й день с начала закладки опыта дают укоренения больше (80%), чем на апшеронской почве (до 23,3%). Замечено, что влажность воздуха

Влияние способов и условий выращивания на укореняемость и изменение полярности у стеблевых черенков хны

Хна	Вариант опыта	Морской песок				Апшеронская почва			
		Черенки на- крыты стек- лянной ра- мой	Контроль- ные накрыты	Накрытые чертенки	Контроль	Черенки на- крыты стек- лянной ра- мой	Контроль- ные накрыты	Накрытые чертенки	Контроль
Ал- жир- ская	1. Вертикальная посадка чертенков: апикальная часть вверх, базальная вниз	66,6	63,3	23,3	20,0	10,6	23,3	6,6	13,3
	2. Вертикальная посадка чертенков: апикальная часть вниз, базальная вверх	6,6	10,0	0,0	0,0	0,0	0,0	0,0	0,0
	3. Горизонтальная посад- ка черенков при глубине 3 см	26,6	33,3	3,3	10,0	3,3	6,6	3,3	3,3
Еги- пет- ская	1. Вертикальная посадка чертенков: апикальная часть вверх, базаль- ная вниз	76,6	80,0	20,0	23,3	10,0	23,3	10,0	16,6
	2. Вертикальная посадка чертенков: апикальная часть вниз, базальная вверх	23,3	36,6	3,3	6,6	0,0	0,0	0,0	0,0
	3. Горизонтальная посад- ка черенков при глубине 3 см	36,6	43,3	10,0	16,6	13,3	20,0	10,0	13,3

имеет важное значение при укоренении стеблевых черенков хны. Так, черенки обеих форм, укорененные на стеллаже теплицы, накрытые стеклянной рамой (повышенной влажности) в субстрате морского песка дают укоренение во много больше (6,6–80%), чем не накрытые (пониженней влажности) (3,3–23,3%). Накрытые 4-месячные растения, имеющие свыше 60 см в высоту, дают гораздо большее побегообразование, чем не накрытые растения в контроле (рис. 1).

Стеблевые черенки у обеих форм хны, взятые из годовалых ветвей, накрытые морским песком, имеют сравнительно больше пластических веществ и дают укоренение больше (10,0–80,0%) чем черенки из зеленых побегов (6,6–76,0%), а контрольные (не накрытых) черенки соответственно (6,6–23,3) и 3,3–23,3%. В субстрате апшеронской почвы накрытые годовалые черенки дают укоренение больше (6,6–23,3%), чем черенки из зеленых побегов (3,3–13,3%), а контрольные соответственно (3,3–13,3) и (3,3–10,0%).

Установлено, что стеблевые черенки египетской формы хны при обоих субстратах (накрытых и не накрытых) из зеленых побегов и из годовалых ветвей имеют больше способности к укоренению (10,0–80,8%), чем черенки алжирской формы (6,6–66,6%).

Биологические особенности стеблевых черенков алжирской и египетской форм хны еще лучше появляются при изучении свойств полярности черенков. Так, при нормальной посадке (апикальная часть черенка направлена вверх, базальная — вниз) стеблевые черенки алжирской формы в морском субстрате дают в 3—6 раз больше укоренений (20—66%), чем при тех же условиях, но высаженные наоборот, т. е. апикальной частью черенка вниз, а базальной вверх (6—10%). Эти факты говорят о том, что под влиянием способа выращивания свойство полярности у стеблевых черенков алжирской формы

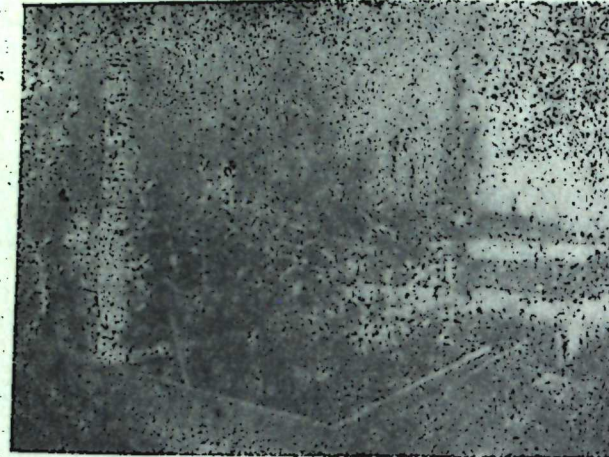


Рис. 1. Накрытые 4-месячные растения, выращенные из стеблевых черенков хны (левый квадрат) и ненакрытые контрольные растения на стеллаже теплицы (правый квадрат).

нарушается. Однако в субстрате морского песка в накрытых и в других условиях в ашлеронской почве во втором варианте свойство полярности черенков сохраняясь, не дает укоренения. В своем росте надземные и подземные части до 20 см растений, выращенные из черенков с нарушенной полярностью, сильно отстают от растений, выращенных из черенков при нормальной посадке (до 50 см). Стеблевые черенки алжирской формы, выращенные при горизонтально-луночной посадке на глубине 3,0 см на морском песке, дают укоренения больше, при накрытом варианте (26—33%), чем в контроле (3—10%), на ашлеронской почве соответственно (3—6%) и (3—3%). Причем, по росту растения, выращенные при горизонтальном способе возделывания, имея свыше 70 см в высоту, во много раз опережают растения, выращенные при вертикальной посадке. Стеблевые черенки египетской формы хны имеют при нормальной посадке (I вариант) в субстрате морского песка (накрытые) в 3—4 раза больше укоренений (76—80%), чем в контроле (20—23%). В ашлеронской почве эти показатели соответственно несколько меньше (10—23%) и (10—16%). Во втором варианте наследственное свойство полярности у накрытых черенков нарушается, увеличиваясь в 5—7 раз (23—36%) по сравнению с контрольными (3,6—6,6%). В субстрате ашлеронской почвы во втором варианте свойство полярности у черенков не нарушаясь, укоренения не дает. В третьем варианте накрытые черенки в морском субстрате дают в 2—3 раза больше укоренения (36—43%), чем контрольные (10—16%), в субстрате ашлеронской почвы соответственно во много меньше (13—20%) и (10—13%). В этом варианте под влиянием почвенного покрова (3,0 см) полярность черенков у египетской формы

хны в сильной степени нарушается, корнеобразование идет от базальной и апикальной части черенка. Стебель и корнеобразование имеют место по длине черенка в 3—4 местах. Во втором варианте посадки — черенки, строго сохранив свойство полярности, образуют из базаль-

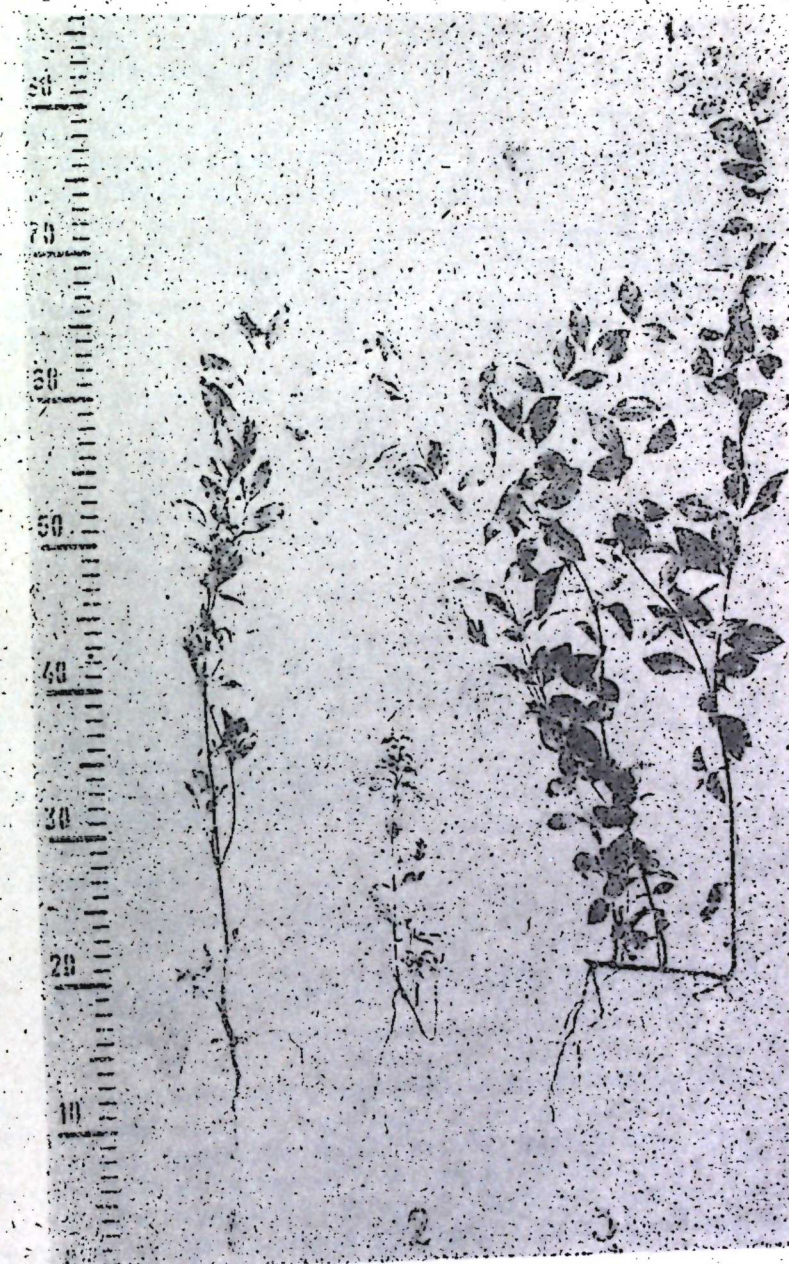


Рис. 2. Растения, выращенные из стеблевых черенков при трех вариантах опыта.

ной части воздушные корни и идут в почву, а из апикальной, обраzuя побеги, поднимаются вверх (рис. 2). Эти факты характеризуют биологические особенности вегетативных частей обеих форм хны и послужат ценным материалом для клоновой селекции ее.

Выводы

1. Установлено, что внесение 5 и 10-сантиметровых стеблевых черенков алжирской и египетской форм хны в субстратах морского песка и ашеронской почвы дает наибольшее при повышенной влажности воздуха (80%) чем в пониженной в контроле (23%).

2. Определено, что стеблевые черенки из обеих форм хны при всех вариантах выращивания дают наибольшее укоренение в субстрате морского песка, чем при ашеронской сероземной почве.

3. Стеблевые черенки у обеих форм хны, взятые от годовых ветвей в силу своего биологического состояния в субстрате морского песка и ашеронской почве дают больше укоренения, чем черенки от зеленых побегов.

4. Свойство полярности стеблевых черенков под влиянием способа выращивания изменяется меньше у алжирской (6—10%) и больше у египетской форм хны (3—36%). С наибольшим колебанием полярность черенков в третьем варианте нарушается у алжирской формы меньше (3—33%), чем египетской (10—43%).

5. Замечено, что растения, выращенные из стеблевых черенков с низменной полярностью, во втором варианте, в своем росте надземных и подземных частей сильно отстают (20 см) от растений при нормальной посадке (50 см). Растения, выращенные при горизонтальном (в 3 варианте) способе возделывания, имея 70 см в высоту, намного опережают растения других вариантов опыта.

ЛИТЕРАТУРА

- Engler A. Lawsonia inermis L. Die natürlichen pflanzenfamilien. Leipzig, p. 15, 1898.
- hegr Gustav. Zawsonia inermis L. Illustrirte flora vom Mittel Europa. Munchen, p. 747; 1926.
- Perrot E. Les matières usuelles [du rogne vegetal], t. II, 1944.
- Ахундзаде И. М. Хна, 1957, т. 46.
- Ахундзаде И. М., Иващенко И. М. Опыты освоения хны в Азербайджане. Труды АзНИИМЕ т. I. 1949.
- Алексеев В.П. Хна (*Lawsonia inermis* L.). Журн. "Субтропич. культуры", 1960, № 4.
- Микаилов М. А. Хна—новое технич. растение Азербайджана. Журн. "Наука и жизнь Азербайджана", 1964, № 2.
- Микаилов М. А. Биология размножения хны на Ашероне. Научн. отчеты за 1964—1967 гг.

Институт ботаники

Поступило 6. V 1968

М. А. Микаильов

Хынанын векетатив чохалма биолокијасына даир

ХУЛАСЭ

Хына (*Lawsonia inermis* L.) Азэрбајҹан шәраитинде јени техники биткидир. Кенетика вә селексија иши үчүн хынанын чохалма биолокијасынын дәриндән өјрәнилмәсінин бөјүк әһәмијәти варды.

1955—1967-чи илләрдән башлајараг, Элчәзаир вә Мисирдән кәтирилмиш тóхумлардан бечәрилмиш хына биткисинин 5 вә 10 см-лик көндә гәләмләри торпаг вә гум субстратларында мұхтәлиф рүтубәтдә вә мұхтәлиф үсулда әқилмишdir. Бу биткиниң гапалы истихана шәраитинде векетатив јолла чохалма биолокијасына даир апардығымыз тәчрүбе вә мұшақидәләрдән ашағыдақы нәтичәләрә кәлмәк олар:

1. Мұәжжән едилмишdir ки, Элчәзаир вә Мисир хына формаларынын 5 вә 10 см-лик көндә гәләмләри јазын әvvәлләрindә Ашерон торпағында вә дәниз гумунда йүксәк рүтубәтли (80%) шәраитдә ашағы рүтубәтлијә (контрола) иистәтән (23%) 3—4 дәфә чох көк бағлајыб, нормал инкишаф едән битки әмәлә кәтирир.

2. Ајдынлашдырылмышдыры ки, бүтүн шәраит вә үсулларда һәр ики хына формасынын көвдә гәләмләри дәниз гумунда Ашерон торпағына иисбәтән чох көк бағлајыр.

3. Бүтүн шәраит вә үсулларда һәр ики хына формасынын бириллик көвдәләрindән көтүрүлмүш гәләмләр өз биологи вәзијәти илә элагәдар олараг јашыл зоғлардан көтүрүлмүш гәләмләрдән артыг көк бағлајыр.

4. Мұхтәлиф үсул вә шәраитдә бөјүрү үстә бечәрилән Элчәзаир формасынын көвдә гәләмләринин (6—10%) гүтблик хассәси Мисир формасындан (3—36%) аз дәжишилир. Белә ки, үфүги вәзијәтдә басдырылмыш Мисир формасы көвдә гәләмләринин гүтблиji Элчәзаириндиндән (10—43%) йүксәк дәрәчәдә дәжишилир (3—33%).

5. Гүтблиji дәжишилиш көвдә гәләмләрindән алыныш биткиләрин II варианта үндүрлүjу (20 см) нормал вәзијәтдә I варианта қындан (50 см) ашағы олур вә үфүги вәзијәтдә III варианта бечәрилән биткиләрдән (70 см) хејли кери галыр..

ЦИТОЭМБРИОЛОГИЯ

Р. К. ГАМБАРОВА

РАЗВИТИЕ МУЖСКОГО ГАМЕТОФИТА У ГИАЦИНТА

(Представлено академиком АН Азербайджанской ССР И. К. Абдуллаевым)

Изучение условий прорастания пыльцы и ее жизнеспособности имеет не только теоретическое, но и большое практическое значение, так как дает возможность определить степень fertильности пыльцы и управлять процессом оплодотворения.

С момента проростания пыльцевого зерна начинается второй этап в развитии мужского гаметофита — появление пыльцевой трубы.

Когда пыльцевое зерно набухает, его содержимое через пору выходит наружу в виде узкой пыльцевой трубы, в которой у гиацинта происходит образование мужских гамет.

Данные о развитии мужского гаметофита гиацинта имеются у Ф. Е. Руденко (1963), а также в ряде работ иностранных авторов Nemec, (1898), de Mol, (1956), Stow (1930, 1933) и др. Авторы в фиксированной пыльцевой трубке наблюдали крупную генеративную клетку и округлое вегетативное ядро; в МКМ некоторых сортов наблюдалась аномалия, приводившая к образованию гигантских многоядерных пыльцевых зерен.

Данных об особенностях и темпах развития мужского гаметофита гиацинта в условиях Ашхерона нет. В связи с этим нами в 1967 г. в Институте ботаники АН Азербайджанской ССР было проведено исследование мужского гаметофита синев цветковой формы гиацинта римского (*H. rotundifolius* L.) и известного культурного сорта „La Victoire“ (*H. orientalis* L.).

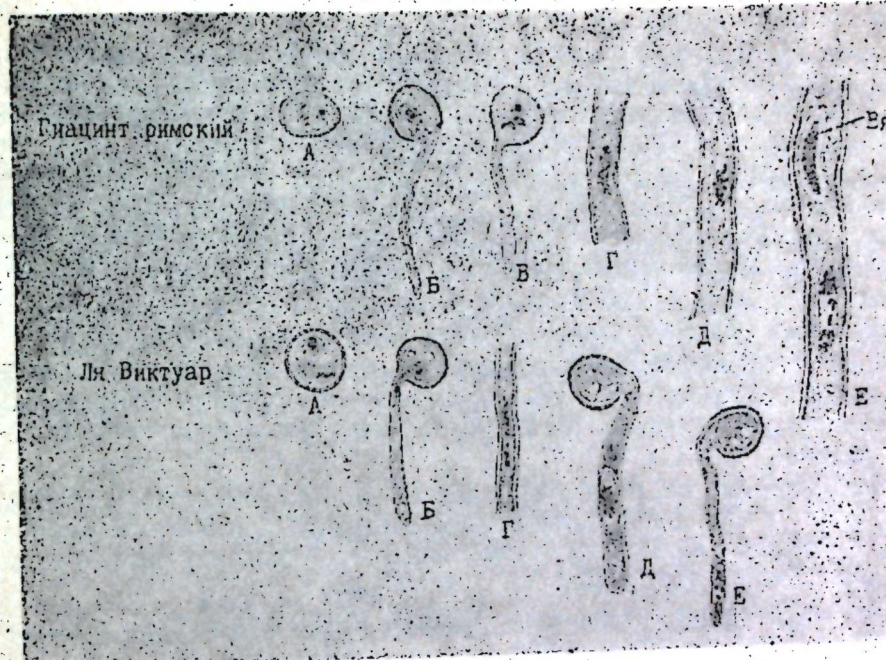
Для изучения была использована пыльца, собранная из бутонов, готовых к распусканью.

У этой пыльцы, пророщенной во влажной камере, в висячей капле 15%-ном растворе сахарозы определялся процент жизнеспособности пыльцы, а также изучался ход гаметогенеза.

Подсчет жизнеспособной пыльцы, производившийся через 24 ч после посева показал, что у *H. rotundifolius* L. ее количество равно 49,2%, а у „La Victoire“ — 40,3%. Известно, что последний садовый сорт гиацинта восточного имеет гибридное происхождение и отличается неправильным мейозом, что и определяет пониженную жизнеспособность пыльцы.

Для исследования гаметогенеза производилась темпоральная фиксация проросших пыльцевых зерен через 30 мин, 1 ч 30 мин, 2, 4, 5 и 48 ч

после посева. Капли с проросшей пыльцой подсушивались фильтровальной бумагой и содержимое пыльцевых трубок окрашивалось ацетокармином.



Развитие мужского гаметофита у гиацинта:
A—двухклеточные пыльцевые зерна; B—прорастание двухклеточных пыльцевых зерен; C—трехклеточное пыльцевое зерно (аномалия); D—профаза деления ядра генеративной клетки; E—анапаза деления ядра генеративной клетки, наблюдается отставание отдельных хромосом; B—вегетативное ядро.

Развитие пыльцевой трубы и отдельные фазы гаметогенеза гиацинта римского и *La Victoire* показаны на рисунке. Как мы видим, зрелые пыльцевые зерна обоих исследованных разновидностей гиацинта двухклеточного типа, генеративная клетка эллиптической формы с крупным вытянутым ядром. Ядро вегетативной клетки круглое, слабоокрашающееся ацетокармином; в пыльцевом зерне оно располагается в центре, в непосредственной близости от генеративной клетки.

Известно, что пыльца гиацинта в искусственной среде прорастает очень быстро (Капинос, 1945).

В наших опытах набухание пыльцы сорта *La Victoire* начиналось уже через 35 мин, а у гиацинта римского — через час после посева. Пыльцевая трубка из проросткового отверстия у обоих сортов появлялась через 2 ч после посева.

Генеративная клетка ранее вегетативного ядра опускается в пыльцевую трубку после того, как ее длина достигает длины, равной 2–3 диаметрам пыльцевого зерна.

В процессе прорастания пыльцевого зерна генеративная клетка быстро растет и приобретает форму, характерную для лилейных, т. е. она вытянута передним концом (рис. Б).

Через 2 ч 20 мин после посева у *La Victoire* и 3 ч 30 мин у *H. rotundifolius* L. в пыльцевой трубке можно видеть ранние стадии генеративной клетки, которая очень хорошо видна, так как в результате фиксации

между пыльцевой трубки и цитоплазмой генеративной клетки образуется щель.

В профазе, которая наблюдается продолжительное время, генеративная клетка заметно удлиняется, а в ее ядре четко обозначается хромативная сеть (рис. Г).

Форма генеративной клетки гиацинта, по-видимому, зависит от общей конфигурации и диаметра пыльцевой трубки, так как мы наблюдали, что изгиб пыльцевой трубки вызывает такой же изгиб в генеративной клетке, если она находится в изогнутой части пыльцевой трубки.

На следующей стадии развития — в метафазе, генеративная клетка становится более симметричной, она удлиняется еще больше и задний ее конец также заостряется. Ядро вытягивается и в метафазе хромосомы располагаются в удлиненной пластинке вдоль пыльцевой трубки (рис. Д).

Анафаза в делящемся ядре генеративной клетки *H. romanus L.* наступает через 5 ч, а у *"La Victoire"* через 4 ч после посева.

Из рис. Е видно, что хромосомы расходятся к полюсам не одновременно, а одна за другой, образуя как бы цепочку. Такой способ расхождения хромосом, вероятно, также обусловлен узким просветом пыльцевых трубок.

Через сутки после посева в отрезках многих пыльцевых трубок у *"La Victoire"* мы наблюдали полностью сформированные спермии — клетки с большим количеством собственной цитоплазмы, расположенной в непосредственной близости друг от друга.

Во время деления генеративной клетки вегетативное ядро в пыльцевой трубке уже не различается.

У *H. romanus L.* мы наблюдали аномальные пыльцевые зерна трехклеточного типа, причем одна спермия была нормальной величины, а другая — меньше, что, по-видимому, обусловлено неправильным делением генеративной клетки (рис. В).

На основании исследования мужского гаметофита *H. romanus L.*, *H. orientalis L.*, *"La Victoire"*, можно сделать следующие выводы:

1. Развитие мужского гаметофита у *H. romanus L.*, *H. orientalis L.*, *"La Victoire"* в пыльцевой трубке происходит одинаково, только у первого вида более ускоренными темпами.

2. Полное развитие мужского гаметофита у исследованных форм гиацинта восточного и гиацинта римского, выращиваемых в условиях Апперона, завершается в период от 2 до 24 ч.

ЛИТЕРАТУРА

1. Руденко Ф. Е. Выращивание пыльцевых трубок у покрытосемянных для изучения сперматогенезиса. Научные записки, т. XVII. Ботаника. Изд-во Львовского гос. ун-та, 1956. 2. Руденко Ф. Е. Исследование мужских клеток у лилейных. Бюлл. ГБС АН СССР, вып. 49, 1963. 3. Капниос Г. Е. Изучение поведения сортов гиацинта на Аппероне. Изв. АН Азерб. ССР, № 12, 1945. 4. Кострюкова К. Ю. Сравнительно-цитологическое исследование пыльцевых трубок лилии мартагон на живом и фиксированном материале. Бюлл. ГБС АН СССР, вып. 14, 1952. 5. Mol de W. E. Nucleolar number and size in diploid, triploid and aneuploid *Hyacinthus*. La Cellule, XXXVIII, 1926. 6. Nemec B. Über den Pollen der petaloïden Antheren von *Hyacinthus orientalis*. Bull. Int. de l'Acad des Sci. de Boheme, V., 1898. 7. Stow J. Experimental studies on the formation of the embryosac-like giant pollen grains in the anthers of *Hyacinthus orientalis*. Cytologia, I, 1930. 8. Stow L. On the female tendencies of the embryo-sac-like giant pollen grains of *Hyacinthus orientalis*. Cytologia, IV, 1, 1933.

Р. К. Гэмбэрэва

Сүнбұлчичәйинин еркек гаметафитинин инкишафы

ХУЛАСӘ

Рим сүнбұлчичәйинин көјичек формасы (*H. romanus L.*) вә мәшіур мәдени сортунун — *La Victoire* (*H. orientalis L.*) еркек гаметафитинин инкишафына даир тәдгигатлар апарылышы. Бунун учун ачылмаға назыр олан бутонлардан топланыш тозчуглардан истифадә едилмидир. Тозчуглар 15%-ли шәкәр мәhlулунда құчәрдилмидир.

Апарылан тәдгигатлар нәтичесинде мә'lum олмуштур ки, еркек гаметафитин инкишафы сүнбұлчичәйинин бу формаларында ежизжет тәшкіл едир. Іалныз *H. orientalis L.* сүнбұлчичәйиндә һәм мин просес дикерләринә нисбәтән хејли тез баша чатыр.

Абшерон шәралтанды сүнбұлчичәйин тәдгиг едилән Шәрг вә Рим формаларында еркек гаметафитин там инкишафы 2—24 saat мүддәтинде гурттарыр.

ФИЛОСОФИЯ

А. А. СЕИД-ЗАДЭ

ЗЮЛЬФИГАР ШИРВАНИ

(Представлено академиком АН Азербайджанской ССР М. Ш. Ширалиевым)

Али Зюльфигар Ширвани (1190±1304), сын Гусейна, является одним из значительных, но совершенно недостаточно изученных авторов Азербайджана, хотя с появлением факсимильного издания его „Дивана“ („A Facsimile of the Manuscript (Or. 9977) of Diwan-i Zu'l-Fakar. The Collected Poems of Zu'l-Fakar Shirwani. Edited with an Introduction by Edward Edwards, M. A.“ Лондон, 1934 г., VI+466 стр. его изучение могло бы значительно продвинуться вперед.

Для критики работы Эдв. Эдвардса, издавшего факсимиле „Дивана“ З. Ширвани, собраниого профессиональным переписчиком Али бин-Муса Маири в 745 году хиджры (=1345 г. н. э.), и для некоторых сведений о самом Маири см. мою статью „О Зюльфигаре Ширвани“, напечатанную в Трудах Института истории АН Азерб. ССР (1957, т. XI, стр. 310—353), а также сообщение о нем в газете „Бакинский рабочий“ от 8 декабря 1948 г.

В данном нашем сообщении мы коснемся лишь одного вопроса: писал ли Зюльфигар Ширвани на азербайджанском языке?

В его время уже были такие авторы, которые, наряду с персидским, писали также и на азербайджанском языке. Из них хорошо известен, например, Гасан-Оглы, у которого как утверждали некоторые тезки-ретисты, был даже целый „Диван“ на азербайджанском языке. К настоящему времени известны лишь некоторые такие его стихотворения.

Были и другие поэты, подписывающиеся как Гасан-Оглы (напр. „Шукюр-оглы“, и др.), у которых также можно предположить такие стихотворения.

Но в „Диване“ З. Ширвани, насчитывающем более 20000 строк (10000 байтов), нет ни одного такого стихотворения.

Это могло случиться по самым различным причинам, в том числе и по вине переписчика-составителя „Дивана“.

Но в этом „Диване“ имеются такие строки, к которым нам теперь необходимо обратиться для разрешения данного вопроса.

Прежде всего существуют две биографии поэта, написанные им самим (в стихах), они помещены в этом „Диване“. В одном из них З. Ширвани пишет о том, что он знает 6 языков, на которых он пишет

прозою и стихами, „настолько умело, что люди слова не смогут к ним придраться“:

به شش زبان سخن از شعر و نظم هیرازم،
چنانکه اصل سخن را ز آن نمانده گزیر.

Поэтому ясно, что З. Ширвани знал свой родной язык и писал на этом языке. Например, письма и т. д. Поэтому же давно установлено, что в быту эти поэты пользовались тюркским языком. Не только простой народ, но и „интеллигенты“ говорили на своем родном языке. Здесь у З. Ширвани слова „умею писать“, надо понимать только в литературном смысле. Само собою разумеется, нет никакой надобности особо доказывать, что и „прозу“ надо понимать в этом же смысле. И это тем более, что в этой связи З. Ширвани указывает на такого признанного прозаика того времени как Пур-Баха. Но, к сожалению, у З. Ширвани не указано: какие же это были именно языки.

Теперь нам остается так или иначе самим определить эти языки. Если остаться даже на традиционной точке зрения, то мы более уверенно можем говорить о принятом тогда термине („Элсине-и Селасэ“) о „трех языках“, под которыми всегда подразумевались тюркский, персидский и арабский.

Об остальных трех языках у самого З. Ширвани можно догадаться, в частности, по тому кругу, в котором он тогда вращался. И тут само собою напрашивается, во всяком случае, знание им языков: монгольского и курдского.

Но вернемся к тому, что можно узнать у самого З. Ширвани о его стихах на азербайджанском языке, причем мы не исключаем, конечно, и прозу, но приводимый ниже текст говорит только о стихах.

Эти данные имеются в одном стихотворении З. Ширвани, помещенном в этом „Диване“ (стр. 145). Стихотворение это адресовано некоему поэту. Оно содержит самую беспощадную брань. Но З. Ширвани не успокаивается. Он пишет тому лицу что „если ты не отстанешь от меня, то я тебе пришлю по-турецки...“. Само стихотворение это написано на персидском языке и угроза прислать „по-турецки“ здесь может означать только другую стихотворную сатиру на тюркском языке. Вот слова самого З. Ширвани:

ورنه ترکی میفرستم با عموم دسهمنک

Основываясь на этом, нам кажется, что можно говорить о том, что З. Ширвани писал также и на азербайджанском языке. Если бы адресат не знал тюркского языка, то и З. Ширвани незачем было бы угрожать прислать ему стихи на тюркском языке.

Но тот, несомненно, поэт. Слова З. Ширвани в этом не оставляют никаких сомнений. Писал ли (стихи) и тот поэт по-турецки, мы еще не знаем, но уже и сейчас из различных источников хорошо известно множество таких случаев, когда о поэте, казалось бы только персоязычном, мы неожиданно узнаем, что какой-то другой поэт несколько раз писал ему стихи на азербайджанском языке и это дает повод считать, что тот также писал на азербайджанском языке. Так, например, поэт Сеид-Мухаммед Неджефи известен был только как персоязычный поэт. Но вот сохранилось 2 больших письма в стихах, которые написал ему М. Физули на азербайджанском языке. В самом стихотворении Физули можно найти указание на то, что письмо его является ответом на полученное от него письмо, причем, в некоторых местах

М. Физули явно повторяет слова С. М. Неджефи из его стихотворения. Следовательно, теперь можно не сомневаться в том, что и сам Сеид-Мухаммед Неджефи также писал ему на азербайджанском языке.

Этот вопрос, конечно, должен еще изучаться. Но слова З. Ширвани таковы, что даже если когда-нибудь и не будут обнаружены какие-либо его стихи на азербайджанском языке, все же не может уже вызвать сомнений то, что З. Ширвани писал на азербайджанском языке, стихами и прозою.

Институт философии и права

Поступило 21. V 1968

Э. Э. Сәндзадә

Зүлфүгар Ширвани

ХУЛАСӘ

Мә'лумдур ки, Зүлфүгар Ширванинин „Диван“ы тапылмыш вә о, фототипик үсул илә чап да едилмишdir (Лондон, -1934-кү ил)?

Бу „Диван“да онун Азәрбајҹан дилиндә јазылмыш һеч бир ше'ри јохдур. Лакин доғруданмы о, Азәрбајҹан дилиндә ше'р јазмырды?

Бу хүсусда соҳдан шүбһәләр вардыр. Чүнки З. Ширвани фарсча бир ше'риндә өзү дејир ки, „мән алты дилдә ше'р вә нәср илә сөз јазырам!“. Ола биләрми ки, „Диван“ы илә танышлыгдан соңра вәтән-пәрвәрији тамамилә ашкара чыхарылмыш шаир өз ана дилиндә һеч бир ше'р јазмасын? Һәм дә сөз алты дилдән мәдир. Ола биләрми ки, бу гәдәр дилләrin ичәрисиндә ана дилинә јер вермәсин?

Бу мәсәләни һәлл етмәк учун „Диван“да диггәти јени چәлб едән јер будур: З. Ширвани бир шаирә фарс дилиндә јаздыры бир ше'рде дејир ки, әкәр мәндән әл чәкмәсән, „О заман сәнә түркчә көндәрәрәм“. Бурада „туркчә“ сөзу анчаг ше'р илә јазылмыш бир әсәр барәсindә дејилә биләрди.

ЕПИГРАФИКА

С. НӘСИРОВА, Э. М. КУРДУСТАНИ

БАЈЫЛ ДАШЛАРЫНЫН ОХУНМАСЫ

(Азәрбајҹан ССР ЕА академики Ә. Ә. Элизадә тәздим етмишdir)

Эсрләр боју алимләrin вә сәјјаһларын диггәтини Бакы бухтасында Хәзәр дәнисинин дилиндән тапылмыш эфсанәви Сәбайл шәһәринин галылары чәлб етмишdir.

Әкәр бу күнә гәдәр онун нә сәбәбә көрә Хәзәрин суларында гәрг олмасы мә'лум дејилдirdә, еләчә дә дәнис сују сәвијјәсинин ашафы дүшмәси нәтичәсindә сујун үзүнә чыхан абидәнин тарихи кечмиши вә нә мәгсәдлә тикилмәси намә'лум галмышдыр. Онун карвансара, дини сәчијjәли бина, мудафиә истеһкамы вә с. олдуғу еңтималы кифајәт гәдәр тәсдиг олунмамышдыр. Ола бىлсии ки, бу абидәнин сирри ону вахты илә кәмәр шәклиндә әнатә етмиш, үзәриндә јазы вә тәсвиirlәr олан дашлардадыр. Халг арасында бу дашлara „Бајыл дашлары“ дегилир.

Бу вахта гәдәр дашларын охунмасы тәсадүfi характер дашымышдыр. Охунмуш дашлар исә тәсадүfән бир јердән чыхарылмыш вә өзлүйүндә охунан дашлар олмушлур.

Үзәриндә устанын ады јазылмыш 2 дашда:

عمل استاد زین دین بن ابو رشید شیروانی
(эмәл устад бин Зејнәddin Эбу Рәшид Ширвани) тарих јазылмышдыр.
تاریخ سال بر شخص دو... تاریخ سال غر شخص بر

Гочаман алим И. М. Җәфәрзадә, Е. А. Пахомов, И. А. Шеблинин вә башгалары 5 даш вә 4 дашдан башга галан тәк-тәк дашлар үзәриндә Эли, Мәһәммәд Мәнучеһр, Гуштасиб Кәршаeb, Фәрибурз кими адлары Султан, шаһ титуллары, Бакы, Шамахы вә с. шәhәр адларыны охумушлар.

Гејд етмәк лазымдыр ки, һәлә дашларын һамысы тамамилә дәнисин дилиндән чыхарылмамыш вә әлдә едилән 636 дашын үзәриндә исә тәдгигат апарылмамышдыр. Дашларын охунмасы, тәсвиirlәrin ачылмасы, епиграфчыларын гарышында мүһум бир мәсәлә олараг галмагдадыр.

Ширванشاһлар сараы дөвләт тарихи мә'марлыг горуг музейинин фондунда саҳланан „Бајыл дашлары“ тәртиб едилди жаман дашларын ардычыл гурашдырылмасы мүшәнидә олунмушлур.

Сараын мудириjjәти тәрәфиндән дашларын охунмасы учун мүнәсib тәдбиrlәr көрүлмушлур. Әлдә олан имканын нәтичәсindә 3 илә јаҳындыр ки, дашлар үзәриндә елми әсасларла гурашдырма ишләri

апарылараг даш хәтт вә ишләмә үсулuna көрә тәртиб ёдилмишdir. Онлардан 200=ә гәдәр даш исә ардычыл гурашдырылмышдыр. Бу да бир сыра мүһум мәсәләләр һағында гәти һәкм вермәк имкани җаралыр.

Јазылар әсас е'тибарилә фарс вә әрәб дилләриндә јазылмышдыр.

Нәлә 1946-чы илдә Бакы бухтасында апарылмыш археологи ишләрин рәһбәри И. М. Җәфәрзәдә шимал тәрәфдә кириш һиссәдә тапылмыш фрагментләрә әсасен белә мұлаһизә йүрүтмушдур ки, бинадакы јазылар „бисмиллаһ“ сөзү илә башлајыр.

Нәмий Јөрдән тапылмыш 3 даш бисмиллаһ илә башланып дини сөzlәrin

фрагментләриди. Ени гурашдырылмыш даш бириичи дашла 3 дашы

бир-бирилә бирләшдирир. Ардычыл олараг бирләшдирилмиш 5 дашда

6 дашда (بِسْمِ اللَّهِ الرَّحْمَنِ الرَّحِيمِ) بисмиллаһ Әлрәһим Әлрәһим һаза

(Рәһимләриң рәһимлиси аллаһыны адына бу тарихдә) сөzlәri охунур.

Бунула да јени гурашдырылмыш даш Бакы бухтасындакы бинанын јазысынын шималдан „бисмиллаһ“ илә башланмасыны тәсдиг ётмәклә,

онун там охунушуну верир (1-чи шәкил).



1-чи шәкил.

Бу дашдан соира кәлән она ардычыл битишдирилмиш 3 дашда (үмманұл мұлқұл әзим)—әзәмәтли дәнiz мұлқу сөzlәri охунур. Ени нөв һәрифләрдә јазылмыш 2 вә 3-чү дашларда: (Тәнбуран), (Ширван), (Килан), (Ширван шаһ Тәнбураны) вә с. Јер адлары охунур. (1-чи шәклә баҳ).

Охунмуш дашлар ичәрисинде тәсвиirlә верилмиш Ширваншаһларын адлары нәзәр диггәти чәлб едир.

Вахты илә И. М. Җәфәрзәдә тәrәfinidәn үзәrinde симметрик исан тәсвири олан 2 дашда Ширваншаһ Фәрүбүрзүн ады охунмушdur. Фәрүбүрзүн ады илә бағлы олан, үзәrinde гоша симметрик шир вә гуш башлары тәсвири едилмиш даһа 2 Фәрүбүрз јазылап даш ашқар ётмәк мүмкүн олмушdur.

Мүхтәлиф тәсвири Фәрүбүрзләр Ширваншаһлары I, II вә III фәрүбүрзләриди. Еңтимал едилир ки, тәсвиirlәr оиларын рәмзләриди. Бурада симметрик тәсвиirlәr бутадан шахә шәклиндә айрылыр. Ени бутаны үзәrinde Ширваншаһ Мәнүчөһрун ады олан башга дашларда да көрмәк олар.

6 дашда (فَرَخْزَادُ بْنُ دِنْوَجَور) فәррүхзад бин Мәнүчөһр охунур.

Јазынын үстүндә верилмиш бутадан симметрик гоша гуш вә шир башлары айрылыр (2-чи шәкил).



2-чи шәкил.

Дашларын ичәрисинде Ширваншаһ „Мәһәммәд—محمد“، „Әһмәд—أَهْمَد“، „Хосров шаһи“—خسرو شاه، „Мәһәммәд шаһ бин хәлифе“، „احمد“، „محمد شاہ بن خلیفہ“ вә с. адлары јазылмыш гоша дашлар да вардыр.

Ардычыл гурашдырылмыш 10 дашда Ширваншаһлар сұлаләсииннін ардычыл сәчәрәси верилир (Әһмәд бин Мәһәммәд бин Језид бин Мәһәммәд бин Језид бин) вә арды давам едир.

Бурада адларын үстүндән верилән Ширваншаһларын рәмзләрини көстәрән гоша исан, шир, ат, гуш тәсвиirlәri сәнәткар тәrәfinidәn бөյүк мәһәрәтлә ишләнмишdir.

Үзәrinde (مَرْدَاد) сөзү јазылмыш 2 даш охунмушdur (мордад фарсларда июнун 23-дән августун 22-нә гәдәр олан ај адыдыр).

Шир тәсвири олан 3 дашда سلح (сүл) сөзү охунур. Бу, мүәjjән адлары көстәрән рәббиәлахыр демәкдир. Тәсвири исә или тәмсил едән амил ола биләр.

جماعت شهر شماخى
Мараглы гурашдырылмыш дашлардан 2-сүндө (Чәмаэти шәһри Шамахы) сөзләри охунур. Бу, ола билсии ки, зәлзәлә нәтичәсүндө һәлак олмуш Шамахы чәмаэтине ишарәдир.

Күрчү түпине охшајан гадын башынын тәсвири верилмиш 2 даш күман ки, азәри халгы илә күрчү халгынын јаҳын гоһумлуг мұнасибәтиндән ирәли кәлмишdir. О вахтлар ширваншашлар илә күрчүләр арасында гоһумлуг мұнасибәти олмушdur. III Мәниучөйр җүрчү шаһы IV Давидин-гызы илә евләнмишdir. Башга дашда Тифлис сөзү дә охунур.

Дашларын гурашдырылмасындан нәинки бүтөв бир сөз вә ја сөз бирләшмәләри, һәтта ажры-ажры дашлары (узәриндә бәдәнинин бир һиссәси олан) гурашдырмагла бүтөв бир һејван тәсвири дә алышыр.

Ардычыл гурашдырылмыш 2 дашда башыны кәркин ашағы әјмиш јем вә ја су ичмәкә мәшгүл олан өкүз тәсвири едилмишdir. Тәсвири дән ашағыда султан охунур — **سلطان**.

Гејд етмәк лазымдыр ки, „Бајыл дашлары“ ичәрисинде мүхтәлиф формалы чохлу өкүз тәсвиirlәrinә дә раст кәлмәк олур. Бу саһә хүсуси елми-тәдгигат иши тәләб едир.

Башга 2 дашын гурашдырылмасындан архасы илә бир-биринә симметрик Јерләшдирилмиш гоша һејван тәсвири верилмишdir. Пишик чинсине (Пантера) охшајан бу һејванларын архасы бир-биринә тәрәф отурааг, башларыны кәркин сурәтдә ашағы әјәрәк аягларыны бирләшдирилмишdir. Бурада **پدر** (педәр) сөзү айдын охунур.

Узәриндә јазынын фрагменти алынан 2 дашда отурмуш һалда ит тәсвири олунмушdur.

Өз формасы вә хәтти е'тибарилә, — јухарыда һагында данышылан дашлардан фәргли олааг, ардычыл бирләшдирилмиш 12 даш ортадан ики һиссәјә бөлүнмүш, јухары вә ашағы һиссәләриндә јазы јазылмышдыр. Бурада јухарыда

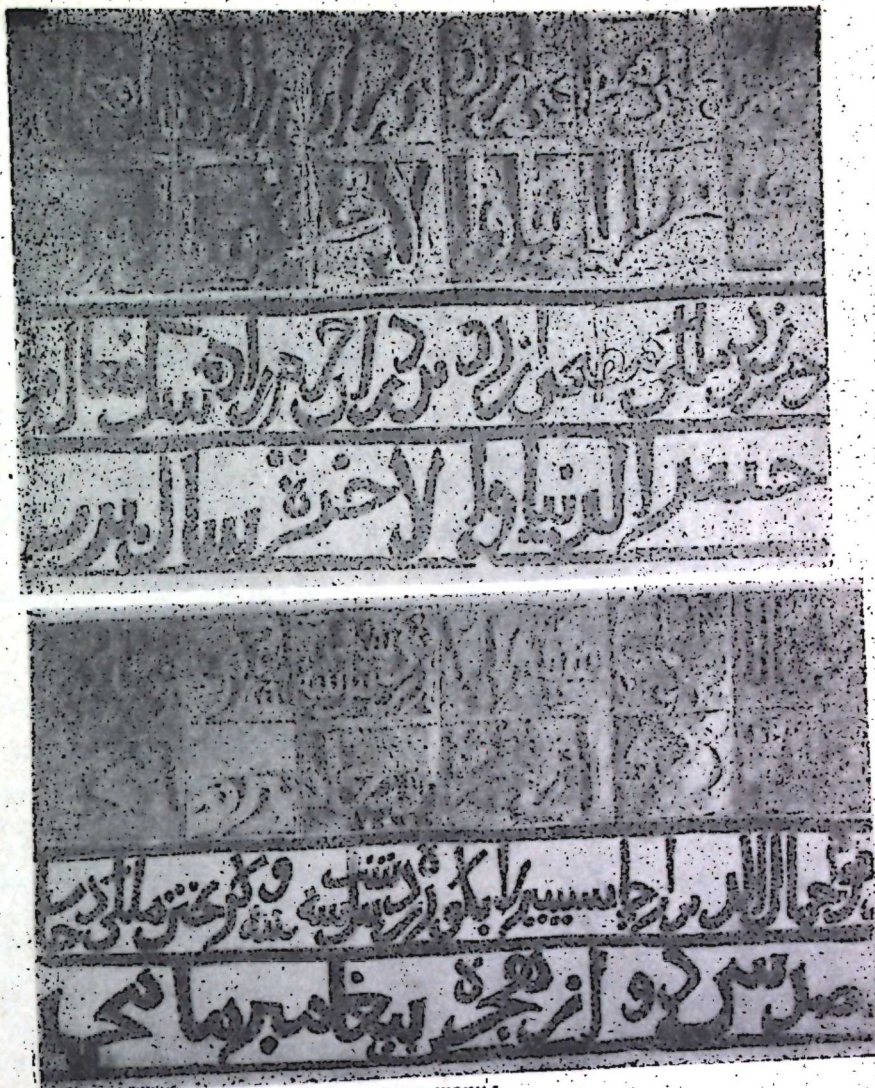
زخم زدن ِملک مصلی از دو برادر حرامزاده سگ فعال
مرحوم جمال الدین ... بکو در دشت پیل سه ... گرختن ملکی ...
ашағыда

حضرالدنيا و الآخرت سال بر شخصی دو از هجرت پیغامبر مامحمد
сөзләри јазылмышдыр. Бу јазы зәлзәлә нәтичәсүндө дағылмыш, суја гәрголмуш хәрабәләрин, халг арасында Сабайл дејилән әфсанәви шәһәрин һәгигәтән мәвчудлуғуну күман етмәјә имкан верир. (3-чү шәкил).

Тәртиб олунмуш дашлар ичәрисинде үстүндән зәңчир шәклиндә чәкилмиш, өзүнәмәхсүс хүсуси формасы олан орнаментләр дә мараглыдыр. Орнаментләр 2 вә 3 дашда гурашдырылмышдыр,

Умумијјәтлә, „Бајыл дашлары“ ичәрисинде бу вахта гәдәр 630 вә 632-чи или көстәрән ики чүр тарих охунмушdur.

XII әср Ширванда мәдәнијјәтин ән чичәкләнмә дәврүндә тәсадуф едән бу абидәнин бөյүк усталыгla дашда һәкк олунмуш јазы вә тәсвиirlәri о дәврдә Азәрбајҹанда сәнәткарлығынын инкишафынын чанлы тимсалыдыр.



3-чү шәкил.

Халгымызын тарихини өјрәнмәкдә гијматли хәзинә һесаб едилә билән “Бајыл дашлары”нын охумасы, надир бир абидәнин сиррини ачмагла шәһәримизин тарихини даһа да зәнкүнләшdirәчәкдир. Дашлар узәриндә тәдгигат иши давам едир.

Айнанышыр 15. IV 1968

Тарих институту

С. Насирова, А. М. Курдустанн

Расшифровка Баиловских камней

РЕЗЮМЕ

Не одно столетие тревожит умы ученых и путешественников вопрос о древнем Сабаиле (т. е. „Баиловских камнях“) в укрепленном сооружении в Бакинской бухте, когда-то затопленной водами Каспийского моря.

До сих пор не ясно как и когда погрузилось данное сооружение в воды Каспия, а также когда сооружение в связи с падением уровня моря уже полностью обнажилось, остается неясным вопрос о его историческом прошлом и функциональном назначении.

Предположения о том, что, это каравансараи, культовое сооружение, сторожевая таможня и т. п. до сих пор ничем в достаточной степени не подтверждены. Очевидно, разгадка должна быть найдена в замечательных фризовых надписях, которые в свое время опоясывали стены сооружения.

Между тем, до сих пор чтение надписей в общем носило почти случайный характер. Это главным образом отдельные слова или фрагменты слов, которые полностью читаются на отдельных плитах или в некоторых парных камнях.

Прочитано было И. Джадарзаде имя мастера Зеинаддин Абурашида Ширвани, Е. А. Пахомовым установлена дата 630 и 632 г. хиджры. Вопрос о прочтении текстов и расшифровки камней все еще не решен эпиграфистами, историками, искусствоведами.

Баиловские камни хранятся в Гос. историко-архитектурном музее-заповеднике. Во время систематизации камней выявились возможность последовательно соединить камни и расшифровать их. До настоящего времени систематизировано 450 камней, из которых более 200 расшифровано.

ЭДЭБИЙДА ТАРИХИ

Ч. ГЭҮРЭМДАНОВ

ЭЙМЭД ИБН-ВЕЙСИН АЗЭРИЧЭ ГЭЗЭЛИ

(Азэрбајҹан ССР ЕЛ академики М. Ш. Ширванијев төггүли етмишдир)

XIV əsrin sonlarynda, 1ıncı 793 (1390)-chu ilde Misir Məmlükü Berkokun saraı şairi Seyf Sarayı Cə'di Shirazinin "Küləstan"ıны түрк-gypchag dilini tərcümə edərək, əsəri

("Kitabi Küləstan bit-türki") adlanıryrlar¹. Bəyuk İran şairi Cə'di "Küləstan"ınyınl ilk tərcüməsi saýylan bu əsərin türk dillərinin tarixini. Əfrəmək nəfteyi-nəzərinən bəyuk əhəmiyyəti vardır².

"Kitabi-Küləstan bit-türki" əsərinin ən gədim və vahid əlјazma nüsxəsi Hollandiya Akademiyasyny Leјden kitabxanasыndadır³ saxlanılyr. Bu nüsxənin giymətli, çəhətlərinən biri də əlјazmasınyınl sonunda 1əcənoğlunuñ azəriçə jekanə gəzəlinin, türk dillərinde yazan XIV əsr şairlərinən Məvlana Gazi Məhsünum, Məvlana İchagan, Məvlana İmad Məvləvinin, Əbdüləməcidin, Tuğlu Xəchənin və Məhəmməd Küləstannının əsərlərinən poetik nümunələrin verilməsidi.

Əlјazmasınyınl sonunda jazylmış şe'rlerdən biri Sultani Ehmedə həsr olunmuşdur:

لکاتبہ العالی مہمود کلستانی
جون کلڈی ایسا مصروفا سلطان احمد
کیلتوردی جمع بزلار کا جان احمد
عالمنی مشرف قیلور اوش اظفیلا
شفزادہ و شاہ و جان و جانان احمد.

¹ Seyf Sarayı. Gülistan tercumesi, Prof. Dr. Feridun Nasır Uzlukun önsözü ile birlikte, Türk Tarih Kurumu Basimevi, Ankara, 1954; A. Battal, Taymas, Seyf Sarayıının Gülistan tercumesini gözden geçirilmiş, Türk dili araştırmaları ylligi, belleten, Türk Tarih Kurumu Basimevi, Ankara, 1955, s. 73—92; Ağah Sürrit Levend, Tařih boyunca Türk dili, Türk Tarih kurumu Basimevi Ankara 1961, s. 7. Э. Н. Нагиев, Кыргаксо-огузский литературный язык Мамлюкского Египта XIV в., М., 1965, Автореферат докторской диссертации.

² Е. Н. Нагиев. Кестәрләнән асари.

³ R. P. Dozy. Catalogue Codicum orientalium TI. № 355.

„Ликитаби-эл-Али Маһмуд Құлустани“

Чүн кәлди исә Мисирға Султан Эһмәд.
Күлтүрди чәм' бизләргә чан Эһмәд.
Аләмин мүшәррәф гылур уш лутфиә
Шәһзадәвү шашу чану чанан Эһмәд.

Тәдгигатчылар һәмин ше'рин Азәрбајчан вә Ираг һәкимдары Султан Эһмәд Җәлајирә һәср олундуғуна гејд едирләр⁴.

Султан Эһмәд 1382-чи илдән 1410-чу илә гәдәр мұхтәлиф фасиләләрлә Азәрбајчанда һакимијәт сүрмүш⁵. Төјмурләнкин 1384—1387-чи илләрдә Ираны, Азәрбајчаны вә Ермәнистаны, 1393-чу илдә Бағдады, Әлчәзаири, Дијарбәкри вә Ван вилајәтләrinни ишғал етди заман га- чараг Мисирә кетмиш⁶ вә Султан Бәркока сыйнышдыры⁷.

Азәрбајчан тарихинде Султан Эһмәд Җәлајирин һакимијәти дахили вә харичи сијаси чарышмалар дөврүнү әнатә едир⁸. Данми мүбәризә вә мұнарибәләрлә өмрүнү кечирән, халғын һесабына өз шәхси мүл- кијәттин артыран, варланмаг наминә халғы сојуб-талајан, құнүнү еш- ишрәтдә кечирәрәк дәвләт ишләрини башлы-башына бурахан вә нәна- јэт, һөкмранлығыны әлиндән вәриб таҳт-тачындан мәһрум олан, гачыбы Мисир мәмлүкүнүн һимајесинә сыйынан бир шәхс һаггында сарај шапи Маһмуд Құлустанин мәді демәси нә илә изәһ олунмалыдыр? Мәддән сарај шапи мүфлисләшмиш, өзкәсинин голтуғуна сыйынараг имдад истәјен кечмиш шаһдан нә кими ән'ам қөзләјә биләрди?

Мәнбәләр көстәрик-ки, өз гәддарлығы, залымлығы вә деспотизмы илә Җәлајирләр сұлаләсиин ән рәзил һәкимдары олан Султан Эһмәд ейни заманда қөзәл мусигици, һәссас, хош тәбли бир шаир олмуш, шаирләр, мусигичиләр мәчлисini бүтүн յығынчаглардан үстүн тутмуш- дур. Султан Эһмәдин атасы Султан Үвејс Сәлман Савәчи, Үбејди Закани кими мәшүр шаирләри өз сараында һимајә едирди. Султан Үвејс ше'рә, сәнәтә бөյүк гијмет верир, өзү дә ше'рләр җазырды. Оғлу Эһмәд, шүбһәсиздир-ки, әдәби бир мүһитдә тәрбијәләнir, көркәм- ли шаирләрин әсәрләрини динләјир, ше'рләрини охујур, бир нәв шаир- лијә, сәнәтә һазырланырыды.

Султан Эһмәдин әрәб, фарс вә азәри дилләrinдә ше'рләр җазды- ныны, ше'рләrinн мусиги сәдалары алтында охуңдуғуна, зәмәнәси- ниң ән мәшүр мусиги хадимләрини һимајә етдиини бүтүн мәнбәләр көстәрик. Бөյүк алым вә мусигишунас мәлаһәтли сәсина көрә „Әбдүл- гадири-Күjәндә“ ады илә мәшүр олан⁹ Хачә Әбдүлгадир Марағаји Султан Эһмәдин һимајесинде иди. „1386-чи илдә Төјмур Азәрбајчаны истила етди заман о да өз һамиси Султан Эһмәдлә бирликдә Бағ- дада гачыр¹⁰“.

⁴ Seyf Saray I. Gölüstan tercümesi, Türk Tarihi Kurumu Basımevi, Ankara, 1954 s. XII; Э. Н. Наджип. Кыпчакско-огузский литературный язык Мамлюкского Египта XIV века, докторская диссертация, М., 1965, с. 149—150.

⁵ А. А. Ализа дә. Социально-экономическая и политическая история Азербайджана XIII—XIV вв. Изд-во АН Азерб. ССР, Баку, 1956, с. 340; А. К. Марков. Каталог Джекалиридских монет, СПб., 1897; W. Barthold. Ahmed Djalaig. Enzyklopädie des Islam, Band, I, Leiden—Leipzig, 1913, с. 208—209.

⁶ Э. Э. Элизадә. Көстәрилән әсәри, с. 384, 387; һәмид Араслы. XIII—XIV әсәрләrdә мәденијәт, Мұхтәсәр Азәрбајчан әдәбијаты тарихи, I чилд, Бакы, 1943, с. 109.

⁷ W. Barthold. Көстәрилән әсәри, с. 209; Seyf Saray I. Gölustan tercümesi, с. XII.

⁸ Э. Э. Элизадә. Көстәрилән әсәри, с. 342.

⁹ محمد على طربت، دانشمندان آذربایجان، طهران، ۱۳۱۴، ص ۱۶۲—۱۶۴

¹⁰ М. Гулузадә. XIII—XIV әсәрләrdә Азәрбајчан әдәбијаты, Азәрбајчан әд- бијаты тарихи, I чилд, Азәрбајчан ССР ЕА Нәшријаты, Бакы, 1960, с. 199.

Хачә Әбдүлгадир Марағаји, 1382-чи илдә Султан Эһмәд тахта чы- харкән, она төһфә олараг „Дөври-шәһи“ әсәрини җазмышдыры¹¹. Муси- гијә, сәнәтә вә ше'рә бөйүк гијмет-верән Султан Эһмәдин дөврүндә „һәтта Иран лирикасынын бабасы һафиз Ширази белә, бу сарајлара гәсидә тәгдим етмәјә мәчбур олурdu.“ Һафизин Султан Эһмәдә җаздыры

احمد الله على معللة السلطاني
احمد شيخ اويس حسن ايلخاني
خان بن خان شهنشاه شهنشاه نژاد
آنکه موزیب اکرخان جهانش خوانی¹²

мәднијәси мәшһурду:

Султан Эһмәдин 1267 бејтлик фарсча бир „Диваны“ Истамбулда Aja. Софя қитабханасында 3924 нөмрә алтында мұнағизә олунур. Իә- мин „Диван“ нұсхәси 800 (1397)-чу илдә шайрин өз сағлығында Бағ- дадда Салеи bin Әли әр-Рази тәрәфиндән көчүрүлдүү ашағыдакы гејддән мә'лум олур:

خليم بكتابه هذه الشرقيات المباركة الشريفة أقل العباد صالح
بن على الرازي غرة جمادى الثانى سنہ ثمانمائة الهالايمہ بمدنیة
السلام بغداد حماها الله تعال عن الأضداد.

Султан Эһмәд ше'рләрини Эһмәд бин Вејс, Эһмәд ибн Шејх Үвејс, Ибн-Вејс тәхәллүс илә җазырды¹³. Шайрин азәричә җаз- дығы бир гәзәли 840 (1436)-чи илдә тәртиб едилмиш „Мәчмүәтүн-Нә- заир“ вә 918 (1512)-чи илдә җазылмыш „Чами-Үн-Нәзәир“ адлы мә- муәләрдә верилмишdir. Бу ше'рин XIV әср Азәрбајчан әдәбијаты вә әдәби дили үчүн гијметини нәзәрә алараг чап олунмасыны әнәмијәт- ли һесаб едирик:

كيم ола дүн күн ишиңдә فیکر تەدبر ےلәمәز،
نەلәسүن تەدبرى بەندە چۈنكى تەگدىر ےلәمәز.

ھەر چەندىن بەندە چۈنكى تەگدىر ےلەمەز،
ھەر چەندىن بەندە چۈنكى تەگدىر ےلەمەز.

أجاتي-نەھىي گەسمىنا¹⁴ مەنисىن ھەر کىم بىلە،
جەف'ەلۇللاھ ما-جەشا¹⁵ بىر سىرىن تەفسىر ےلەمەز.

ھەر کىمە олду مۇھىسىر ھۇنچى-ھۇنچى-مە'rifەت،
پادишانى-ۋەت ۋەلەپىر، ھىمەتىن-میر ےلەمەز.

أرىف ۋەلۇر ھالىجا، ۋەشى ەلەمەلەپىر ھەنەجەن،
شەنەجەن ۋەشەرابۇ ىۇغۇل تەڭسىر ےلەمەز.

ھەر کىمەن كىم، ەگلى ۋاردىر ۋەلەپ ھالى ھەنەپ،
بۇ گۇنى دانلاجا گوجب، انى تە'خىر ےلەمەز.

¹¹ һәмид Араслы, Көстәрилән әсәри, с. 109.

¹² һәмид Араслы. XIII—XIV әсәрләrdә Азәрбајчан әдәбијаты, Мұхтәсәр Азәрбајчан әдәбијаты тарихи, I чилд, Азәрбајчан ССР ЕА Нәшријаты, Бакы, 1943, с. 116.

¹³ Sadeddin Nuzhet Ergün. Türk Şairleri. İstanbul, 1930, с. 294.

¹⁴ Гур'янда—„Нەھىي گەسمىنا“ ајас (биз анд ичдик)

¹⁵ „Allah истәдијىل ىشىي едәр“.

Дэфтәри-емри-несабы ахир олду чанилии,
Бэд эмэлдир, чуз гаму биңүдэ төвфир ејләмэз.

Дэм кечөрми мэрдуми-дилхәстәйи-чешмим бәним?
Бу сиришки-лаләкүндән намә тәһирir ејләмэз.

Гумризу булбул охур һаг зикрини һәр дэм, вәли
Эһмәд ибн-Вејс охур, бу сези, тәктир ејләмэз.

Султан Эһмәдин фарс дилиндә Јаратдыры ше'рләр дә јүксәк поетик дилдә бөյүк сәнәткарлыгla җазылмышдыр. Онун шаирлик истедаина јүксәк гијмәт верән мұасирләри Султан Эһмәдә мәднијәләр, ше'рләр вә поетик парчалар һәср етдикдә ону тахт-тач саһибиндән даһа артыг бир шаир кими танымаг истәмишләр. Одур ки, бөйүк һафиз кими Мәһмуд Құлустани дә гачгын султанын дејил, мәһіз шаир Эһмәд ибн-Вејсин шәрәфинә мәдһи демишdir. Бу гәзәл көстәрир ки, инкишафда олан азәри әдәби дили һәсәноглу, Гази Бүрһанәддин, Имадәддин Нәсими вә башга сәнәткарлар йетишdirди кими, Чәлаирләр нөкмдарынын сарајына да сирајәт ејләмиш, ез поетик вүс'әтини, јүксәк ше'ријәт гүдәретини сүбүт етмишdir.

Республика Элжазмалары Фонду

Алынмышдыр 4: II 1969

Дж. В. Каграманов

Азербайджанская газель Ахмеда ибни Вейса

РЕЗЮМЕ

„Китаби-Гулистан бит-турки“ тюркоязычного поэта мамлюнского Египта XIV в. Сейфа Сараи является первым переводом на тюркский язык знаменитого произведения великого персидского поэта Саади Ширази „Гулистан“. В рукописном списке произведения Сейфа Сараи наряду со стихами тюркоязычных поэтов XIII—XIV вв. Гасаноглы, Гази Мохсун, Исхака, Имада и др. имеется также четверостишие Махмуда Гулистани, посвященное правителю Азербайджана Султану Ахмеду ибни Вейсу. Ему же посвящена касида „отца персидской лирики“ Хафиза Ширази.

Примечательно то, что как тюркоязычный поэт Махмуд Гулистани, так и персоязычный лирик Хафиз Ширази посвятили свои стихи Ахмеду ибни Вейсу не в тот период, когда он являлся владыкой азербайджанских и иракских земель, а тогда, когда притесняемый тимуридскими войсками султан был отречен от престола, бежал в Египет и находился на попечении мамлюнского султана Беркока. Какую же цель преследовали поэты, посвятившие стихи отреченному султану?

Султан Ахмед ибни Вейс является самой мрачной личностью из династии Джелаидров. Вместе с тем, он был незаурядным музыкой, искусственным поэтом и покровителем мастеров художественного слова.

В Турции в Истамбульской библиотеке „Ая София“ под шифром 3924 хранится „Диван“ Ахмеда ибни Вейса, который переписан при жизни самого поэта в 800 г. х. (1397 г.). В данный персидский „Диван“ включена и одна газель поэта, написанная им на азербайджанском языке. Данное стихотворение печатается в Азербайджане впервые.

Хафиз Ширази и Махмуд Гулистани посвятили свои стихотворения не султану, а поэту Ахмеду ибни Вейсу, который писал свои стихи также под именем Султан Ахмед, Ибни Вейс, Ахмед ибни Шейх Увейс.

МУНДӘРИЧАТ

Ријазијат

Ә. М. Эһмәдов. Банах фәзасында спектрал параметрләри раисонал асылы олан тамам кәсилемәз операторларын мәхсуси вә ғошма элементләри системини тамалығы һағында

несаблама метод вә техникасы

Б. Э. Эзимов, Ш. М. Рәһимов. Параметрик програмлаштырma методунун бир су-нефт сәрнәддинин идарәолуунма мәсәләсүнин һәллини тәтбиғи

Енергетика

Ч. М. Чуварлы, Т. А. Нуруммәдов. Сәһра чиркләнмәләри шәрәнтиндә јүксәк кәркишлекли хәтләрни изоласијасынын сечилмә мәсәләләри

Кимja

Р. Һ. Исмаилов, С. М. Элиев, Н. М. Мәммәдәлиев, В. И. Мајстер. Фенол вә крезолларын олефиналәрлә алкилләшмә мәңсулларынын алкиленол ефирләrinин чеврилмәләrinин хромотографик тәдгиги

Б. М. Мәммәдәлиев, Р. Һ. Исмаилов, Й. И. Токаров. Толуолун метанолла тәэсир аттында каталитик алкилләшdirilmәsн

Микробиология

Ә. М. Гулиев, И. И. Намазов, М. Э. Һачыева, Ј. М. Кәримова. Трансформатор яғы парапинидән алынан зұлалинин биосинтезине рН-ны тәсирі

Үзви кимja

Шамхал Мәммәдов, Е. Ш. Мәммәдов, А. Б. Агоронов, С. В. Һүсейнова. 1-фенил-2-циклоексокситетанол-1-ин мүрәккәб ефирләrinин синтези вә тәдгиги

Ә. Һ. Исмаилов, М. М. Һүсейнов, Ф. Е. Чавадов, Н. Ф. Мусајева. Тициклоексил-β-хлорвинилкетонун фенол вә нафтолла гарышылыгы тәсирі һағында

Кеокимja

Ә. Ч. Сүлтәнов, Е. Н. Эфәдиев. Қичик Гафгазын чәнуб-шәрг һиссесинин Үст Іура яшлы чөкүнүләрнин элементләрini қеокимjәvi хүсусијәтләри һағында

М. Э. Гашгай, С. М. Һачыев. «Азәрбајҹан-нафтусасы» вә ону Украина ССР-дәки Трускавес «нафтусасы» илә мугаисәсі

Нефт қеолокијасы

В. З. Симхажев, С. С. Сәмәдов. Шимали Дағыстан шәрәнтиндә нефт, газ вә газ конденсаты јатагларынын ахтарылмасыда һидрокеологи критеријалар

Ә. А. Элиев, Ж. Н. Тер-Карапетյаис, С. Ф. Шабаев. Кировадаг јатагынын қеотермијасы һағында

3

12

17

23

29

33

37

48

52

55

99

Палеонтология	
К. М. Мамедъярова. <i>Arscheponia Andrus</i> . чинсиин эмэлэ кэл-	
мэси вэ инкишафына даир	: 60

Торпагшунаслыг	
Г. А. Буяновски. Муган вэ Салжан дузу торпагларында гэлэви торпаг	: 66
карбонатларынын мигдары	

Битки систематикасы	
В. Г. Газэиферова. Бирэ бағајарпағынын (<i>Plantago psyllium</i> L. Ермэ-	: 70
нистанда яйымасы нағында	

Биткиләрин агрокимјасы	
Ф. С. Чәфәрова, Г. Э. Рзаев. Мүхтәлиф нәмлик шәрәнтиндәй памбыг	: 73
бяткисинин бој вэ инкишафына күбрәләрин тә'сири	

Кенетика	
М. А. Микайлов. Хынанын векетатив чохалма биолокијасына даир	: 76

Ситоембриология	
Р. К. Гәмбәрова. Сүнбулчичәйинин еркәк гаметофитинин инкишафы	: 82

Фәлсәфә	
Ә. Э. Сайдзада. Зүлфүгар Ширвани	: 86

Епиграфија	
С. Насирова, Э. М. Курдустани. Бајыл дашларынын охунмасы	: 89

Әдәбијат тарихи	
Ч. Гәрәманов. Әһмәд ибн-Вејсий Азәричә гәзәли	: 95

История	
А. И. Абдуллаев. Азәричә гәзәли тарихи	: 99

История	
А. И. Абдуллаев. Азәричә гәзәли тарихи	: 99

История	
А. И. Абдуллаев. Азәричә гәзәли тарихи	: 99

История	
А. И. Абдуллаев. Азәричә гәзәли тарихи	: 99

История	
А. И. Абдуллаев. Азәричә гәзәли тарихи	: 99

История	
А. И. Абдуллаев. Азәричә гәзәли тарихи	: 99

История	
А. И. Абдуллаев. Азәричә гәзәли тарихи	: 99

История	
А. И. Абдуллаев. Азәричә гәзәли тарихи	: 99

История	
А. И. Абдуллаев. Азәричә гәзәли тарихи	: 99

СОДЕРЖАНИЕ

Математика

А. М. Ахмедов. О полноте системы собственных и присоединенных элементов вполне непрерывных операторов, рационально зависящих от спектрального параметра в пространстве Банаха.	: 3
--	-----

Вычислительные методы и техника

Б. А. Азимов, Ш. М. Рагимов. Применение метода параметрического программирования к одной задаче перемещения водонефтяного контакта.	: 7
---	-----

Энергетика

Ч. М. Джуварлы, Т. А. Нурмамедов. Вопросы выбора изоляции высоковольтных линий при полевых загрязнениях.	: 12
--	------

Химия

Р. Г. Исмайлов, С. М. Алиев, Г. М. Мамедалиев, Э. И. Майстер. Хроматографические исследования продуктов алкилирования фенола, крезолов олефинами и превращения алкиловых эфиров фенола.	: 17
---	------

Г. М. Мамедалиев, Р. Г. Исмайлов, Ю. И. Токарев. Каталитическое алкилирование толуола метанолом под давлением.	: 23
--	------

Микробиология

А. М. Кулиев, И. И. Намазов, М. А. Гаджиева, Я. М. Керимова. Влияние pH среды на биосинтез белка из парафина трансформаторного масла.	: 29
---	------

Органическая химия

Шамхал Мамедов, Э. Ш. Мамедов, А. Б. Агоронов, С. В. Усейнова. Синтез и исследование сложных эфиров 1-фенил-2-циклогексоксисэтанола-1.	: 33
--	------

А. Г. Исмайлов, М. М. Гусейнов, Ф. Э. Джавадов, Н. Ф. Мусаева. Взаимодействие циклогексил- β -хлорвинилкетона с фенолом и нафтолом.	: 37
---	------

Геохимия

А. Д. Султанов, Э. Н. Эфendiева. О некоторых геохимических особенностях малых и редких элементов верхнеюрских отложений юго-восточной части Малого Кавказа.	: 42
---	------

М. А. Каракай, С. М. Гаджиев. «Азербайджанская нефть» и сравнение ее «нефти» Трусковцев в Украинской ССР.	: 48
---	------

Геология

В. З. Симханов, С. С. Самедов. О гидрогеологических критериях поисков нефтяных, газовых и газоконденсатных месторождений в условиях Северного Дагестана.	: 52
--	------

А. А. Алиев, Ж. Н. Тер-Карапетянц, С. Ф. Шабайов. О геотермии месторождения Кюровдаг.	: 55
---	------

Палеонтология

Г. М. Мамедъярова. К вопросу о происхождении и развитии рода <i>Arscheponia Andrus</i> .	: 60
--	------

Почвоведение

- Г. А. Буяновский. О содержании щелочноземельных карбонатов в почвах Мугано-Сальянского массива 66

Систематика растений

- В. Г. Казанфарова. О распространении подорожника блошиного в Армении. 70

Агрохимия растений

- Ф. С. Джадарова, Г. А. Рзаев. Влияние удобрений на рост и развитие хлопчатника при различных водоснабжениях. 73

Генетика

- М. А. Микаилов. Биология вегетативного размножения хны. 76

Цитоэмбриология

- Р. К. Гамбарова. Развитие мужского гаметофита у гиацинта. 82

Философия

- А. А. Сейд-Заде. Зюльфигар Ширвани. 86

Эпиграфика

- С. Насирова, А. М. Курдустани. Расшифровка Байлловских камней. 89

История литературы

- Дж. В. Каграманов. Азербайджанская газель Ахмеда ибни Вейса. . 95

Сдано в набор 13/III 1969 г. Подписано к печати 11/VI 1969 г. Формат бумаги
70×108¹/₁₆. Бум. лист. 3,00. Печ. лист. 8,22+1 вкл. Уч.-изд. лист. 7,4. ФГ 15467. Заказ 133.
Тираж 1100. Цена 40 коп.

Типография им. Рухуллы Ахундова Государственного комитета Совета Министров
Азербайджанской ССР по печати. Баку, Рабочий проспект, 96.